

**LAVORI DI COLLEGAMENTO TRA LA S.S.11 A MAGENTA E LA TANGENZIALE OVEST DI MILANO**

**VARIANTE DI ABBIATEGRASSO E ADEGUAMENTO IN SEDE DEL TRATTO ABBIATEGRASSO-VIGEVANO FINO AL PONTE SUL FIUME TICINO**

**1° STRALCIO DA MAGENTA A VIGEVANO - TRATTA C**

**PROGETTO ESECUTIVO**

	 <p>Ing. Valerio Bajetti Ordine degli Ingg. di Roma e provincia n° A-26211</p>	<p>ING. RENATO DEL PRETE</p> <p>Ing. Renato Del Prete Ordine degli Ingg. di Bari e provincia n° 5073</p>	 <p>Arch. Nicoletta Frattini Ordine degli Arch. di Torino e provincia n° A-8433</p>	 <p>Ing. Gabriele Incecchi Ordine degli Ingg. di Roma e provincia n° A-12102</p>
	<p>Ing. Renato Vaira (Ordine degli Ingg. di Torino e Provincia n° 4663 W)</p>	 <p>Società designata: <b>GA&amp;M</b></p> <p>Prof. Ing. Matteo Ranieri Ordine degli Ingg. di Bari e provincia n° 1137</p>	<p><b>SETAC</b> Srl Servizi &amp; Engineering Trasporti Ambiente Costruzioni</p> <p>Prof. Ing. Luigi Monterisi Ordine degli Ingg. di Bari e provincia n° 1771</p>	<p><b>ARKE'</b> INGEGNERIA s.r.l. Via Imperialone, Torosano, 4 - 70134 Bari</p> <p>Ing. Giocchino Angarano Ordine degli Ingg. di Bari e provincia n° 5970</p>

VISTO: IL RESPONSABILE DEL PROCEDIMENTO



Dott. Ing. Giuseppe Danilo MALGERI

INTEGRATORE DELLE PRESTAZIONI SPECIALISTICHE



Ing. Valerio BAJETTI

GEOLOGO



Prof. Ing. Geol. Luigi MONTERISI

IL COORDINATORE DELLA SICUREZZA IN FASE DI PROGETTAZIONE



Ing. Gianluca CICIRIELLO

**L0012**

**L - PROGETTO STRUTTURALE - TOMBINATURE IDRAULICHE**

L00 - RELAZIONI TOMBINATURE E MANUFATTI

RELAZIONE DI CALCOLO MANUFATTO DI IMBOCCO E/O DI USCITA SCATOLARE MURO SCATOLATO

CODICE PROGETTO	NOME FILE	REVISIONE	SCALA:
PROGETTO      LIV. PROG.      N. PROG.	L0012-T00TM00STRRRE12_B.dwg		
<b>LO203</b> <b>E</b> <b>1801</b>	CODICE ELAB. <b>T00TM00STRRE12</b>	<b>B</b>	-----

C					
B	EMISSIONE A SEGUITO DI RAPPORTO INTERMEDIO DI VERIFICA ITCF-C186001-14-ATF-RA-00001	FEBBRAIO 2019	ING. GIUSEPPE CRISÀ	ING. GAETANO RANIERI	ING. VALERIO BAJETTI
A	EMISSIONE	SETTEMBRE 2018	ING. GIUSEPPE CRISÀ	ING. GAETANO RANIERI	ING. VALERIO BAJETTI
REV.	DESCRIZIONE	DATA	REDATTO	VERIFICATO	APPROVATO

## SOMMARIO

1	PREMESSA .....	4
2	DESCRIZIONE DELLE OPERE .....	4
3	NORMATIVA DI RIFERIMENTO .....	5
4	UNITA' DI MISURA .....	5
5	MATERIALI .....	6
5.1	Calcestruzzo .....	6
5.1.1	Calcestruzzo per opere di sottofondazione .....	6
5.1.2	Calcestruzzo per le opere strutturali.....	6
5.2	Acciaio .....	7
5.2.1	Acciaio per armatura lenta .....	7
5.3	Calcolo dei copriferri minimi – zattera di fondazione .....	8
5.4	Calcolo dei copriferri minimi – elevazioni .....	8
5.5	Valutazione della lunghezza di ancoraggio delle barre di armatura.....	10
6	CARATTERIZZAZIONE GEOTECNICA DEI TERRENI.....	12
7	ZONIZZAZIONE E CARATTERIZZAZIONE SISMICA.....	13
7.1	Identificazione della località e dei parametri sismici generali.....	13
7.2	Definizione della strategia progettuale .....	14
7.3	Parametri di calcolo .....	16
7.3.1	Parametri numerici sismici .....	16
7.3.2	Categoria dei terreni di fondazione e categoria topografica .....	16
7.3.3	Categoria dei terreni di fondazione e categoria topografica .....	16
7.3.4	Fattori di struttura.....	16
7.3.5	Definizione dello spettro di progetto .....	17
7.4	Definizione dei coefficienti sismici di calcolo .....	20
8	ANALISI DEI CARICHI.....	21
8.1	Peso proprio delle strutture in cemento armato.....	21
8.2	Peso proprio del rinfilanco del tombino scatolare.....	21
8.3	Peso proprio del parapetto.....	21
8.4	Carichi accidentali a tergo del muro .....	21
8.5	Spinta dei terreni a tergo dell'opera di sostegno .....	21
8.6	Spinta dei sovraccarichi a tergo dell'opera di sostegno.....	21
8.7	Azione sismica.....	22
8.7.1	Azione inerziale delle masse.....	22
8.8	Sovraspinta dinamica dei terreni.....	22
9	COMBINAZIONI DI CARICO.....	23
9.1	Combinazioni di carico allo Stato Limite di Esercizio – Combinazioni quasi- permanenti	23
9.2	Combinazioni di carico allo Stato Limite di Esercizio – Combinazioni frequenti.....	23
9.3	Combinazioni di carico allo Stato Limite di Esercizio – Combinazioni caratteristiche.....	23
9.4	Combinazioni di carico allo Stato Limite Ultimo statiche.....	24
9.5	Combinazione di carico sismiche.....	25
9.6	Definizione dei coefficienti di partecipazione e riepilogo delle combinazioni.....	25
10	MODELLO DI CALCOLO .....	27
10.1	Definizione del modello di calcolo.....	27
10.2	Applicazione dei carichi elementari .....	28
10.2.1	Peso proprio del terreno a tergo del muro.....	28

10.2.2	Peso proprio del parapetto metallico.....	28
10.2.3	Carichi accidentali a tergo del muro.....	29
10.2.4	Spinta orizzontale dei terreni a tergo del muro sulla parete sinistra.....	29
10.3	Spinta orizzontale dei terreni a tergo del muro sulla parete destra.....	30
10.3.1	Spinta orizzontale dei terreni a tergo del muro sulla parete frontale.....	30
10.3.2	Spinta orizzontale dei terreni a valle del muro (agente sul taglione).....	31
10.3.3	Spinta orizzontale dei carichi accidentali a tergo del muro sulle pareti laterali.....	31
10.3.4	Spinta orizzontale dei carichi accidentali a tergo del muro sulla parete frontale.....	32
10.3.5	Inerzia sismica orizzontale degli elementi strutturali.....	33
10.3.6	Inerzia sismica orizzontale del terreno a tergo del muro sulle pareti laterali.....	34
10.3.7	Inerzia sismica orizzontale del terreno a tergo del muro sulla parete frontale.....	34
10.3.8	Inerzia sismica orizzontale del parapetto metallico.....	35
10.3.9	Sovrappinta dinamica dei terreni sulle pareti laterali.....	36
10.3.10	Sovrappinta dinamica dei terreni sulla parete frontale.....	36
11	VALUTAZIONE DELLE AZIONI SOLLECITANTI SUL MURO FRONTALE.....	37
11.1	Combinazione allo Stato Limite Ultimo – STR.....	37
11.2	Combinazione allo Stato Limite di Salvaguardia della Vita.....	39
12	VALUTAZIONE DELLE AZIONI SOLLECITANTI SUI MURI LATERALI.....	42
12.1	Combinazione allo Stato Limite Ultimo – STR.....	42
12.2	Combinazione allo Stato Limite di Salvaguardia della Vita.....	44
13	VALUTAZIONE DELLE AZIONI SOLLECITANTI SULLA ZATTERA DI FONDAZIONE.....	47
13.1	Combinazione allo Stato Limite Ultimo – STR.....	47
13.2	Combinazione allo Stato Limite di Salvaguardia della Vita.....	49
14	MURO FRONTALE – VERIFICHE STRUTTURALI.....	51
14.1	Riepilogo delle azioni sollecitanti di calcolo.....	51
14.2	Sezione ed armatura di verifica.....	52
14.3	Verifica allo Stato Limite di limitazione delle tensioni.....	52
14.3.1	Combinazione Quasi Permanente – Direzione verticale.....	52
14.3.2	Combinazione Quasi Permanente – Direzione orizzontale.....	53
14.3.3	Combinazione Frequente – Direzione verticale.....	54
14.3.4	Combinazione Frequente – Direzione orizzontale.....	55
14.3.5	Combinazione Rara – Direzione verticale.....	56
14.3.6	Combinazione Rara – Direzione orizzontale.....	57
14.4	Verifica allo Stato Limite di fessurazione – Direzione verticale.....	58
14.5	Verifica allo Stato Limite di fessurazione – Direzione orizzontale.....	59
14.5.1	Combinazione Quasi Permanente.....	59
14.5.2	Combinazione Frequente.....	60
14.6	Verifica allo Stato Limite Ultimo per pressoflessione – Direzione verticale.....	61
14.7	Verifica allo Stato Limite Ultimo per flessione – Direzione orizzontale.....	62
14.8	Verifica allo Stato Limite Ultimo per taglio – Direzione verticale.....	63
14.9	Verifica allo Stato Limite Ultimo per taglio – Direzione orizzontale.....	64
15	MURI LATERALI – VERIFICHE STRUTTURALI.....	65
15.1	Riepilogo delle azioni sollecitanti di calcolo.....	65
15.2	Sezione ed armatura di verifica.....	66
15.3	Verifica allo Stato Limite di limitazione delle tensioni.....	66
15.3.1	Combinazione Quasi Permanente – Direzione verticale.....	66
15.3.2	Combinazione Quasi Permanente – Direzione orizzontale.....	67
15.3.3	Combinazione Frequente – Direzione verticale.....	68

15.3.4	Combinazione Frequente – Direzione orizzontale .....	69
15.3.5	Combinazione Rara – Direzione verticale .....	70
15.3.6	Combinazione Rara – Direzione orizzontale .....	71
15.4	Verifica allo Stato Limite di fessurazione – Direzione verticale .....	72
15.5	Verifica allo Stato Limite di fessurazione – Direzione orizzontale .....	73
15.5.1	Combinazione Quasi Permanente .....	73
15.5.2	Combinazione Frequente.....	74
15.6	Verifica allo Stato Limite Ultimo per pressoflessione – Direzione verticale .....	75
15.7	Verifica allo Stato Limite Ultimo per flessione – Direzione orizzontale .....	76
15.8	Verifica allo Stato Limite Ultimo per taglio – Direzione verticale.....	77
15.9	Verifica allo Stato Limite Ultimo per taglio – Direzione orizzontale.....	78
16	ZATTERA DI FONDAZIONE – VERIFICHE STRUTTURALI .....	79
16.1	Sezione ed armatura di verifica .....	79
16.2	Verifica allo Stato Limite di limitazione delle tensioni .....	80
16.2.1	Combinazione Quasi Permanente – Direzione trasversale .....	80
16.2.2	Combinazione Quasi Permanente – Direzione longitudinale.....	82
16.2.3	Combinazione Frequente – Direzione trasversale.....	84
16.2.4	Combinazione Frequente – Direzione longitudinale .....	86
16.2.5	Combinazione Rara – Direzione trasversale .....	88
16.2.6	Combinazione Rara – Direzione longitudinale .....	90
16.3	Verifica allo Stato Limite di fessurazione – Direzione trasversale .....	92
16.3.1	Verifica allo Stato Limite di fessurazione – Direzione longitudinale .....	93
16.3.2	Verifica allo Stato Limite di fessurazione – Direzione longitudinale .....	94
16.3.3	Combinazione Quasi Permanente .....	94
16.4	Verifica allo Stato Limite Ultimo per pressoflessione – Direzione trasversale .....	95
16.5	Verifica allo Stato Limite Ultimo per flessione – Direzione orizzontale .....	97
16.6	Verifica allo Stato Limite Ultimo per taglio – Direzione trasversale .....	99
16.7	Verifica allo Stato Limite Ultimo per taglio – Direzione longitudinale.....	101
17	VERIFICHE GEOTECNICHE .....	103
17.1	Valutazione delle azioni sollecitanti caratteristiche alla base della zattera di fondazione 103	
17.2	Valutazione delle azioni sollecitanti di calcolo alla base della zattera di fondazione ..	103
17.2.1	Combinazioni allo Stato Limite Ultimo – STR.....	103
17.2.2	Combinazioni allo Stato Limite di Salvaguardia della Vita – SLV .....	105
17.2.3	Riepilogo delle azioni sollecitanti di calcolo.....	105
17.3	Verifica del carico limite ultimo e dello scorrimento.....	106
17.3.1	Verifica al carico limite .....	106
17.3.2	Verifica allo scorrimento.....	107
17.4	Risultati .....	108
17.4.1	Geometria della fondazione .....	108
18	VERIFICA DEGLI SPOSTAMENTI.....	113

## 1 PREMESSA

La presente relazione di calcolo riporta la descrizione, il dimensionamento e le verifiche strutturali e geotecniche dei muri di testata (imbocco e sbocco) in cemento armato dei tombini scatolari 2,00 x 1,50 m nell'ambito del progetto esecutivo "Lavori di collegamento tra la S.S. n.11 a Magenta e la tangenziale Ovest di Milano – Variante di Abbiategrasso ed adeguamento in sede del tratto Abbiategrasso-Vigevano fino al ponte sul fiume Ticino".

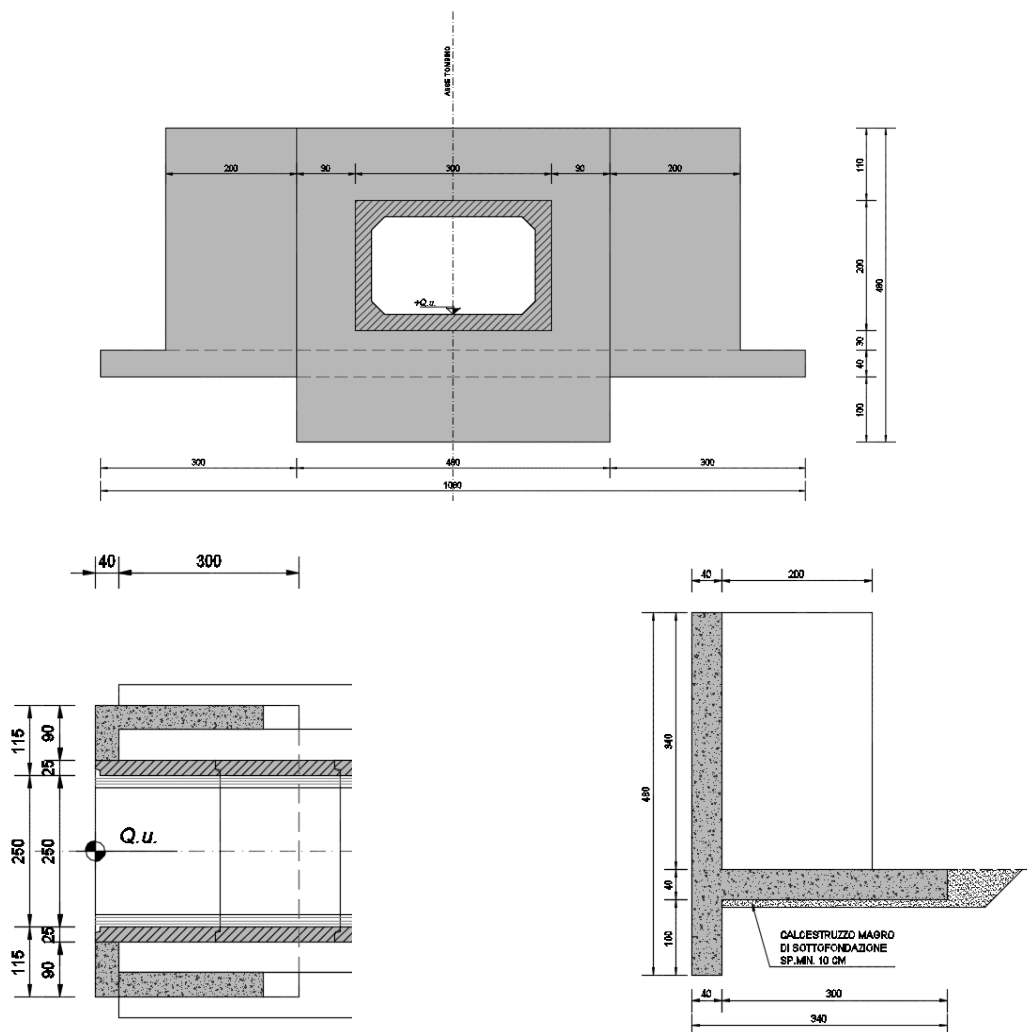
## 2 DESCRIZIONE DELLE OPERE

I muri di testata dei tombini scatolari presentano una sezione trasversale a "U" e sono interamente realizzati in cemento armato gettato in opera.

Le dimensioni dell'opera sono di seguito riepilogate:

- Pareti verticali laterali: **200 x 340 cm spessore 40 cm**
- Parete verticale frontale: **480 x 340 cm spessore 40 cm**
- Soletta di fondazione: **480 x 340 cm spessore 40 cm**
- Tagliane: **480 x 100 cm spessore 40 cm**

Si riportano di seguito le immagini rispettivamente dello sviluppo longitudinale dell'opera, della pianta e della sezione trasversale in asse al tombino:



I muri di testata non sono rigidamente collegati con i conci di estremità del tombino prefabbricato (è presente esclusivamente una sigillatura in malta).

### 3 NORMATIVA DI RIFERIMENTO

La presente relazione è stata redatta in osservanza delle seguenti Normative Tecniche:

- **Legge 05/01/1971 n.1086** → Norme per la disciplina delle opere in conglomerato cementizio armato, normale e precompresso ed a struttura metallica
- **Legge 02/02/1974 n. 64** → Provvedimenti per le costruzioni con particolari prescrizioni per le zone sismiche
- **DM 17/01/2018** → Nuove Norme Tecniche per le Costruzioni
- **UNI EN 1992-1 (Eurocodice 2 – Parte 1)** → Progettazione delle strutture in calcestruzzo – Regole generali
- **UNI EN 1992-2 (Eurocodice 2 – Parte 2)** → Progettazione delle strutture in calcestruzzo – Ponti
- **UNI EN 1998-5 (Eurocodice 8) – Gennaio 2015** → Progettazione delle strutture per la resistenza sismica – Parte 5: Fondazioni, strutture di contenimento ed aspetti geotecnici
- **UNI EN 206-1:2016** → Calcestruzzo – Specificazione, prestazione, produzione e conformità
- **UNI 11104:2016** → Calcestruzzo – Specificazione, prestazione, produzione e conformità – Specificazioni complementari per l'applicazione della EN 206
- **Servizio Tecnico Centrale della Presidenza del Consiglio Superiore dei LL.PP. Linee guida sul calcestruzzo strutturale**

### 4 UNITA' DI MISURA

Nei calcoli è stato fatto uso delle seguenti unità di misura:

- per i carichi:  $\text{kN/m}^2, \text{kN/m}, \text{kN}$
- per i momenti:  $\text{kNm}$
- per i tagli e sforzi normali:  $\text{kN}$
- per le tensioni:  $\text{N/mm}^2$
- per le accelerazioni:  $\text{m/sec}^2$

## 5 MATERIALI

### 5.1 CALCESTRUZZO

#### 5.1.1 CALCESTRUZZO PER OPERE DI SOTTOFONDAZIONE

Per le opere di sottofondazione è stato previsto un calcestruzzo con classe di resistenza **C12/15** e classe di esposizione **X0**.

Tale calcestruzzo non ha valenza strutturale e quindi non se ne riportano le caratteristiche meccaniche.

#### 5.1.2 CALCESTRUZZO PER LE OPERE STRUTTURALI

Per le zattere di fondazione delle opere è stato previsto un calcestruzzo con classe di resistenza **C28/35** e classe di esposizione **XC2** con le seguenti caratteristiche meccaniche:

CLASSE DI RESISTENZA			C28/35		
DESCRIZIONE CARATTERISTICA	FORMULA DI CALCOLO	RIF. CAP. NORMA	VALORE DI APPLICAZIONE		
Resistenza caratteristica cubica a compressione			$R_{ck}$	<b>35,00</b>	[N/mm <sup>2</sup> ]
Resistenza caratteristica cilindrica a compressione	$[0,83 \cdot R_{ck}]$	11.2.10.1	$f_{ck}$	<b>29,05</b>	[N/mm <sup>2</sup> ]
Resistenza cilindrica media a compressione a 28 gg	$[f_{ck}+8]$	11.2.10.1	$f_{cm}$	<b>37,05</b>	[N/mm <sup>2</sup> ]
Resistenza di calcolo a compressione	$[acc \cdot f_{ck} / \gamma_c]$	4.1.2.1.1.1	$f_{cd}$	<b>16,46</b>	[N/mm <sup>2</sup> ]
Resistenza media a trazione	$[0,30 \cdot f_{ck}^{2/3}]$	11.2.10.2	$f_{ctm}$	<b>2,83</b>	[N/mm <sup>2</sup> ]
Resistenza caratteristica a trazione	$[0,70 \cdot f_{ctm}]$	11.2.10.2	$f_{ctk}$	<b>1,98</b>	[N/mm <sup>2</sup> ]
Resistenza di calcolo a trazione	$[f_{ctk} / 1,5]$	4.1.2.1.1.2	$f_{ctd}$	<b>1,32</b>	[N/mm <sup>2</sup> ]
Tensione massima di compressione del cls in esercizio (rara)	$[0,60 \cdot f_{ck}]$	4.1.2.2.5.1	$\sigma_{c \max}$	<b>17,43</b>	[N/mm <sup>2</sup> ]
Tensione massima di compressione del cls in esercizio (quasi perm)	$[0,45 \cdot f_{ck}]$	4.1.2.2.5.1	$\sigma_{c \max}$	<b>13,07</b>	[N/mm <sup>2</sup> ]
Modulo elastico istantaneo	$[E_c = E_{cm}]$	C4.1.2.2.5	$E_c$	<b>32 588,11</b>	[N/mm <sup>2</sup> ]
Modulo elastico medio	$[22.000 \cdot (f_{cm} / 10)^{0,3}]$	11.2.10.3	$E_{cm}$	<b>32 588,11</b>	[N/mm <sup>2</sup> ]

Per le elevazioni di fondazione delle opere è stato previsto un calcestruzzo con classe di resistenza **C32/40** e classe di esposizione **XF2/XA1** con le seguenti caratteristiche meccaniche:

CLASSE DI RESISTENZA			C32/40		
DESCRIZIONE CARATTERISTICA	FORMULA DI CALCOLO	RIF. CAP. NORMA	VALORE DI APPLICAZIONE		
Resistenza caratteristica cubica a compressione			$R_{ck}$	<b>40,00</b>	[N/mm <sup>2</sup> ]
Resistenza caratteristica cilindrica a compressione	$[0,83 \cdot R_{ck}]$	11.2.10.1	$f_{ck}$	<b>33,20</b>	[N/mm <sup>2</sup> ]
Resistenza cilindrica media a compressione a 28 gg	$[f_{ck}+8]$	11.2.10.1	$f_{cm}$	<b>41,20</b>	[N/mm <sup>2</sup> ]
Resistenza di calcolo a compressione	$[acc \cdot f_{ck} / \gamma_c]$	4.1.2.1.1.1	$f_{cd}$	<b>18,81</b>	[N/mm <sup>2</sup> ]
Resistenza media a trazione	$[0,30 \cdot f_{ck}^{2/3}]$	11.2.10.2	$f_{ctm}$	<b>3,10</b>	[N/mm <sup>2</sup> ]
Resistenza caratteristica a trazione	$[0,70 \cdot f_{ctm}]$	11.2.10.2	$f_{ctk}$	<b>2,17</b>	[N/mm <sup>2</sup> ]
Resistenza di calcolo a trazione	$[f_{ctk} / 1,5]$	4.1.2.1.1.2	$f_{ctd}$	<b>1,45</b>	[N/mm <sup>2</sup> ]
Tensione massima di compressione del cls in esercizio (rara)	$[0,60 \cdot f_{ck}]$	4.1.2.2.5.1	$\sigma_{c \max}$	<b>19,92</b>	[N/mm <sup>2</sup> ]
Tensione massima di compressione del cls in esercizio (quasi perm)	$[0,45 \cdot f_{ck}]$	4.1.2.2.5.1	$\sigma_{c \max}$	<b>14,94</b>	[N/mm <sup>2</sup> ]
Modulo elastico istantaneo	$[E_c = E_{cm}]$	C4.1.2.2.5	$E_c$	<b>33.642,78</b>	[N/mm <sup>2</sup> ]
Modulo elastico medio	$[22.000 \cdot (f_{cm} / 10)^{0,3}]$	11.2.10.3	$E_{cm}$	<b>33.642,78</b>	[N/mm <sup>2</sup> ]

A favore di sicurezza nelle verifiche strutturali viene utilizzato un calcestruzzo di classe di resistenza inferiore: **C25/30**.

## 5.2 ACCIAIO

### 5.2.1 ACCIAIO PER ARMATURA LENTA

Per le armature lente è stato previsto un acciaio del tipo **B450C**, con le seguenti caratteristiche meccaniche:

- $f_{t,k}$  = 540,00 N/mm<sup>2</sup> (resistenza caratteristica a rottura)
- $f_{y,k}$  = 450,00 N/mm<sup>2</sup> (tensione caratteristica di snervamento)
- $f_{y,d}$  = 391,30 N/mm<sup>2</sup> (tensione di snervamento di calcolo -  $\gamma_c=1,15$ )
- $E_s$  = 210.000,00 N/mm<sup>2</sup> (modulo elastico istantaneo)



### 5.3 CALCOLO DEI COPRIFERRI MINIMI – ZATTERA DI FONDAZIONE

Ai sensi delle prescrizioni di cui alla normativa vigente e con riferimento alla procedura di calcolo prevista dalla Circolare Applicativa (riferita alla normativa del 2008 ma a tutt'oggi valida) si riporta di seguito il calcolo del copriferro minimo inteso come ricoprimento delle barre:

Definizione delle condizioni ambientali (TABELLA 4.1.IV - Descrizione delle condizioni ambientali)		
<b>Condizioni ambientali</b>	<b>Classe di esposizione</b>	<b>Classe di esposizione di progetto</b>
Ordinarie	X0, XC1, XC2, XC3, XF1	XC2
Aggressive	XC4, XD1, XS1, XA1, XA2, XF2, XF3	<b>Condizioni ambientali di progetto</b>
Molto Aggressive	XD2, XD3, XS2, XS3, XA3, XF4	<b>Ordinario</b>

Definizione delle classi di resistenza rispetto alla Tabelle C4.1.IV		
<b>Classe minima Cmin</b>	<b>Classe di resistenza del calcestruzzo</b>	<b>Classe di resistenza del calcestruzzo</b>
C25/30	Barre da c.a. elementi a p	C28/35
<b>Classe C0</b>	<b>Vita Nominale dell'opera</b>	<b>Produzioni sottoposte a controllo qualità</b>
C45/55	50 Anni	NO

Determinazione del copriferro minimo (Tab. C4.1.IV)	
<b>Copriferro minimo ai sensi della tabella e delle precisazioni di cui al capitolo C4.1.6.1.3 della Circolare Applicativa</b>	20 mm
<b>Tolleranza costruttiva</b>	5 mm
<b>COPRIFERRO MINIMO DI PROGETTO</b>	<b>25 mm</b>

### 5.4 CALCOLO DEI COPRIFERRI MINIMI – ELEVAZIONI

Ai sensi delle prescrizioni di cui alla normativa vigente e con riferimento alla procedura di calcolo prevista dalla Circolare Applicativa (riferita alla normativa del 2008 ma a tutt'oggi valida) si riporta di seguito il calcolo del copriferro minimo inteso come ricoprimento delle barre:

Definizione delle condizioni ambientali (TABELLA 4.1.IV - Descrizione delle condizioni ambientali)		
<b>Condizioni ambientali</b>	<b>Classe di esposizione</b>	<b>Classe di esposizione di progetto</b>
Ordinarie	X0, XC1, XC2, XC3, XF1	XF2
Aggressive	XC4, XD1, XS1, XA1, XA2, XF2, XF3	<b>Condizioni ambientali di progetto</b>
Molto Aggressive	XD2, XD3, XS2, XS3, XA3, XF4	<b>Aggressivo</b>

Definizione delle classi di resistenza rispetto alla Tabelle C4.1.IV		
<b>Classe minima Cmin</b>	<b>Classe di resistenza del calcestruzzo</b>	<b>Classe di resistenza del calcestruzzo</b>
C28/35	Barre da c.a. elementi a p	C32/40
<b>Classe C0</b>	<b>Vita Nominale dell'opera</b>	<b>Produzioni sottoposte a controllo qualità</b>
C45/55	50 Anni	NO

Determinazione del copriferro minimo (Tab. C4.1.IV)	
Copriferro minimo ai sensi della tabella e delle precisazioni di cui al capitolo C4.1.6.1.3 della Circolare Applicativa	30 mm
Tolleranza costruttiva	5 mm
<b>COPRIFERRO MINIMO DI PROGETTO</b>	<b>35 mm</b>

## 5.5 VALUTAZIONE DELLA LUNGHEZZA DI ANCORAGGIO DELLE BARRE DI ARMATURA

Le Norme Tecniche per le Costruzioni (NTC 2018) e l'Eurocodice 2 (EC2 – EN1992) indicano sinteticamente le prescrizioni per calcolare la lunghezza minima di ancoraggio delle armature in modo che quest'ultime riescano ad assorbire le forze di trazione che il calcestruzzo non è in grado di sopportare.

Al paragrafo 5.2.2.3 dell'EC2 viene riportata la definizione della lunghezza di ancoraggio di base.

Essa è la lunghezza rettilinea necessaria per ancorare una barra soggetta alla forza ( $f_{yd} \times A_s$ ) avendo assunto una tensione costante all'interfaccia acciaio-calcestruzzo pari a  $f_{bd}$ .

La lunghezza di ancoraggio di base per ancorare una barra di diametro  $\varnothing$  è data dalla relazione:

$$l_b = \frac{\varnothing \cdot f_{yd}}{4 \cdot f_{bd}}$$

con:

- $f_{bd}$ : si indica la tensione di aderenza ultima offerta dal calcestruzzo;
- $\varnothing$ : diametro della barra di armatura;
- $f_{yd}$ : si indica la tensione di snervamento dell'acciaio.

La tensione di aderenza  $f_{bd}$ , dipende oltre che dalla resistenza del calcestruzzo, anche dalle condizioni in cui si realizza l'ancoraggio della barra.

La tensione di aderenza ultima di progetto delle barre ad aderenza migliorata è data dalla formula:

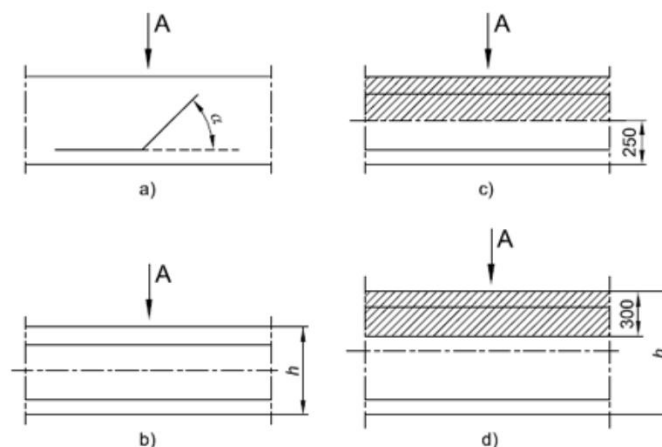
$$f_{bd} = 2,25 \cdot \eta_1 \cdot \eta_2 \cdot f_{ctd}$$

dove:

- $f_{ctd} = f_{ctk} / \gamma_c$ ;
- $\eta_1 = 1$  nelle condizioni di buon ancoraggio, e uguale a 0,7 negli altri casi;
- $\eta_2 = 1$  per diametri delle barre inferiori a 32 mm oppure a  $(132 - \varnothing) / 100$  per diametri maggiori.

L'Eurocodice 2 descrive dettagliatamente le condizioni di buone aderenza:

- la barra ha una inclinazione sull'orizzontale maggiore o uguale a  $45^\circ$  verso la direzione del getto
- la barra ha una inclinazione compresa tra 0 e  $45^\circ$  e sono:
  - o poste in elementi la cui profondità nella direzione del getto non è maggiore di 250 mm.
  - o inglobate in elementi con una profondità maggiore di 250 mm e che, a getto completato, sono nella metà inferiore dell'elemento o ad almeno 300 mm dalla superficie superiore dell'elemento.



La figura a e b rappresentano condizioni di buona aderenza. Nelle figure c e d le aree tratteggiate rappresentano zone con condizioni di aderenza mediocre.

Di seguito viene riportata la tabella riepilogativa delle diverse lunghezze di ancoraggio in funzione delle diverse classi di resistenza del calcestruzzo.

ACCIAIO								
f <sub>yd</sub>	Mpa	valore di calcolo snervamento acciaio	391,3					
CALCESTRUZZO								
			C28/35	C32/40	C30/37	C35/45	C40/50	C45/55
f <sub>ck</sub>	Mpa	resistenza a compressione cilindrica cls	29,05	33,2	30,71	37,35	41,5	45,65
R <sub>ck</sub>	Mpa	resistenza a compressione cubica cls	35	40	37	45	50	55
f <sub>ctm</sub>	Mpa	resistenza media a trazione semplice cls	2,83	3,10	2,94	3,35	3,60	3,83
f <sub>ctk</sub>	Mpa	resistenza a trazione pura cls	1,98	2,17	2,06	2,35	2,52	2,68
f <sub>bk</sub>	Mpa	valore caratteristico della tensione di aderenza	4,47	4,88	4,63	5,28	5,66	6,04
f <sub>bd_buona</sub>	Mpa	valore di calcolo della tensione di aderenza	2,98	3,25	3,09	3,52	3,78	4,02
f <sub>bd_mediocre</sub>	Mpa	valore di calcolo della tensione di aderenza	2,08	2,28	2,16	2,46	2,64	2,82
LUNGHEZZA DI ANCORAGGIO								
l <sub>b_buona</sub>	∅	lunghezza di ancoraggio per ∅	33	30	32	28	26	24
l <sub>b_mediocre</sub>	∅	lunghezza di ancoraggio per ∅	47	43	45	40	37	35

Per armature dei manufatti si è sempre considerata una lunghezza di ancoraggio e sovrapposizione pari a:

$$l_{bd} = 50 \cdot \varnothing$$

maggiore dei valori presenti nella tabella sovrastante per cui la verifica risulta implicitamente soddisfatta.

## 6 CARATTERIZZAZIONE GEOTECNICA DEI TERRENI

Ai sensi della relazione geologica e della relazione geotecnica, nonché in conformità con i profili geotecnici allegati al presente progetto esecutivo, il terreno di fondazione è schematizzato dalle seguenti unità litotecniche caratterizzate dai seguenti parametri geotecnici:

- **UNITÀ G3/G3\*** Ghiaia con sabbia/ sabbia con ghiaia da mediamente (G3) a molto addensate (G3\*), spesso intercalate dal livello L5. Questa Unità si estende da p.c. fino a profondità massime di 22.0 m.
- **UNITÀ L5** Limo sabbioso a tratti debolmente argilloso/ limo con sabbia, da poco a ben addensato si rileva solitamente all'interno dell'unità G3/G3\* con spessori variabili tra 1.5 e 2.0 m. Nel solo sondaggio S14-36 raggiunge spessori di circa 5.0 m.
- **UNITÀ S2** Sabbia prevalentemente fine limosa talvolta ghiaiosa. Si rileva solitamente al di sotto dell'unità G3/G3\* e si estende oltre la profondità raggiunta dai sondaggi costituendo un vero e proprio strato di base.
- **UNITÀ S1** Sabbia prevalentemente fine con passaggi a granulometria gradata media, mediamente addensata. Si rileva solo in alcune tratte al di sotto dell'unità G3/G3\* e/o unità S2 e come quest'ultima si estende oltre la profondità raggiunta dai sondaggi costituendo lo strato di base.

La falda di progetto è stata considerata a quota **-1,00 m** dal piano di campagna.

Il terreno spingente è costituito da materiale idoneo per la costruzione del rilevato, caratterizzato dai seguenti parametri geotecnici:

- Peso per unità di volume:  $\gamma = 20,00 \text{ kN/m}^3$
- Angolo di attrito interno:  $\phi = 37,00^\circ$
- Coesione efficace:  $c' = 0,00 \text{ kN/m}^2$

A favore di sicurezza i calcoli e le verifiche sono stati effettuati considerando il terreno di fondazione di tipo **L5**:

- Peso per unità di volume:  $\gamma = 18,00 \text{ kN/m}^3$
- Angolo di attrito interno:  $\phi = 26,00^\circ$
- Coesione efficace:  $c' = 0,00 \text{ kN/m}^2$
- Modulo di rigidità:  $E = 20,00 \text{ MPa}$

Nei modelli di calcolo il terreno è stato modellato mediante molle elastiche alle quali sono state assegnate le seguenti costanti di rigidità (a favore di sicurezza):

- Direzione verticale  $\rightarrow k = 15.000,00 \text{ kN/m}^3$
- Direzione orizzontale  $\rightarrow k = 7.500,00 \text{ kN/m}^3$

## 7 ZONIZZAZIONE E CARATTERIZZAZIONE SISMICA

### 7.1 IDENTIFICAZIONE DELLA LOCALITÀ E DEI PARAMETRI SISMICI GENERALI

L'area oggetto del presente intervento ricade all'interno del territorio del Comune di Abbiategrasso sito nella provincia di Milano.

### FASE 1. INDIVIDUAZIONE DELLA PERICOLOSITÀ DEL SITO

Ricerca per coordinate

LONGITUDINE

LATITUDINE

Ricerca per comune

REGIONE

PROVINCIA

COMUNE

**Elaborazioni grafiche**

Grafici spettri di risposta ||>

Variabilità dei parametri ||>

---

**Elaborazioni**

Tabella parametri ||>

---

**Nodi del reticolo intorno al sito**

**Reticolo di riferimento**

Controllo sul reticolo

Sito esterno al reticolo

Interpolazione su 3 nodi

Interpolazione corretta

Interpolazione

La "Ricerca per comune" utilizza le ... coordinate ISTAT del comune per identificare il sito. Si sottolinea che ... all'interno del territorio comunale le azioni sismiche possono essere significativamente diverse da quelle così individuate e si consiglia, quindi, la "Ricerca per coordinate".

INTRO
FASE 1
FASE 2
FASE 3

## 7.2 DEFINIZIONE DELLA STRATEGIA PROGETTUALE

In riferimento al D.M. 17.01.2018 “Nuove Norme Tecniche per le Costruzioni”, le opere sono progettate (in funzione dell’importanza strategica dell’infrastruttura) secondo i seguenti parametri:

- Vita Nominale dell’opera: **50 anni**

**Tab. 2.4.I – Valori minimi della Vita nominale  $V_N$  di progetto per i diversi tipi di costruzioni**

TIPI DI COSTRUZIONI		Valori minimi di $V_N$ (anni)
1	Costruzioni temporanee e provvisorie	10
2	Costruzioni con livelli di prestazioni ordinari	50
3	Costruzioni con livelli di prestazioni elevati	100

- Classe d’uso dell’opera: **IV**

### 2.4.2. CLASSI D’USO

Con riferimento alle conseguenze di una interruzione di operatività o di un eventuale collasso, le costruzioni sono suddivise in classi d’uso così definite:

*Classe I:* Costruzioni con presenza solo occasionale di persone, edifici agricoli.

*Classe II:* Costruzioni il cui uso preveda normali affollamenti, senza contenuti pericolosi per l’ambiente e senza funzioni pubbliche e sociali essenziali. Industrie con attività non pericolose per l’ambiente. Ponti, opere infrastrutturali, reti viarie non ricadenti in Classe d’uso III o in Classe d’uso IV, reti ferroviarie la cui interruzione non provochi situazioni di emergenza. Dighe il cui collasso non provochi conseguenze rilevanti.

*Classe III:* Costruzioni il cui uso preveda affollamenti significativi. Industrie con attività pericolose per l’ambiente. Reti viarie extraurbane non ricadenti in Classe d’uso IV. Ponti e reti ferroviarie la cui interruzione provochi situazioni di emergenza. Dighe rilevanti per le conseguenze di un loro eventuale collasso.

*Classe IV:* Costruzioni con funzioni pubbliche o strategiche importanti, anche con riferimento alla gestione della protezione civile in caso di calamità. Industrie con attività particolarmente pericolose per l’ambiente. Reti viarie di tipo A o B, di cui al DM 5/11/2001, n. 6792, “Norme funzionali e geometriche per la costruzione delle strade”, e di tipo C quando appartenenti ad itinerari di collegamento tra capoluoghi di provincia non altresì serviti da strade di tipo A o B. Ponti e reti ferroviarie di importanza critica per il mantenimento delle vie di comunicazione, particolarmente dopo un evento sismico. Dighe connesse al funzionamento di acquedotti e a impianti di produzione di energia elettrica.

- Coefficiente di utilizzo dell’opera: **2,0**

**Tab. 2.4.II – Valori del coefficiente d’uso  $C_U$**

CLASSE D’USO	I	II	III	IV
COEFFICIENTE $C_U$	0,7	1,0	1,5	2,0

- Vita di riferimento dell’opera: **100 anni**

### 2.4.3. PERIODO DI RIFERIMENTO PER L’AZIONE SISMICA

Le azioni sismiche sulle costruzioni vengono valutate in relazione ad un periodo di riferimento  $V_R$  che si ricava, per ciascun tipo di costruzione, moltiplicandone la vita nominale di progetto  $V_N$  per il coefficiente d’uso  $C_U$ :

$$V_R = V_N \cdot C_U \quad [2.4.1]$$

Qui di seguito si riporta la sintesi delle scelte progettuali adottati con i tempi di ritorno dell’azione sismica identificati in funzione del singolo stato limite.

## FASE 2. SCELTA DELLA STRATEGIA DI PROGETTAZIONE

Vita nominale della costruzione (in anni) -  $V_N$   info

Coefficiente d'uso della costruzione -  $c_U$   info

### Valori di progetto

Periodo di riferimento per la costruzione (in anni) -  $V_R$   info

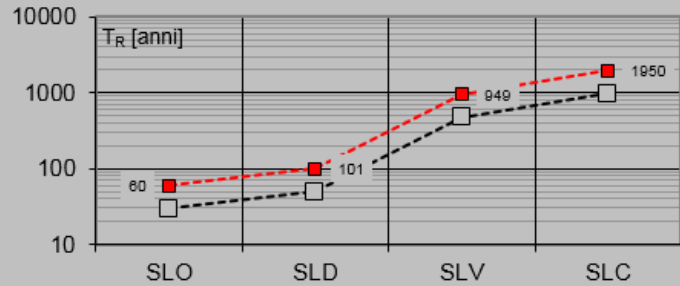
Periodi di ritorno per la definizione dell'azione sismica (in anni) -  $T_R$  info

Stati limite di esercizio - SLE	{ SLO - $P_{VR} = 81\%$	<input type="text" value="60"/>
	{ SLD - $P_{VR} = 63\%$	<input type="text" value="101"/>
Stati limite ultimi - SLU	{ SLV - $P_{VR} = 10\%$	<input type="text" value="949"/>
	{ SLC - $P_{VR} = 5\%$	<input type="text" value="1950"/>

### Elaborazioni

- Grafici parametri azione
- Grafici spettri di risposta
- Tabella parametri azione

### Strategia di progettazione



### LEGENDA GRAFICO

- Strategia per costruzioni ordinarie
- Strategia scelta

INTRO

FASE 1

**FASE 2**

FASE 3



## 7.3 PARAMETRI DI CALCOLO

### 7.3.1 PARAMETRI NUMERICI SISMICI

Nella tabella successiva sono riportati i parametri numerici sismici per i periodi di ritorno associati ai diversi Stati Limite:

SLATO LIMITE	$T_R$ [anni]	$a_g$ [g]	$F_o$ [-]	$T_c^*$ [s]
SLO	60	0,022	2,543	0,194
SLD	101	0,027	2,590	0,211
SLV	949	0,050	2,730	0,304
SLC	1950	0,058	2,819	0,319

### 7.3.2 CATEGORIA DEI TERRENI DI FONDAZIONE E CATEGORIA TOPOGRAFICA

Ai sensi di quanto riportato nella Relazione Geotecnica e nei Profili geotecnici allegati al presente progetto esecutivo il terreno di fondazione è classificato simicamente come di **categoria C**.

Tab. 3.2.II – *Categorie di sottosuolo che permettono l'utilizzo dell'approccio semplificato.*

Categoria	Caratteristiche della superficie topografica
A	<i>Ammassi rocciosi affioranti o terreni molto rigidi caratterizzati da valori di velocità delle onde di taglio superiori a 800 m/s, eventualmente comprendenti in superficie terreni di caratteristiche meccaniche più scadenti con spessore massimo pari a 3 m.</i>
B	<i>Rocce tenere e depositi di terreni a grana grossa molto addensati o terreni a grana fina molto consistenti, caratterizzati da un miglioramento delle proprietà meccaniche con la profondità e da valori di velocità equivalente compresi tra 360 m/s e 800 m/s.</i>
C	<i>Depositi di terreni a grana grossa mediamente addensati o terreni a grana fina mediamente consistenti con profondità del substrato superiori a 30 m, caratterizzati da un miglioramento delle proprietà meccaniche con la profondità e da valori di velocità equivalente compresi tra 180 m/s e 360 m/s.</i>
D	<i>Depositi di terreni a grana grossa scarsamente addensati o di terreni a grana fina scarsamente consistenti, con profondità del substrato superiori a 30 m, caratterizzati da un miglioramento delle proprietà meccaniche con la profondità e da valori di velocità equivalente compresi tra 100 e 180 m/s.</i>
E	<i>Terreni con caratteristiche e valori di velocità equivalente riconducibili a quelle definite per le categorie C o D, con profondità del substrato non superiore a 30 m.</i>

### 7.3.3 CATEGORIA DEI TERRENI DI FONDAZIONE E CATEGORIA TOPOGRAFICA

Considerando che il territorio si presenta essenzialmente pianeggiante e privo di significati salti di quota la categoria topografica del sito è stata assunta pari a **categoria T1**.

Tab. 3.2.III – *Categorie topografiche*

Categoria	Caratteristiche della superficie topografica
T1	<i>Superficie pianeggiante, pendii e rilievi isolati con inclinazione media <math>i \leq 15^\circ</math></i>
T2	<i>Pendii con inclinazione media <math>i &gt; 15^\circ</math></i>
T3	<i>Rilievi con larghezza in cresta molto minore che alla base e inclinazione media <math>15^\circ \leq i \leq 30^\circ</math></i>
T4	<i>Rilievi con larghezza in cresta molto minore che alla base e inclinazione media <math>i &gt; 30^\circ</math></i>

### 7.3.4 FATTORI DI STRUTTURA

A favore di sicurezza e visto il fatto che le opere in esame sono opere interrato, il calcolo e le verifiche sono state effettuate in campo elastico.

Il fattore di struttura è stato pertanto posto pari a  **$q = 1,00$** .

Lo spettro di progetto adottato sarà pertanto identico allo spettro elastico.

### 7.3.5 DEFINIZIONE DELLO SPETTRO DI PROGETTO

Nell'immagine successiva è riportata la determinazione dei parametri dello spettro di risposta valutato per lo Stato Limite di Salvaguardia della Vita (SLV):

## FASE 3. DETERMINAZIONE DELL'AZIONE DI PROGETTO

**Stato Limite**  
 Stato Limite considerato SLV info

**Risposta sismica locale**

Categoria di sottosuolo C info       $S_s =$  1,500       $C_c =$  1,556 info

Categoria topografica T1 info       $h/H =$  1,000       $S_T =$  1,000 info

(h=quota sito, H=altezza rilievo topografico)

**Compon. orizzontale**

Spettro di progetto elastico (SLE)      Smorzamento  $\xi$  (%) 5       $\eta =$  1,000 info

Spettro di progetto inelastico (SLU)      Fattore  $q_0$  1      Regol. in altezza si info

**Compon. verticale**

Spettro di progetto      Fattore  $q$  1       $\eta =$  1,000 info

**Elaborazioni**

Grafici spettri di risposta ➔

Parametri e punti spettri di risposta ➔

**Spettri di risposta**

— Spettro di progetto - componente orizzontale  
 — Spettro di progetto - componente verticale  
 — Spettro elastico di riferimento (Cat. A-T1,  $\xi = 5\%$ )

**INTRO**      **FASE 1**      **FASE 2**      **FASE 3**

Nella tabella successiva sono riportati analiticamente i parametri sismici ed i valori delle accelerazioni normalizzate in funzione del periodo di vibrazione:

### Parametri e punti dello spettro di risposta orizzontale per lo stato SLV

#### Parametri indipendenti

STATO LIMITE	SLV
$a_g$	0,050 g
$F_c$	2,730
$T_c$	0,304 s
$S_s$	1,500
$C_c$	1,556
$S_T$	1,000
$q$	1,000

#### Parametri dipendenti

$S$	1,500
$\eta$	1,000
$T_B$	0,157 s
$T_C$	0,472 s
$T_D$	1,800 s

#### Espressioni dei parametri dipendenti

$$S = S_s \cdot S_T \quad (\text{NTC-08 Eq. 3.2.5})$$

$$\eta = \sqrt{10/(5+\xi)} \geq 0,55; \quad \eta = 1/q \quad (\text{NTC-08 Eq. 3.2.6; §. 3.2.3.5})$$

$$T_B = T_c / 3 \quad (\text{NTC-07 Eq. 3.2.8})$$

$$T_C = C_c \cdot T_c \quad (\text{NTC-07 Eq. 3.2.7})$$

$$T_D = 4,0 \cdot a_x / g + 1,6 \quad (\text{NTC-07 Eq. 3.2.9})$$

#### Espressioni dello spettro di risposta (NTC-08 Eq. 3.2.4)

$$0 \leq T < T_B \quad S_e(T) = a_g \cdot S \cdot \eta \cdot F_c \cdot \left[ \frac{T}{T_B} + \frac{1}{\eta \cdot F_c} \left( 1 - \frac{T}{T_B} \right) \right]$$

$$T_B \leq T < T_C \quad S_e(T) = a_g \cdot S \cdot \eta \cdot F_c$$

$$T_C \leq T < T_D \quad S_e(T) = a_g \cdot S \cdot \eta \cdot F_c \cdot \left( \frac{T_C}{T} \right)$$

$$T_D \leq T \quad S_e(T) = a_g \cdot S \cdot \eta \cdot F_c \cdot \left( \frac{T_C T_D}{T^2} \right)$$

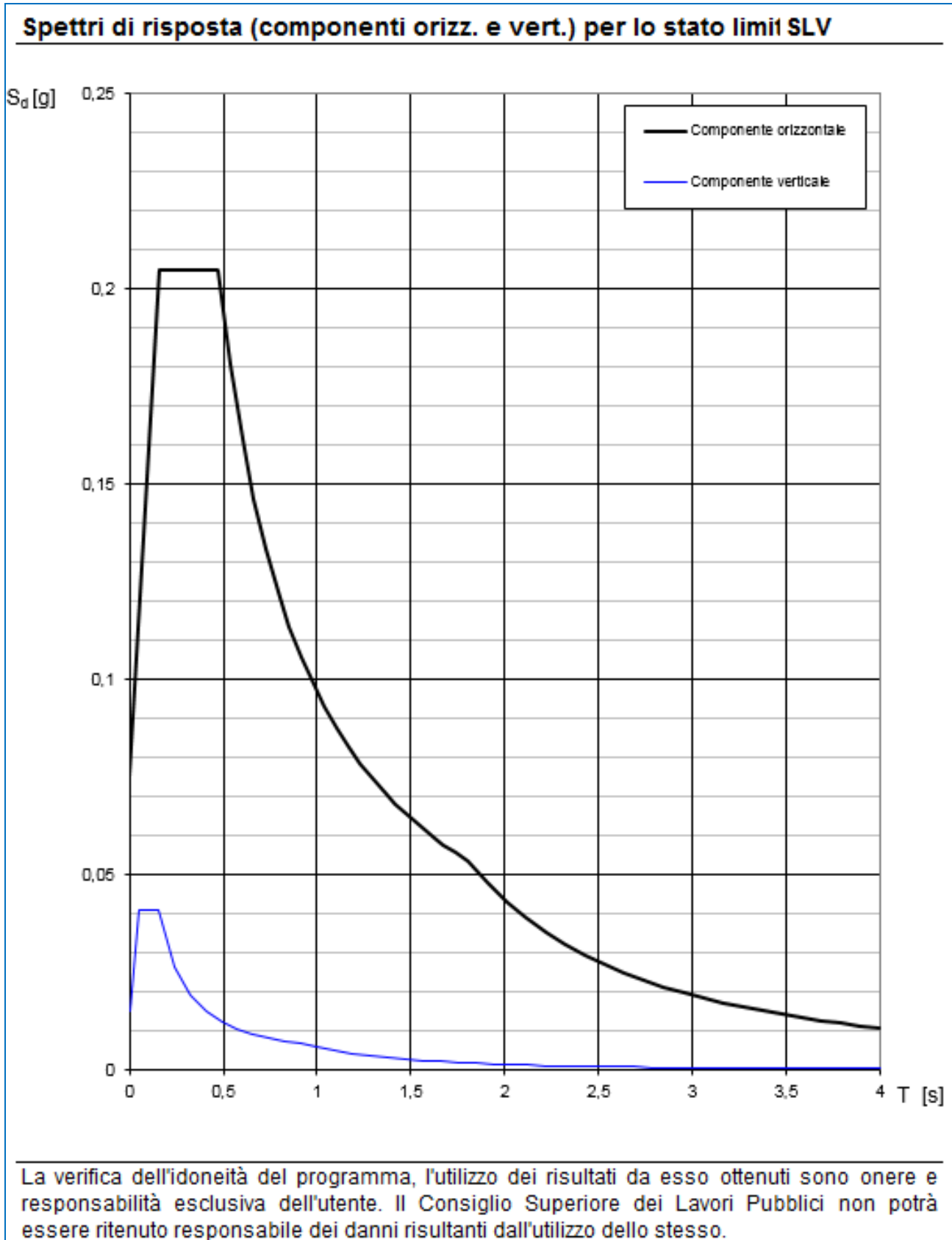
Lo spettro di progetto  $S_d(T)$  per le verifiche agli Stati Limite Ultimi è ottenuto dalle espressioni dello spettro elastico  $S_e(T)$  sostituendo  $\eta$  con  $1/q$ , dove  $q$  è il fattore di struttura. (NTC-08 § 3.2.3.5)

#### Punti dello spettro di risposta

	T [s]	Se [g]
	0,000	0,075
$T_B \leftarrow$	0,157	0,205
$T_C \leftarrow$	0,472	0,205
	0,536	0,180
	0,599	0,161
	0,662	0,146
	0,725	0,133
	0,788	0,123
	0,852	0,114
	0,915	0,106
	0,978	0,099
	1,041	0,093
	1,105	0,088
	1,168	0,083
	1,231	0,079
	1,294	0,075
	1,357	0,071
	1,421	0,068
	1,484	0,065
	1,547	0,062
	1,610	0,060
	1,673	0,058
	1,737	0,056
$T_D \leftarrow$	1,800	0,054
	1,905	0,048
	2,009	0,043
	2,114	0,039
	2,219	0,035
	2,324	0,032
	2,428	0,030
	2,533	0,027
	2,638	0,025
	2,743	0,023
	2,848	0,021
	2,952	0,020
	3,057	0,019
	3,162	0,017
	3,267	0,016
	3,371	0,015
	3,476	0,014
	3,581	0,014
	3,686	0,013
	3,790	0,012
	3,895	0,011
	4,000	0,011

La verifica dell' idoneità del programma, l'utilizzo dei risultati da esso ottenuti sono onere e responsabilità esclusiva dell'utente. Il Consiglio Superiore dei Lavori Pubblici non potrà essere ritenuto responsabile dei danni risultanti dall'utilizzo dell

Nell'immagine successiva è riportato il diagramma dello spettro di risposta per lo Stato Limite di Salvaguardia della Vita:



#### 7.4 DEFINIZIONE DEI COEFFICIENTI SISMICI DI CALCOLO

Il coefficiente sismico orizzontale è determinato mediante la seguente relazione:

$$k_h = \beta_m \cdot \frac{a_{\max}}{g}$$

dove:

- $a_{\max}$  → accelerazione orizzontale massima attesa al sito valutata mediante la seguente formulazione:

$$a_{\max} = S \cdot a_g / g = S_S \cdot S_T \cdot a_g / g = 1,00 \cdot 1,50 \cdot 0,050 = 0,075$$

- $g$  → accelerazione di gravità

Il muro di sostegno può essere considerato come libero di ruotare intorno al piede. Il coefficiente  $\beta_m$  viene pertanto determinato secondo quanto previsto dal D.M. 17.01.2018 “Nuove Norme Tecniche per le Costruzioni” – par. 7.11.6.2.1:

Il coefficiente  $\beta_m$  assume un valore pari all'unità per muri impediti di traslare e ruotare.

I coefficienti sismici in direzione orizzontale e verticale risultano dunque pari a:

$$k_h = 0,075$$

$$k_v = 0,0375$$

## 8 ANALISI DEI CARICHI

### 8.1 PESO PROPRIO DELLE STRUTTURE IN CEMENTO ARMATO

Il peso per unità di volume delle strutture in cemento armato è assunto pari a  $\gamma_{ca} = 25,0 \text{ kN/m}^3$ .

Il peso proprio degli elementi strutturali è stato assegnato in automatico dal programma di calcolo in relazione alle reali dimensioni delle sezioni strutturali.

### 8.2 PESO PROPRIO DEL RINFIANCO DEL TOMBINO SCATOLARE

Il peso proprio del rinfianco in misto cementato (gravante sulla zattera di fondazione) è stato assunto pari  $\gamma = 20,00 \text{ kN/m}^3$ .

### 8.3 PESO PROPRIO DEL PARAPETTO

Al di sopra della sommità delle pareti verticali è stata prevista la posa in opera di un parapetto metallico, il cui peso per unità di lunghezza è stato assunto pari a  $p = 0,20 \text{ kN/m}$ .

### 8.4 CARICHI ACCIDENTALI A TERGO DEL MURO

A favore di sicurezza e per tener conto della eventuale presenza di mezzi d'opera leggeri in fase di manutenzione si considera un carico accidentale a tergo del muro (gravante sulla zattera di fondazione) pari a  $q = 20,00 \text{ kN/m}^2$ .

### 8.5 SPINTA DEI TERRENI A TERGO DELL'OPERA DI SOSTEGNO

A favore di sicurezza la spinta del terreno agente esternamente all'opera è stata trascurata, mentre è stata considerata la spinta sulle pareti verticali agente dall'interno verso l'esterno, assumendo un peso per unità di volume  $\gamma = 20,0 \text{ kN/m}^3$ , calcolata in condizioni di riposo mediante la seguente relazione:

$$S_0 = \frac{1}{2} \cdot \gamma \cdot k_0 \cdot H^2$$

dove:

- $\gamma$  → peso per unità di volume del terreno:
- $H$  → altezza di applicazione della spinta
- $k_0$  → coefficiente di spinta a riposo, determinato mediante la relazione:

$$k_0 = 1 - \text{sen}(\varphi)$$

con:

- $\varphi$  = angolo di attrito interno

### 8.6 SPINTA DEI SOVRACCARICHI A TERGO DELL'OPERA DI SOSTEGNO

La spinta dei sovraccarichi agenti a tergo dell'opera è stata calcolata in condizioni di riposo del terreno mediante la seguente relazione:

$$S_q = q \cdot k_0 \cdot H$$

dove:

- $q$  è l'entità del sovraccarico agente

Sono stati considerati i seguenti sovraccarichi agenti:

- sovraccarichi accidentali →  $q = 20,00 \text{ kN/m}^2$

## 8.7 AZIONE SISMICA

Le sollecitazioni agenti sulla struttura in fase sismica vengono determinate attraverso un'analisi pseudo-statica, secondo quanto riportato nel DM 17.01.2018 "Nuove norme tecniche per le costruzioni", paragrafo 7.11.6.

### 8.7.1 AZIONE INERZIALE DELLE MASSE

Le azioni inerziali, orizzontali e verticali, dovute alle accelerazioni subite in fase sismica dalle masse degli elementi strutturali e del terreno vengono valutate moltiplicando il peso degli elementi strutturali per i coefficienti sismici orizzontale  $k_h$  e verticale  $k_v$ .

## 8.8 SOVRASPINTA DINAMICA DEI TERRENI

La sovraspinta dinamica laterali dei terreni è stata determinata mediante la formulazione di Wood:

$$\Delta P = \gamma \cdot \frac{a_g}{g} \cdot S \cdot H^2$$

dove:

- $\gamma$  → peso per unità di volume del terreno:
- $H$  → altezza di applicazione della spinta
- $a_g/g$  → accelerazione orizzontale massima su sito di riferimento rigido orizzontale
- $S$  → coefficiente che tiene conto della categoria di sottosuolo e della categoria topografica

## 9 COMBINAZIONI DI CARICO

### 9.1 COMBINAZIONI DI CARICO ALLO STATO LIMITE DI ESERCIZIO – COMBINAZIONI QUASI-PERMANENTI

Per le combinazioni di carico statiche relative alla struttura in oggetto si è fatto riferimento a quanto riportato nel capitolo nel D.M. 17.01.2018 “Nuove norme tecniche per le costruzioni”, par. 2.5.3.

Sulla base di ciò sono state individuate le combinazioni di carico statiche quasi permanenti allo Stato Limite di Esercizio, ottenute tramite la relazione generale:

$$F_d = \sum G_{kj} + \sum (\psi_{2i} \cdot Q_{ki})$$

dove:

- $G_{kj}$  rappresenta il valore caratteristico della j-esima azione permanente
- $Q_{ki}$  rappresenta il valore caratteristico della i-esima azione variabile
- $\psi_{2i}$  rappresentano i coefficienti di combinazione per tener conto della ridotta probabilità di concomitanza delle azioni variabili con i loro valori quasi permanenti

### 9.2 COMBINAZIONI DI CARICO ALLO STATO LIMITE DI ESERCIZIO – COMBINAZIONI FREQUENTI

Per le combinazioni di carico statiche relative alla struttura in oggetto si è fatto riferimento a quanto riportato nel capitolo nel D.M. 17.01.2018 “Nuove norme tecniche per le costruzioni”, par. 2.5.3.

Sulla base di ciò sono state individuate le combinazioni di carico statiche frequenti allo Stato Limite di Esercizio, ottenute tramite la relazione generale:

$$F_d = \sum G_{kj} + \psi_{11} \cdot Q_{k1} + \sum (\psi_{2i} \cdot Q_{ki})$$

dove:

- $G_{kj}$  rappresenta il valore caratteristico della j-esima azione permanente
- $Q_{k1}$  rappresenta il valore caratteristico dell'azione variabile di base in ogni combinazione
- $Q_{ki}$  rappresenta il valore caratteristico della i-esima azione variabile
- $\psi_{1i}$  rappresentano i coefficienti di combinazione per tener conto della ridotta probabilità di concomitanza delle azioni variabili con i loro valori frequenti

### 9.3 COMBINAZIONI DI CARICO ALLO STATO LIMITE DI ESERCIZIO – COMBINAZIONI CARATTERISTICHE

Per le combinazioni di carico statiche relative alla struttura in oggetto si è fatto riferimento a quanto riportato nel capitolo nel D.M. 17.01.2018 “Nuove norme tecniche per le costruzioni”, par. 2.5.3.

Sulla base di ciò sono state individuate le combinazioni di carico statiche caratteristiche allo Stato Limite di Esercizio, ottenute tramite la relazione generale:

$$F_d = \sum G_{kj} + Q_{k1} + \sum (\psi_{0i} \cdot Q_{ki})$$

dove:

- $G_{kj}$  rappresenta il valore caratteristico della j-esima azione permanente
- $Q_{k1}$  rappresenta il valore caratteristico dell'azione variabile di base in ogni combinazione
- $Q_{ki}$  rappresenta il valore caratteristico della i-esima azione variabile



- $\Psi_{0i}$  rappresentano i coefficienti di combinazione per tener conto della ridotta probabilità di concomitanza delle azioni variabili con i loro valori caratteristici

#### 9.4 COMBINAZIONI DI CARICO ALLO STATO LIMITE ULTIMO STATICHE

Per le combinazioni di carico statiche relative alla struttura in oggetto si è fatto riferimento a quanto riportato nel capitolo nel D.M. 17.01.2018 “Nuove norme tecniche per le costruzioni”, par. 2.5.3.

Sulla base di ciò sono state individuate le combinazioni di carico statiche allo Stato Limite Ultimo, ottenute tramite la relazione generale:

$$F_d = \sum_{j=1}^m (\gamma_{Gj} \cdot G_{kj}) + \gamma_{Q1} \cdot Q_{k1} + \sum_{i=2}^n (\psi_{0i} \cdot \gamma_{Qi} \cdot Q_{ki})$$

dove:

- $\gamma_G$  e  $\gamma_Q$  rappresentano i coefficienti parziali di amplificazione dei carichi
- $G_{kj}$  rappresenta il valore caratteristico della j-esima azione permanente
- $Q_{k1}$  rappresenta il valore caratteristico dell'azione variabile di base in ogni combinazione
- $Q_{ki}$  rappresenta il valore caratteristico della i-esima azione variabile
- $\Psi_{0i}$  rappresentano i coefficienti di combinazione per tener conto della ridotta probabilità di concomitanza delle azioni variabili con i loro valori caratteristici

I coefficienti di amplificazione dei carichi per le combinazioni di carico, secondo il D.M. 17.01.2018 “Nuove norme tecniche per le costruzioni”, par. 2.6, tabella 2.6.I, sono riepilogati nelle seguenti tabelle:

**Tab. 2.6.I – Coefficienti parziali per le azioni o per l'effetto delle azioni nelle verifiche SLU**

		Coefficiente	EQU	A1	A2
		$\gamma_f$			
Carichi permanenti $G_1$	Favorevoli	$\gamma_{G1}$	0,9	1,0	1,0
	Sfavorevoli		1,1	1,3	1,0
Carichi permanenti non strutturali $G_2^{(1)}$	Favorevoli	$\gamma_{G2}$	0,8	0,8	0,8
	Sfavorevoli		1,5	1,5	1,3
Azioni variabili Q	Favorevoli	$\gamma_Q$	0,0	0,0	0,0
	Sfavorevoli		1,5	1,5	1,3

<sup>(1)</sup> Nel caso in cui l'intensità dei carichi permanenti non strutturali o di una parte di essi (ad es. carichi permanenti portati) sia ben definita in fase di progetto, per detti carichi o per la parte di essi nota si potranno adottare gli stessi coefficienti parziali validi per le azioni permanenti.

Le verifiche di tipo geotecnico sono state effettuate secondo l'approccio 2 (A1-M1-R3) del D.M. 17.01.2018 “Nuove Norme Tecniche per le Costruzioni”, cap.6.

I coefficienti di riduzione dei parametri geotecnici e delle resistenze verranno esplicitati negli specifici paragrafi relativi alle verifiche di carattere geotecnico.

## 9.5 COMBINAZIONE DI CARICO SISMICHE

In fase sismica è stata ipotizzata un'unica combinazione di carico allo Stato Limite di Salvaguardia ottenuta tramite la relazione generale:

$$F_d = E + \sum G_{kj} + \sum (\psi_{2i} \cdot Q_{ki})$$

dove:

- E rappresenta il carico sismico
- $G_{kj}$  rappresenta il valore caratteristico della j-esima azione permanente
- $Q_{ki}$  rappresenta il valore caratteristico della i-esima azione variabile
- $\psi_{2i}$  rappresentano i coefficienti di combinazione per tener conto della ridotta probabilità di concomitanza delle azioni variabili con i loro valori quasi permanenti

## 9.6 DEFINIZIONE DEI COEFFICIENTI DI PARTECIPAZIONE E RIEPILOGO DELLE COMBINAZIONI

Nella tabella successiva sono riportati i coefficienti di amplificazione ( $\gamma$ ) e i coefficienti di partecipazione ( $\psi$ ) dei carichi elementari considerati nella definizione delle combinazioni di carico:

CARICO ELEMENTARE		$\gamma$	$\psi_0$	$\psi_1$	$\psi_2$
Pesi propri strutturali	$g_1$	1,35	1,00	1,00	1,00
Peso proprio del terreno a tergo del muro	$g_2$	1,35	1,00	1,00	1,00
Peso proprio del parapetto metallico	$g_3$	1,35	1,00	1,00	1,00
Spinta orizzontale dei terreni	$g_4$	1,35	1,00	1,00	1,00
Carichi accidentali a tergo del muro	$q_1$	1,50	1,00	0,75	0,00
Spinta orizzontale dei carichi accidentali a tergo del muro	$q_2$	1,50	1,00	0,75	0,00
Sovrappinta dinamica dei terreni	$s_1$	-	-	-	-
Inerzia sismica degli elementi strutturali	$s_2$	-	-	-	-
Inerzia sismica del terreno a tergo del muro	$s_3$	-	-	-	-
Inerzia sismica del parapetto metallico	$s_4$	-	-	-	-

Nelle tabelle successive sono riepilogate le combinazioni di carico utilizzate per le verifiche degli elementi strutturali:

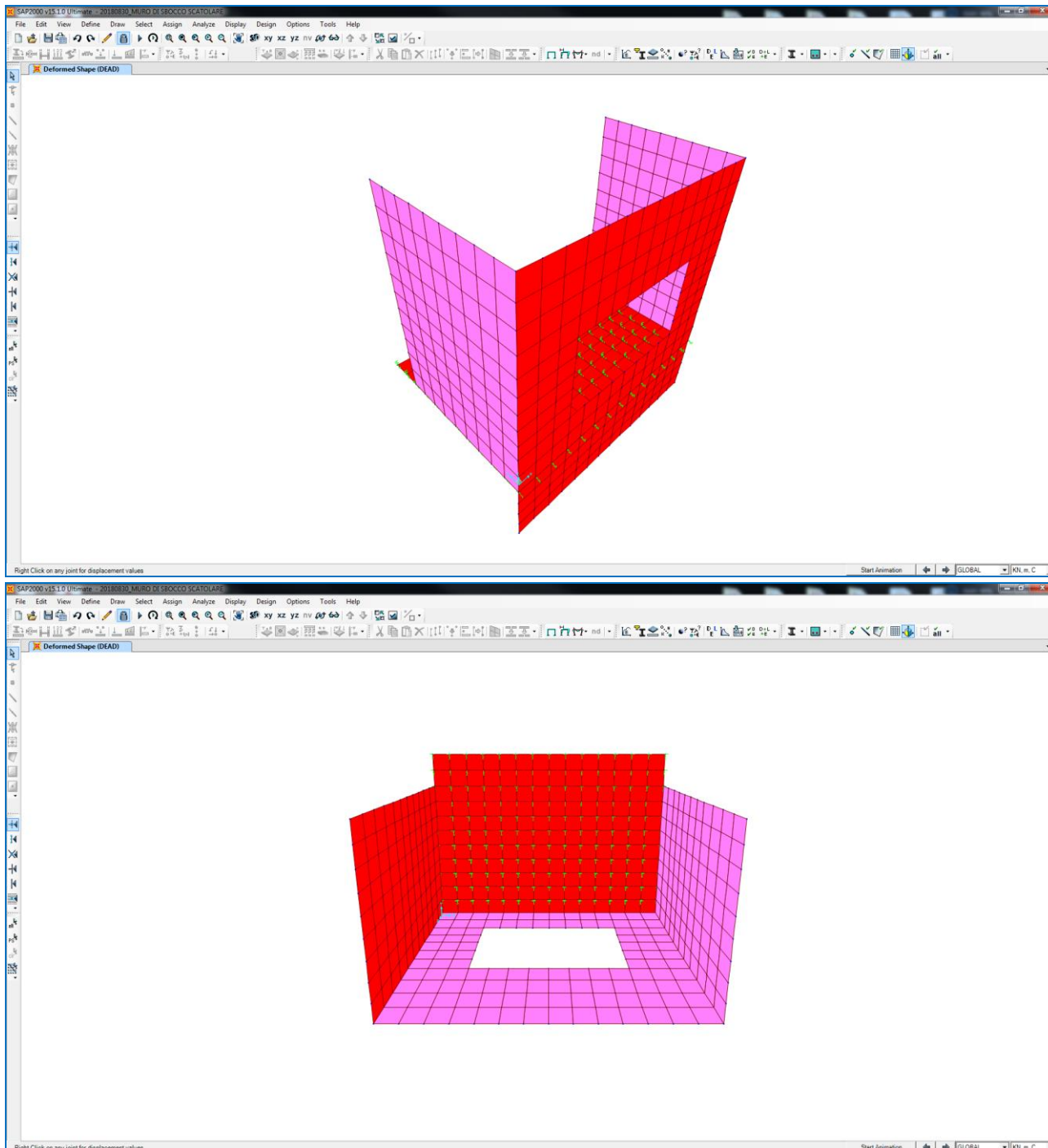
CARICO ELEMENTARE	SLE - QUASI PERMANENTI		SLE - FREQUENTE		SLE - RARA	
	$\gamma$	$\psi$	$\gamma$	$\psi$	$\gamma$	$\psi$
g <sub>1</sub>	1,00	1,00	1,00	1,00	1,00	1,00
g <sub>2</sub>	1,00	1,00	1,00	1,00	1,00	1,00
g <sub>3</sub>	1,00	1,00	1,00	1,00	1,00	1,00
g <sub>4</sub>	1,00	1,00	1,00	1,00	1,00	1,00
q <sub>1</sub>	1,00	0,00	1,00	0,75	1,00	1,00
q <sub>2</sub>	1,00	0,00	1,00	0,75	1,00	1,00
s <sub>1</sub>	-	-	-	-	-	-
s <sub>2</sub>	-	-	-	-	-	-
s <sub>3</sub>	-	-	-	-	-	-
s <sub>4</sub>	-	-	-	-	-	-

CARICO ELEMENTARE	SLU - STR		SLV	
	$\gamma$	$\psi$	$\gamma$	$\psi$
g <sub>1</sub>	1,35	1,00	1,00	1,00
g <sub>2</sub>	1,35	1,00	1,00	1,00
g <sub>3</sub>	1,35	1,00	1,00	1,00
g <sub>4</sub>	1,35	1,00	1,00	1,00
q <sub>1</sub>	1,50	1,00	1,00	0,00
q <sub>2</sub>	1,50	1,00	1,00	0,00
s <sub>1</sub>	-	-	1,00	1,00
s <sub>2</sub>	-	-	1,00	1,00
s <sub>3</sub>	-	-	1,00	1,00
s <sub>4</sub>	-	-	1,00	1,00

## 10 MODELLO DI CALCOLO

### 10.1 DEFINIZIONE DEL MODELLO DI CALCOLO

Al fine di valutare le azioni sollecitanti sulle pareti verticali e sulla zattera di fondazione, sia in direzione verticale che orizzontale (i muri sono collegati direttamente alla canna del tombino scatolare), è stato approntato un apposito modello di calcolo agli elementi finiti mediante il software SAP2000 v.15.1:



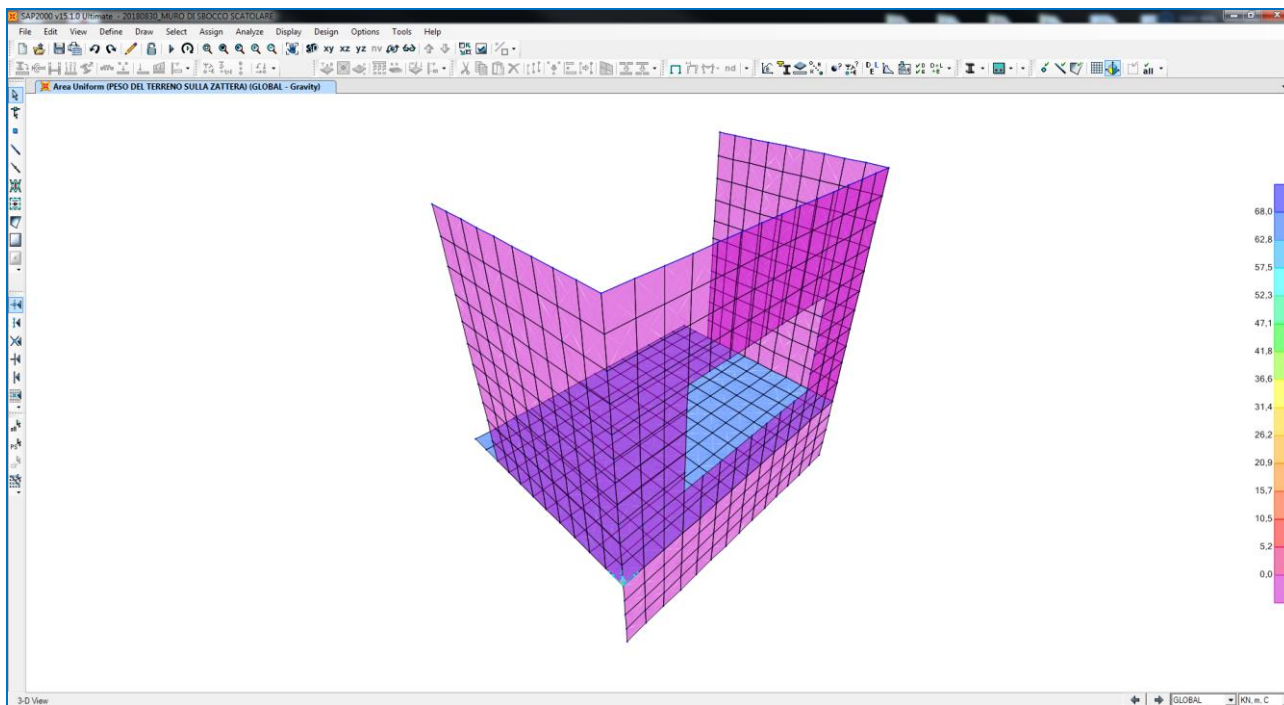
Gli elementi strutturali sono stati modellati mediante elementi bidimensionali tipo “shell”, con comportamento a “lastra – piastra” e con spessore pari allo spessore reale della sezione strutturale.

Il terreno al di sotto della zattera di fondazione è stato modellato mediante molle elastiche alle quali sono state assegnate le seguenti costanti di rigidezza (a favore di sicurezza):

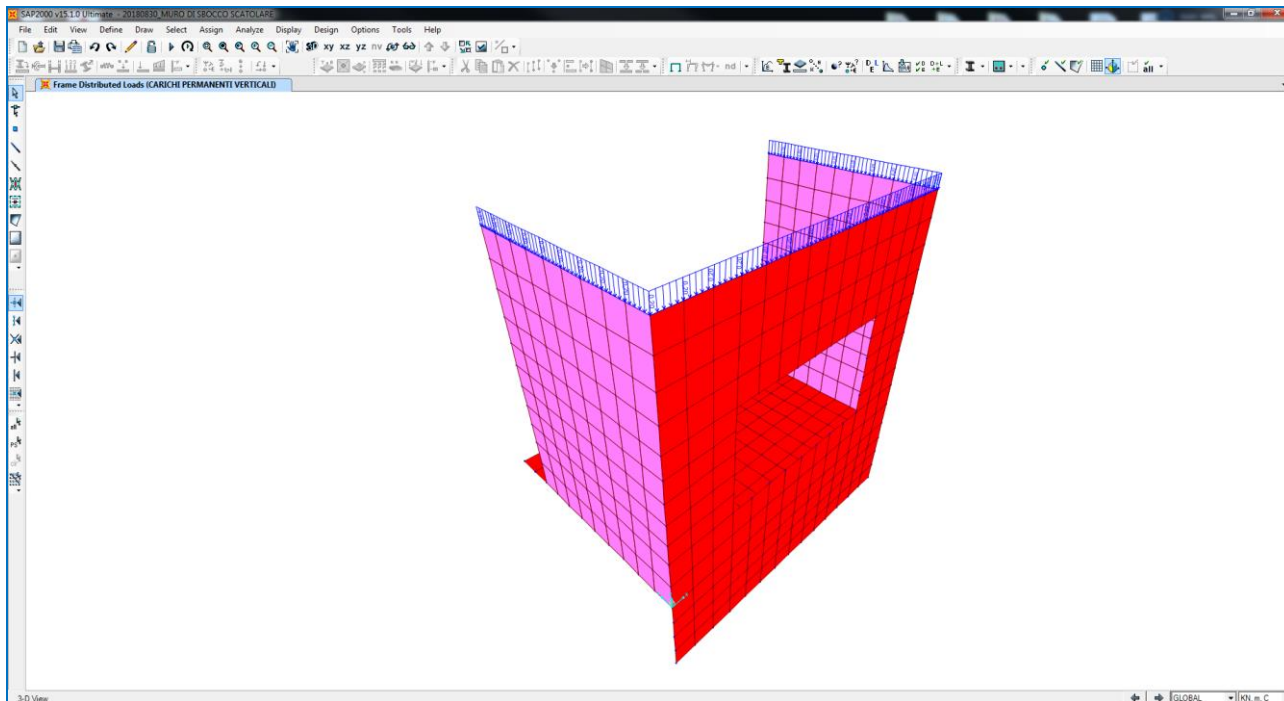
- Direzione verticale →  $k = 15.000,00 \text{ kN/m}^3$
- Direzione orizzontale →  $k = 7.500,00 \text{ kN/m}^3$

## 10.2 APPLICAZIONE DEI CARICHI ELEMENTARI

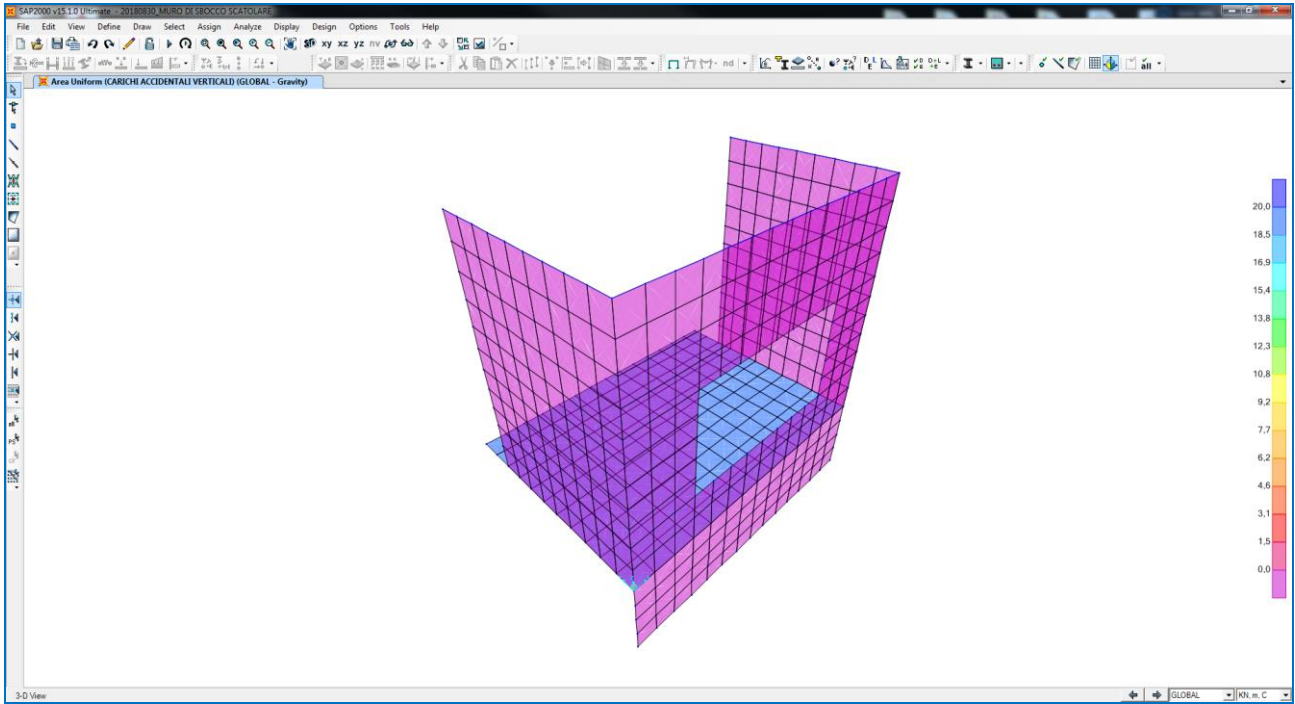
### 10.2.1 PESO PROPRIO DEL TERRENO A TERGO DEL MURO



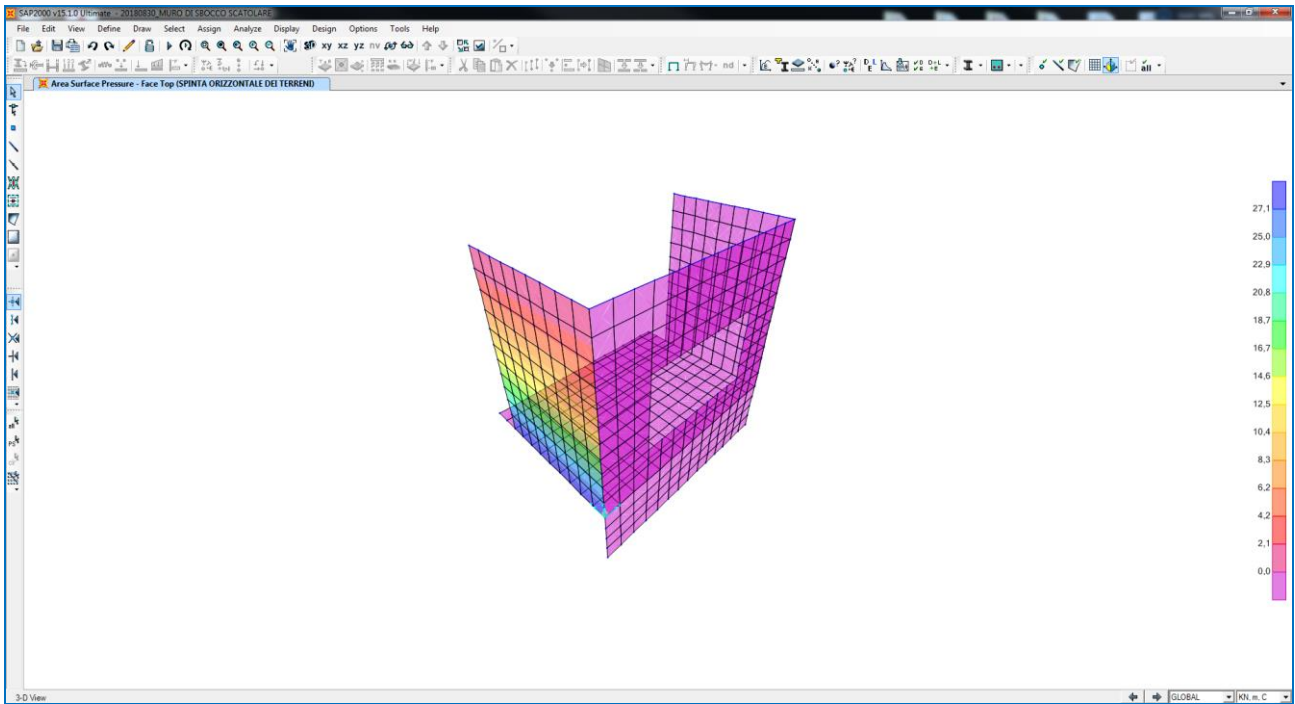
### 10.2.2 PESO PROPRIO DEL PARAPETTO METALLICO



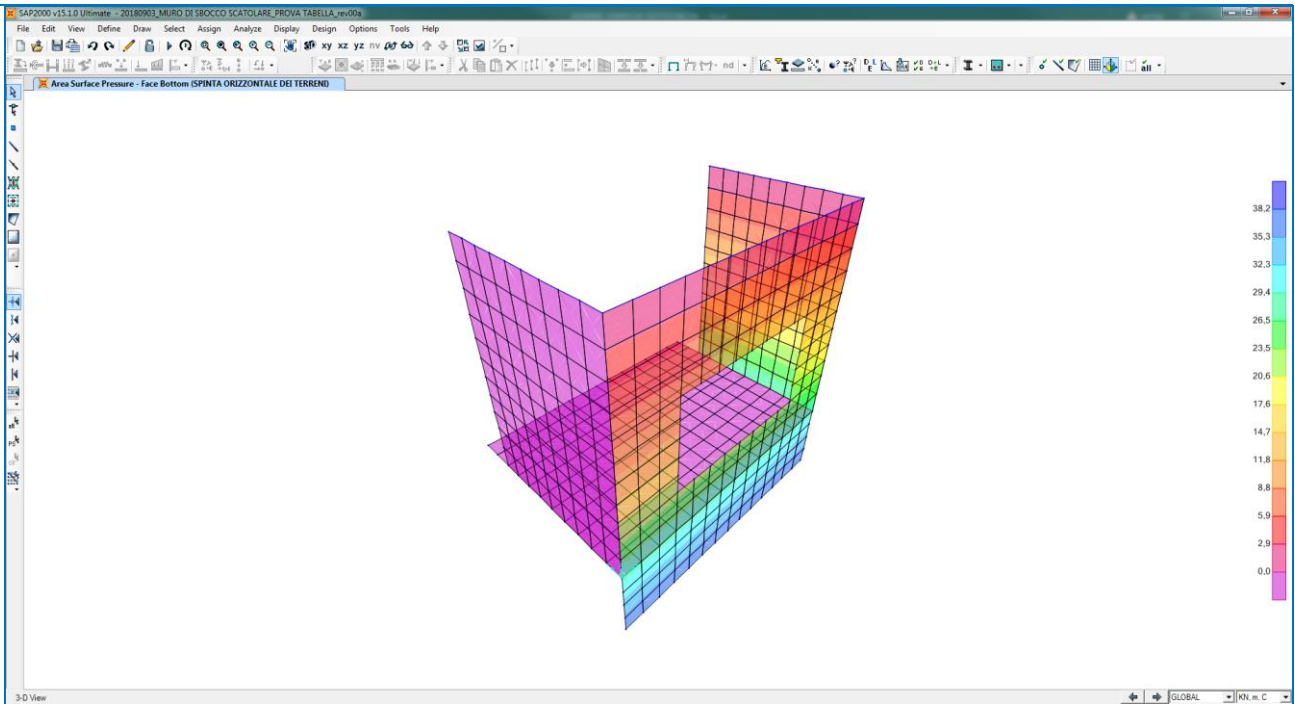
### 10.2.3 CARICHI ACCIDENTALI A TERGO DEL MURO



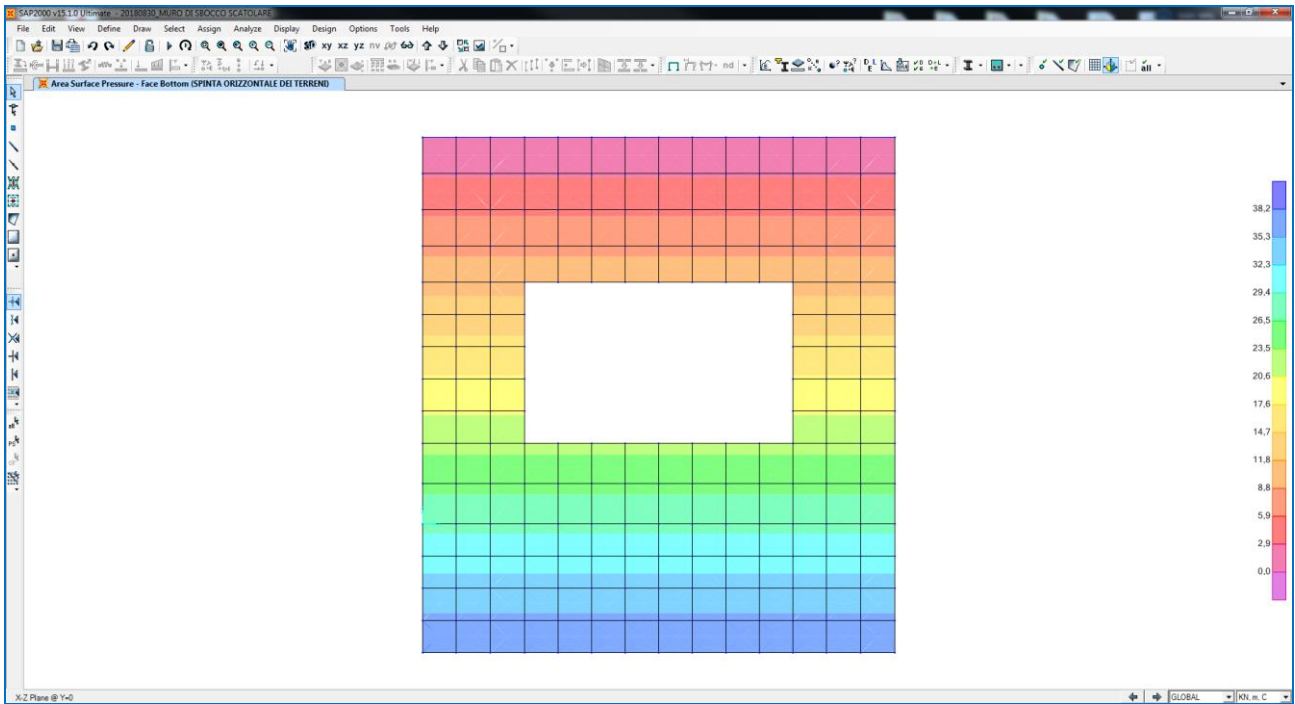
### 10.2.4 SPINTA ORIZZONTALE DEI TERRENI A TERGO DEL MURO SULLA PARETE SINISTRA



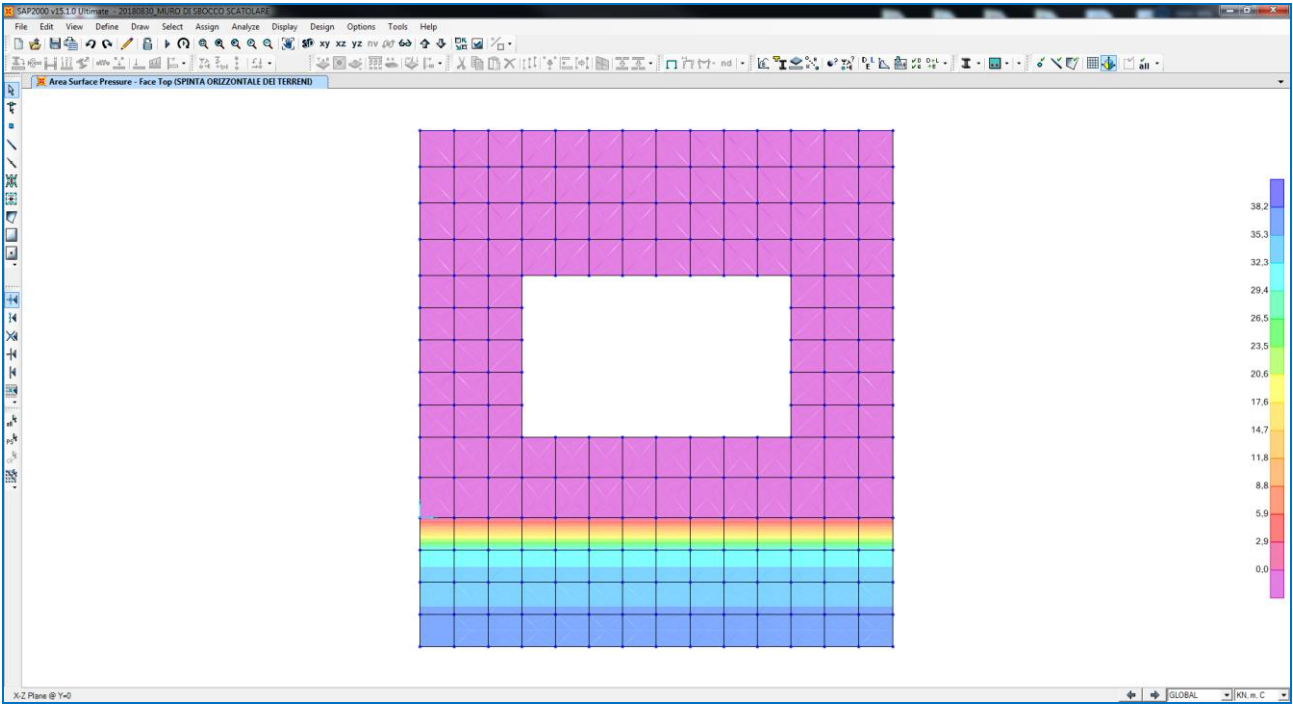
### 10.3 SPINTA ORIZZONTALE DEI TERRENI A TERGO DEL MURO SULLA PARETE DESTRA



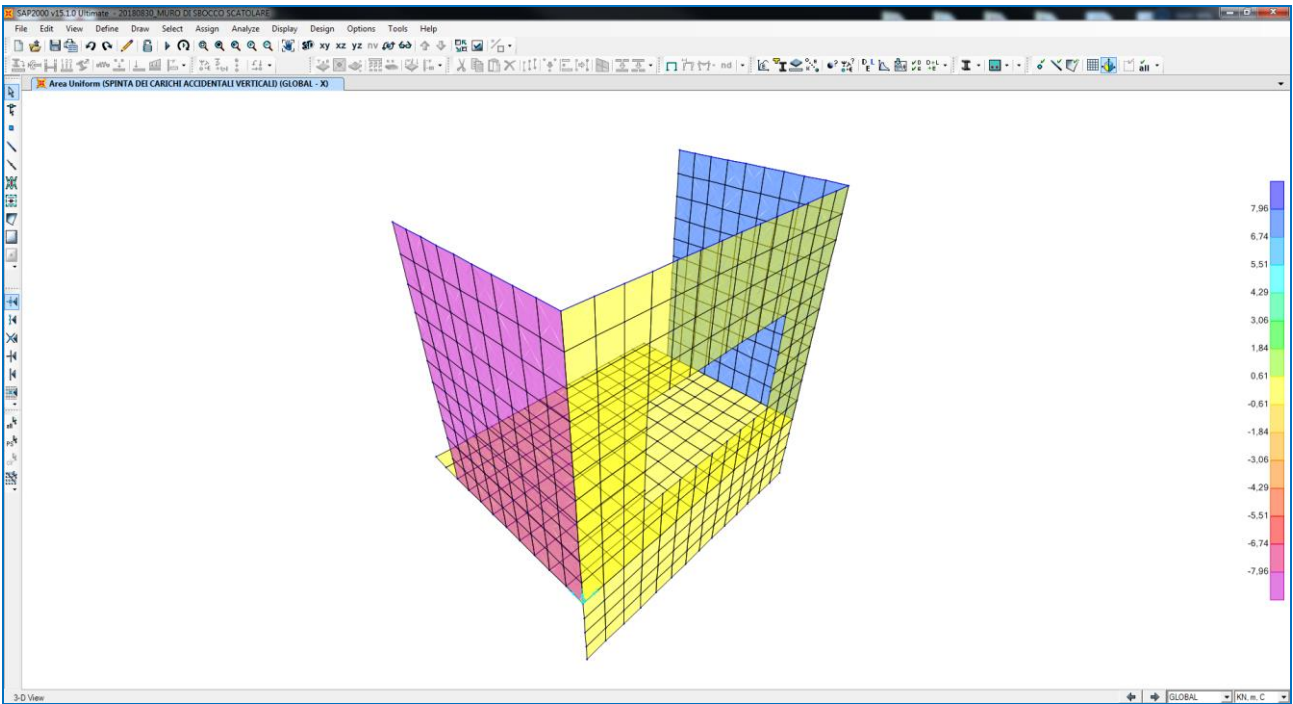
### 10.3.1 SPINTA ORIZZONTALE DEI TERRENI A TERGO DEL MURO SULLA PARETE FRONTALE



### 10.3.2 SPINTA ORIZZONTALE DEI TERRENI A VALLE DEL MURO (AGENTE SUL TAGLIONE)

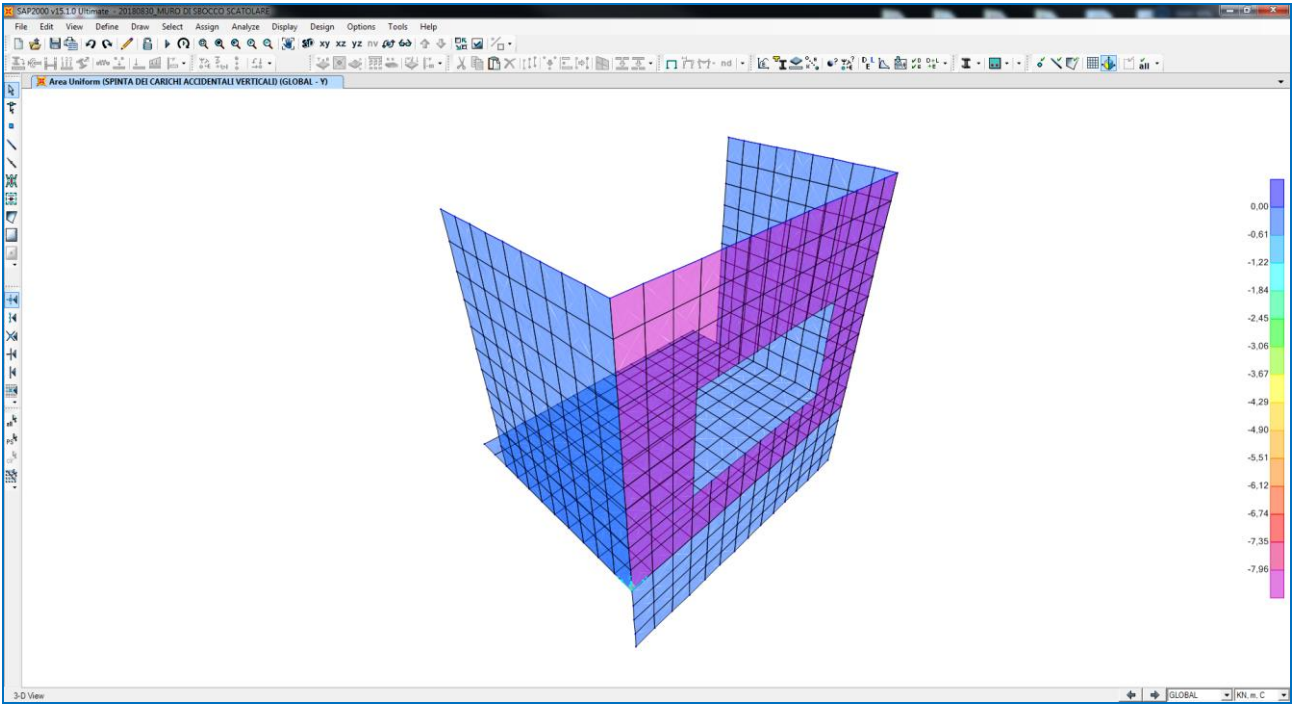


### 10.3.3 SPINTA ORIZZONTALE DEI CARICHI ACCIDENTALI A TERGO DEL MURO SULLE PARETI LATERALI



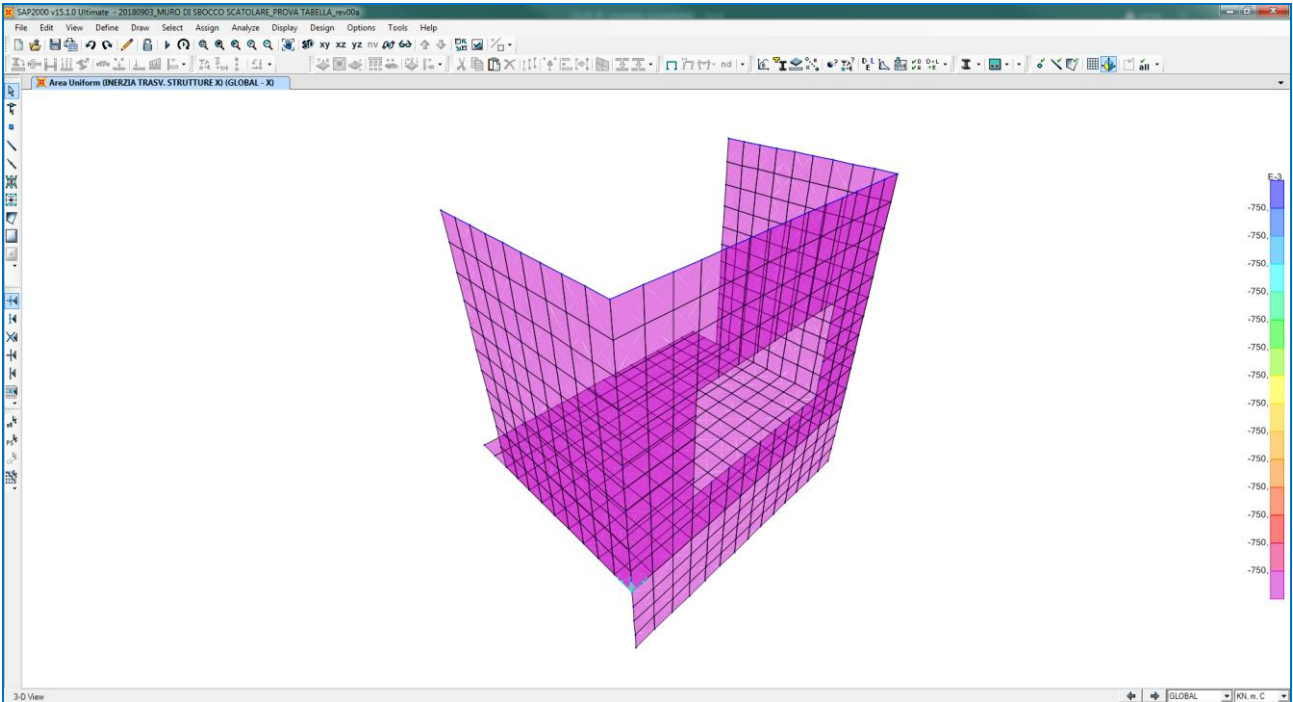


### 10.3.4 SPINTA ORIZZONTALE DEI CARICHI ACCIDENTALI A TERGO DEL MURO SULLA PARETE FRONTALE

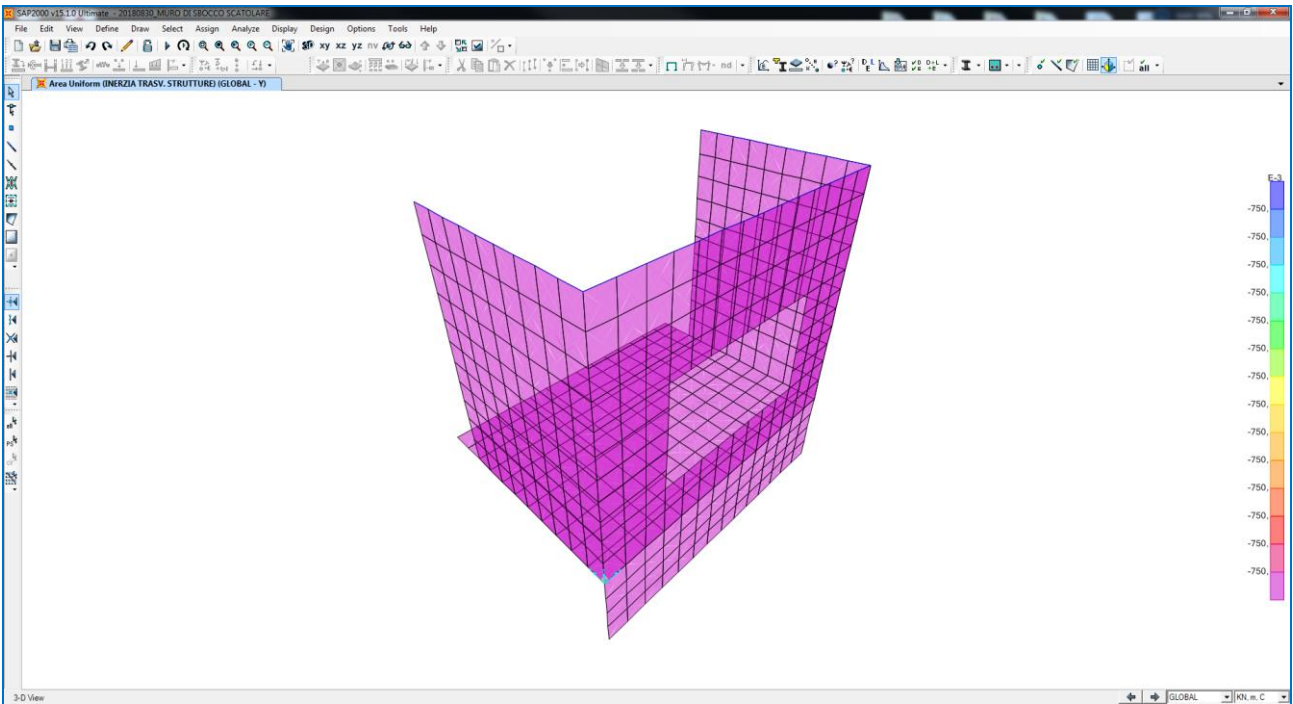


### 10.3.5 INERZIA SISMICA ORIZZONTALE DEGLI ELEMENTI STRUTTURALI

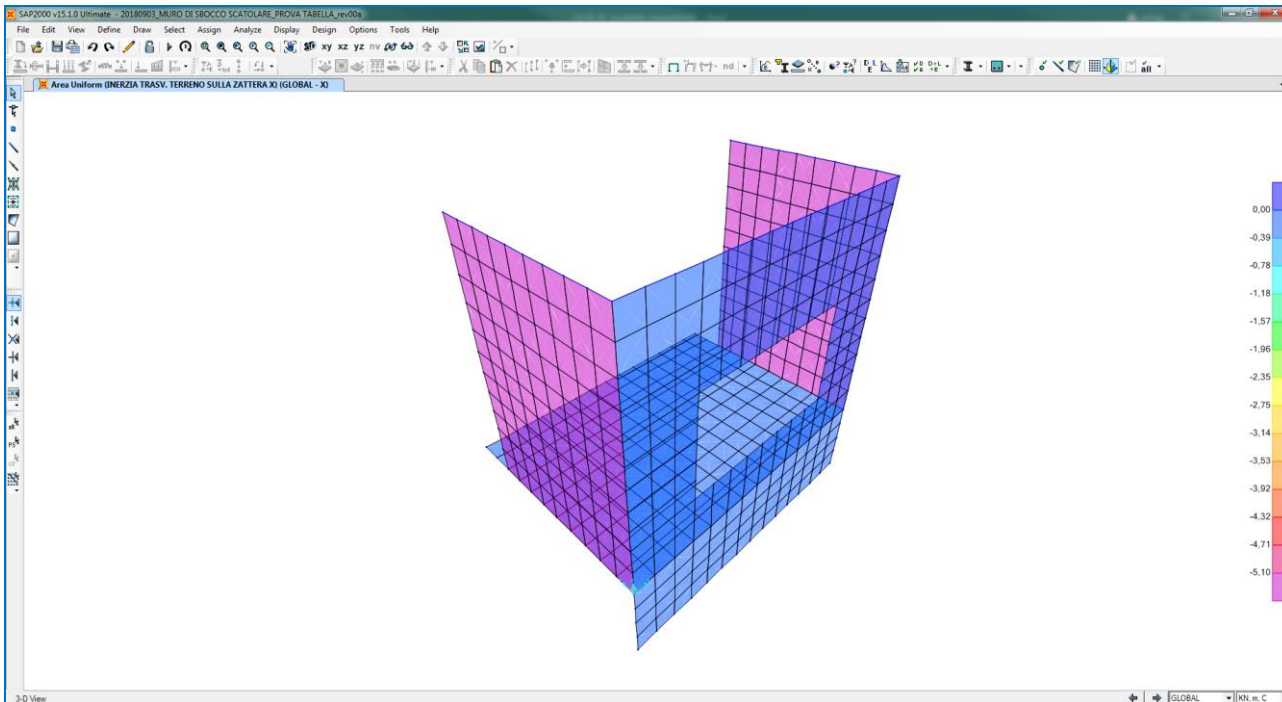
#### DIREZIONE X



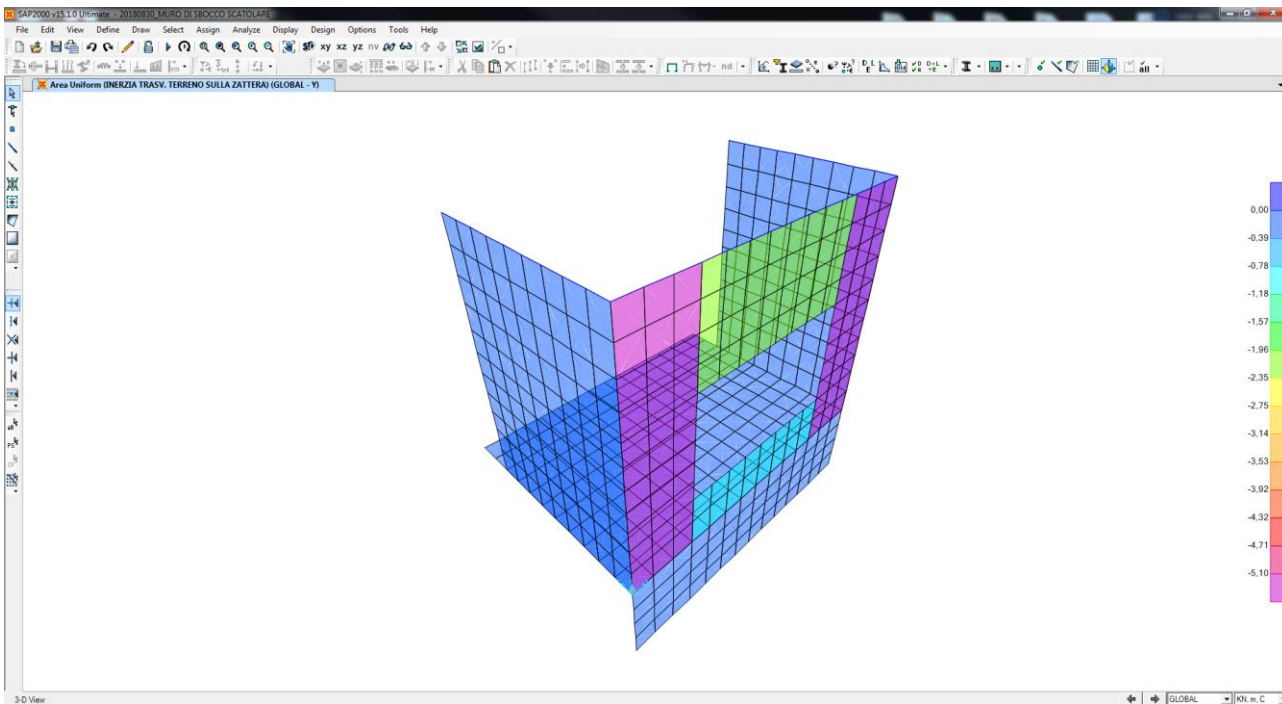
#### DIREZIONE Y



### 10.3.6 INERZIA SISMICA ORIZZONTALE DEL TERRENO A TERGO DEL MURO SULLE PARETI LATERALI DIREZIONE X

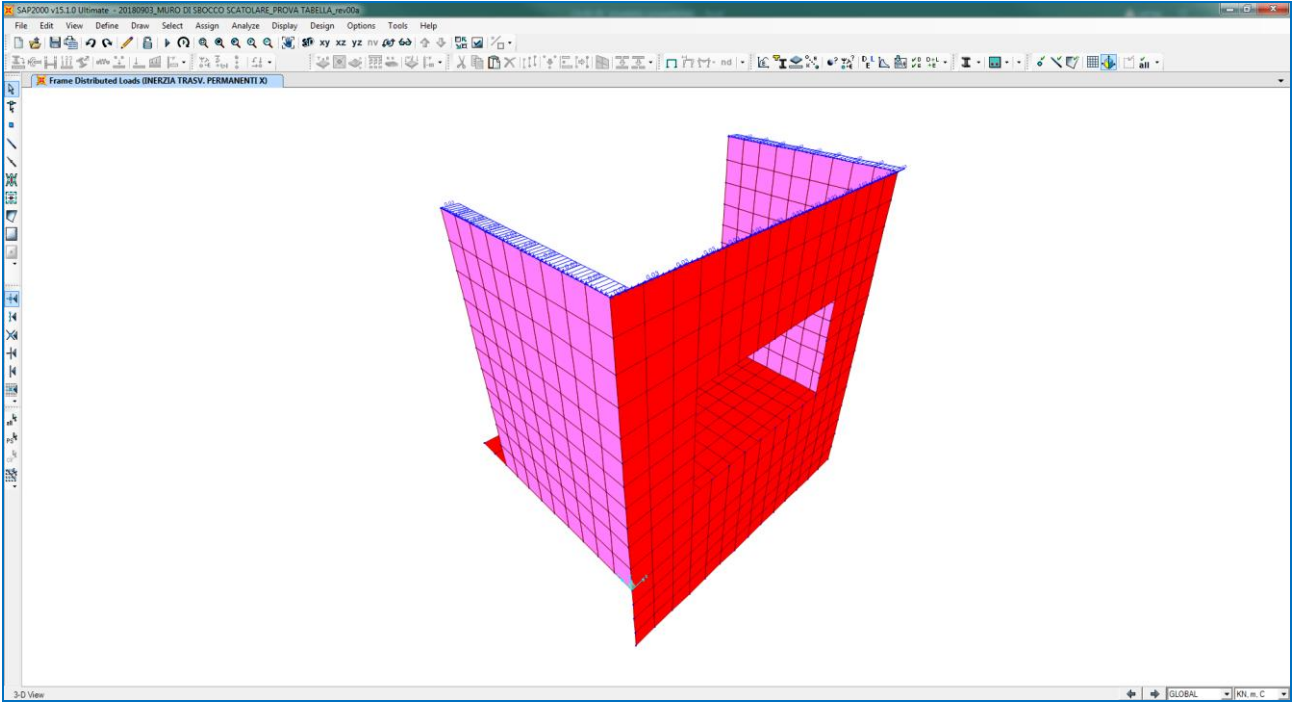


### 10.3.7 INERZIA SISMICA ORIZZONTALE DEL TERRENO A TERGO DEL MURO SULLA PARETE FRONTALE DIREZIONE Y

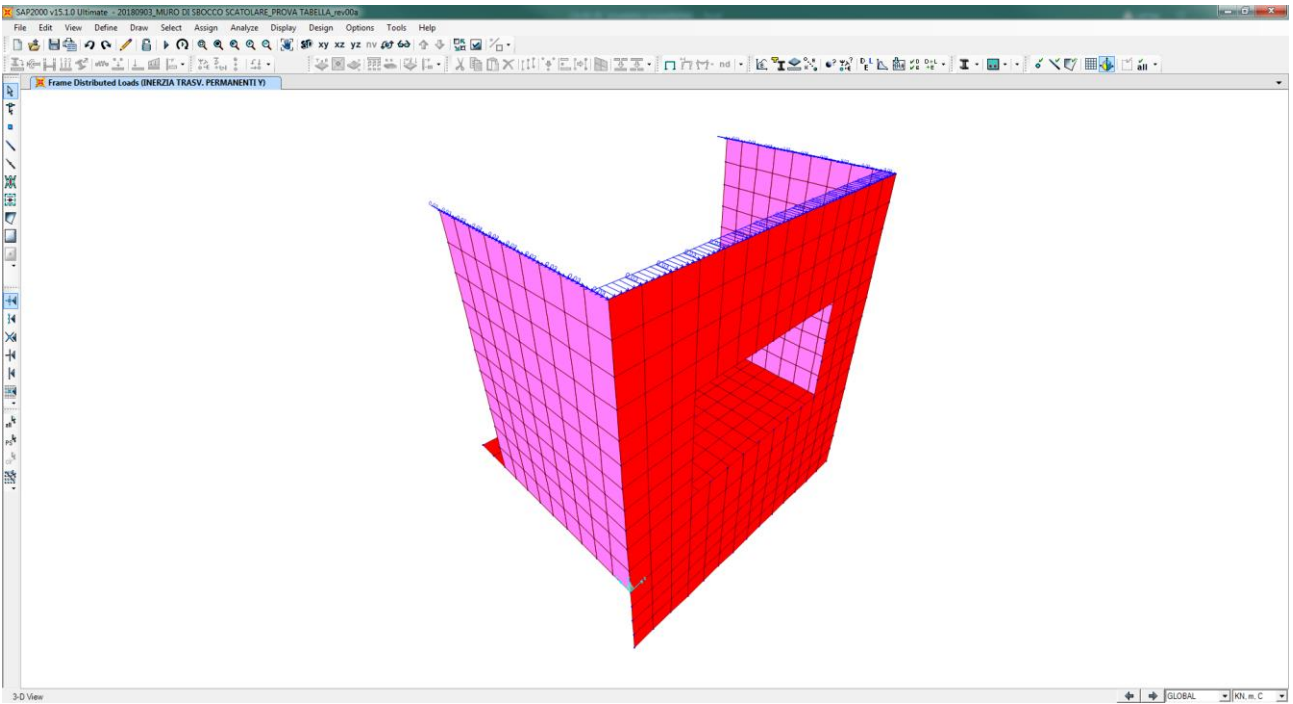


### 10.3.8 INERZIA SISMICA ORIZZONTALE DEL PARAPETTO METALLICO

#### DIREZIONE X

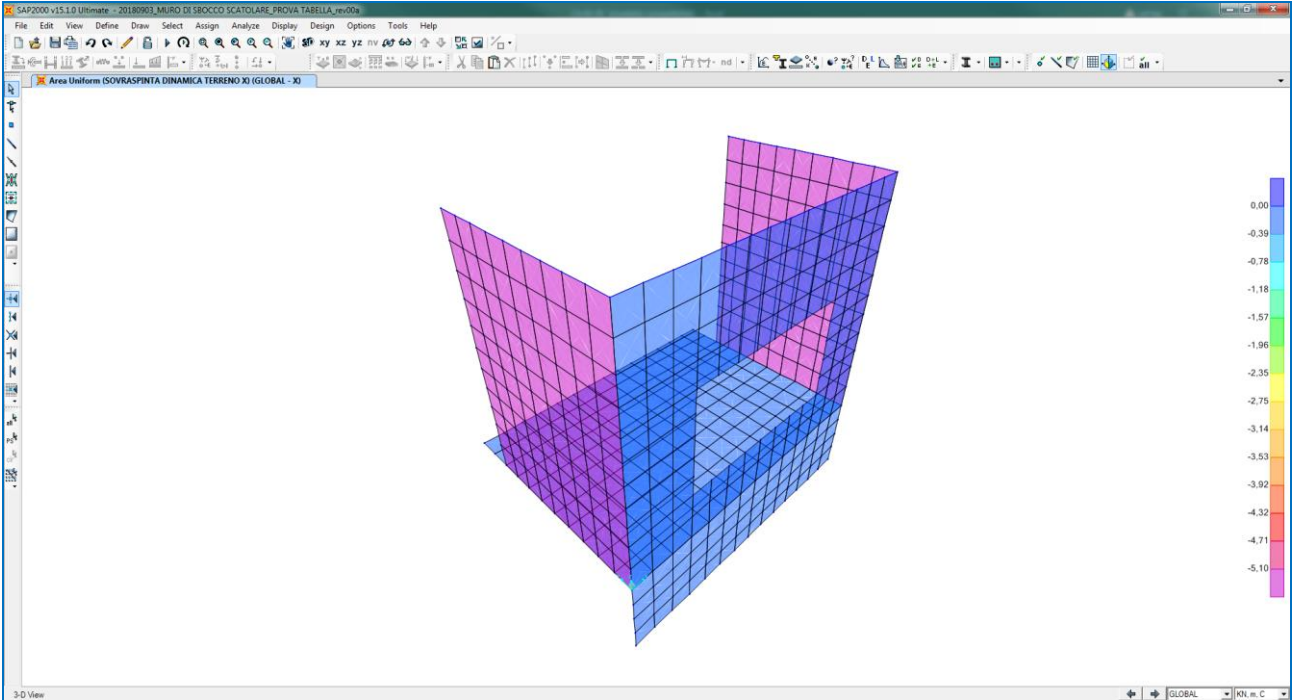


#### DIREZIONE Y



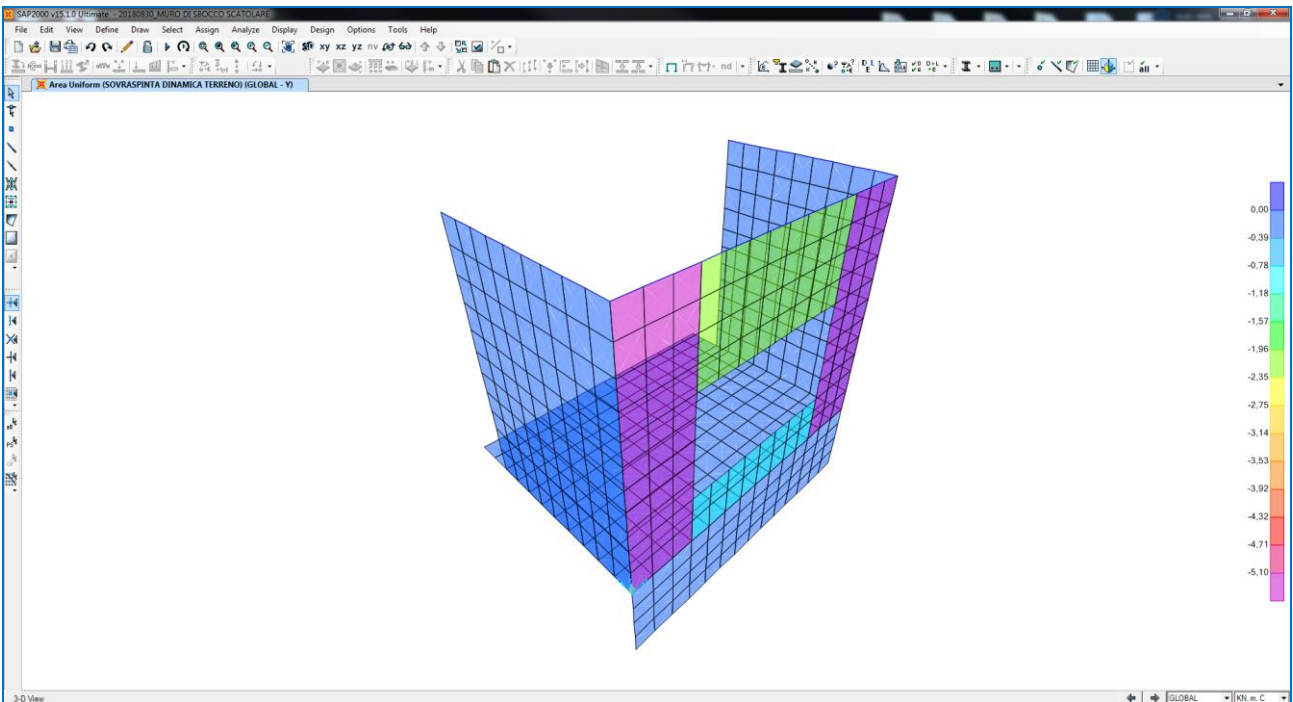
### 10.3.9 SOVRASPINTA DINAMICA DEI TERRENI SULLE PARETI LATERALI

#### DIREZIONE X



### 10.3.10 SOVRASPINTA DINAMICA DEI TERRENI SULLA PARETE FRONTALE

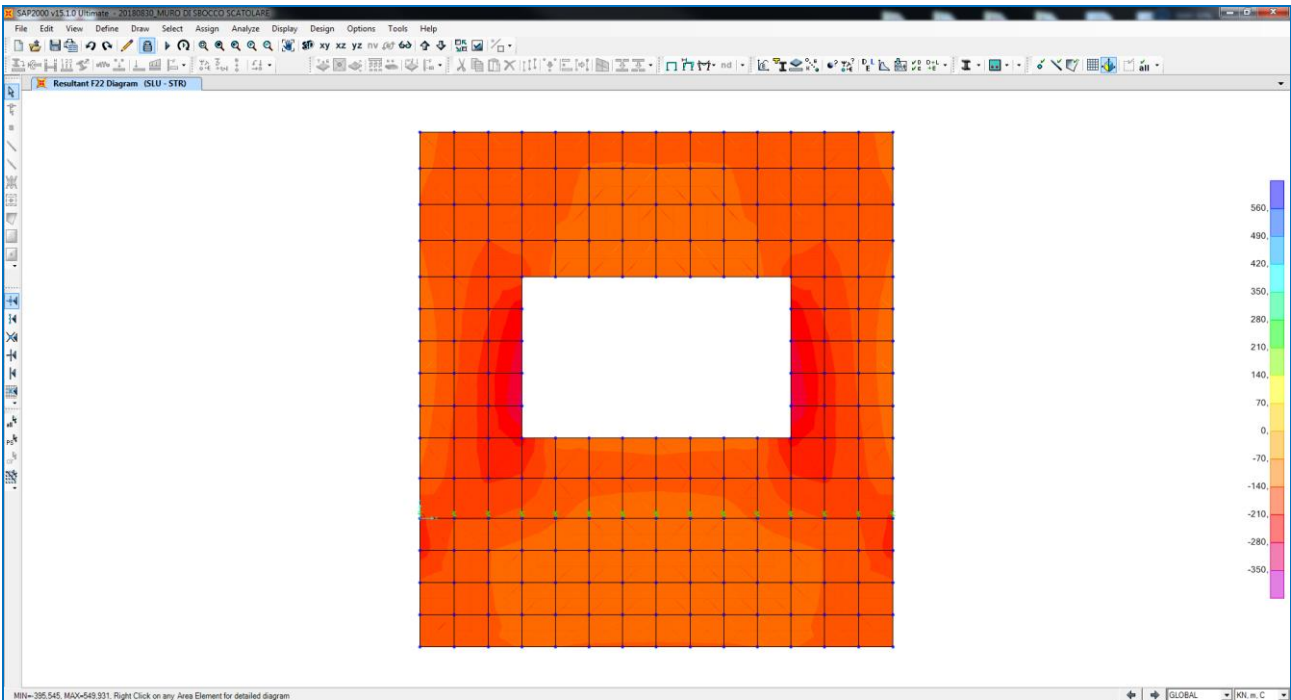
#### DIREZIONE Y



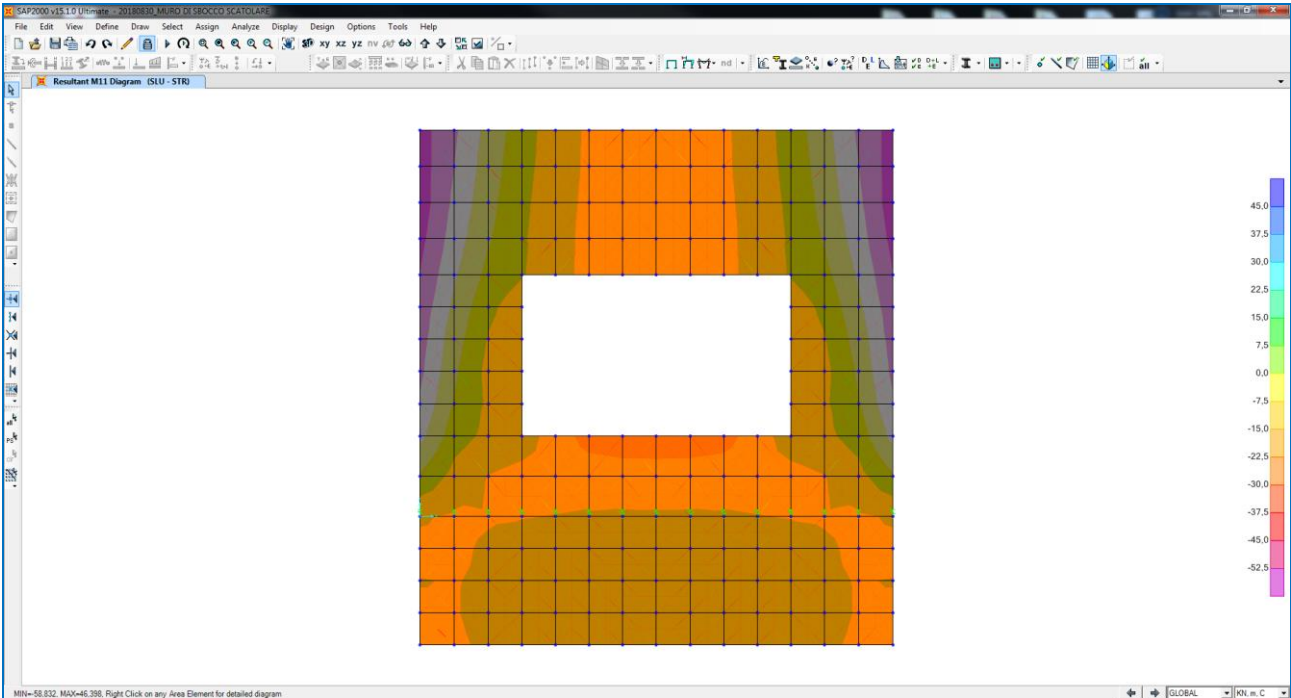
## 11 VALUTAZIONE DELLE AZIONI SOLLECITANTI SUL MURO FRONTALE

### 11.1 COMBINAZIONE ALLO STATO LIMITE ULTIMO – STR

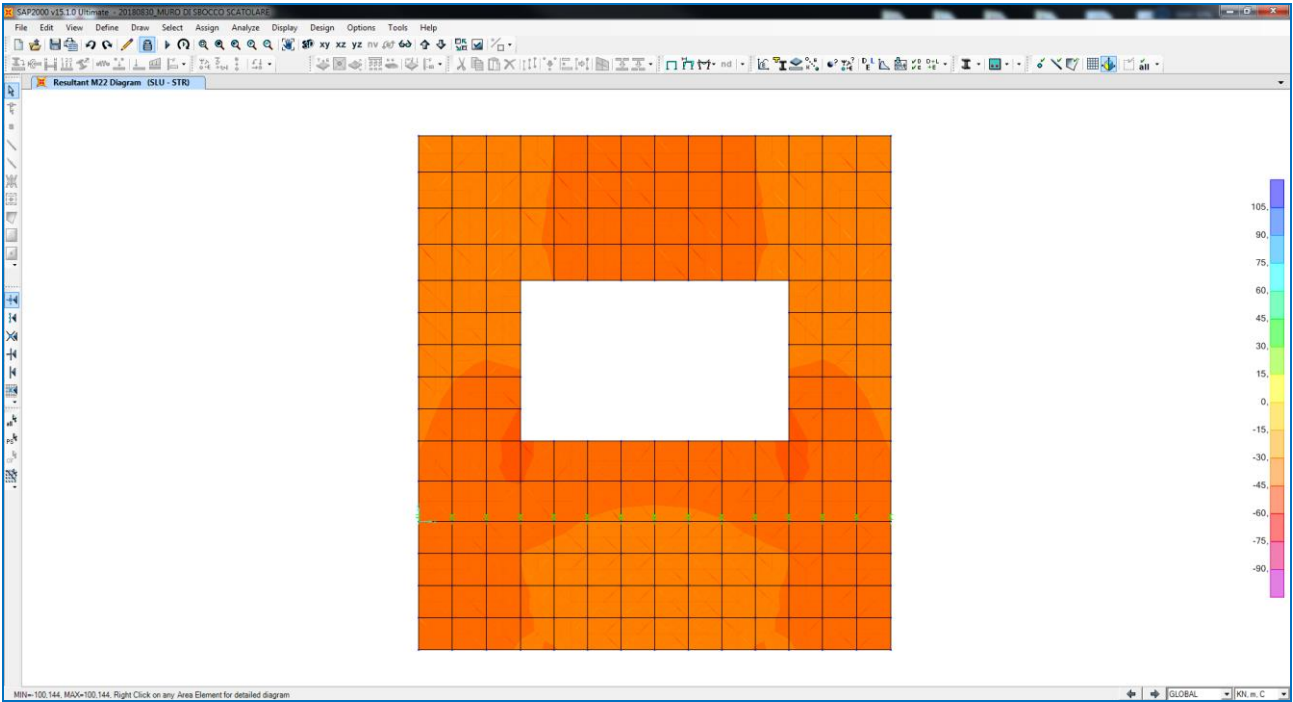
Nell'immagine successiva è riportato l'andamento dell'azione normale di calcolo F22:



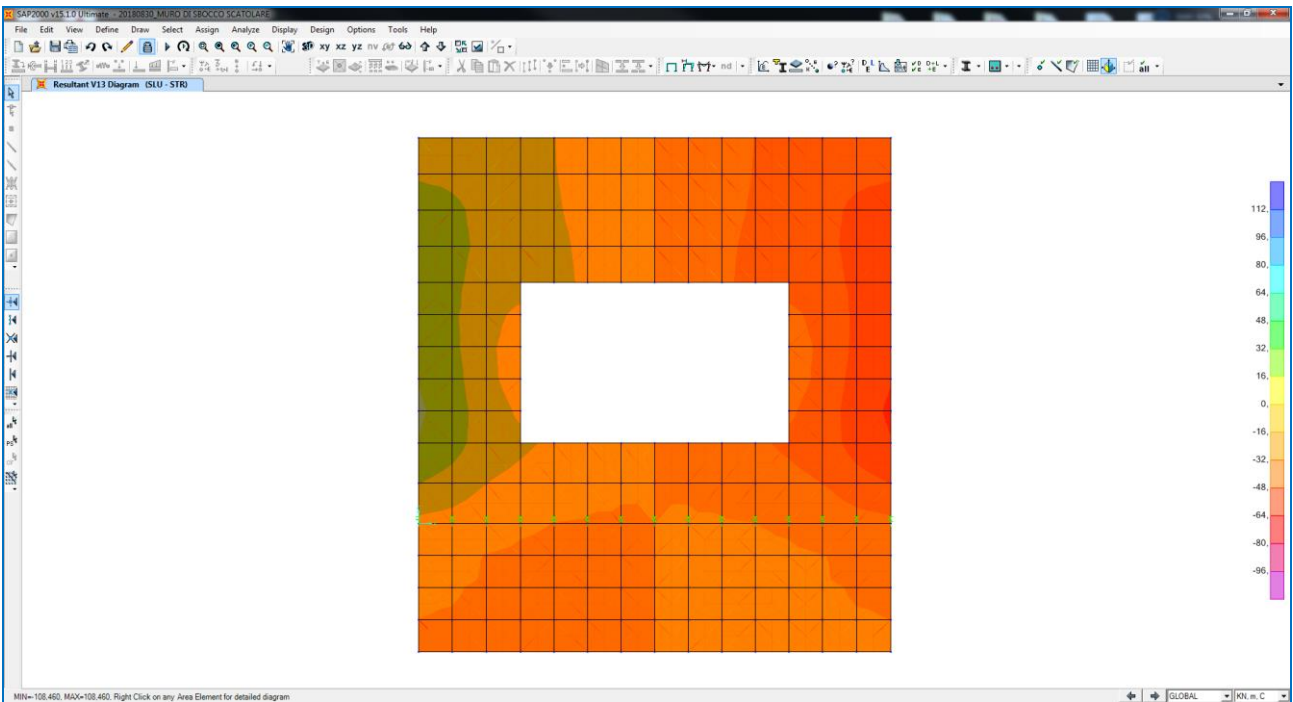
Nell'immagine successiva è riportato l'andamento del momento flettente orizzontale di calcolo M11:



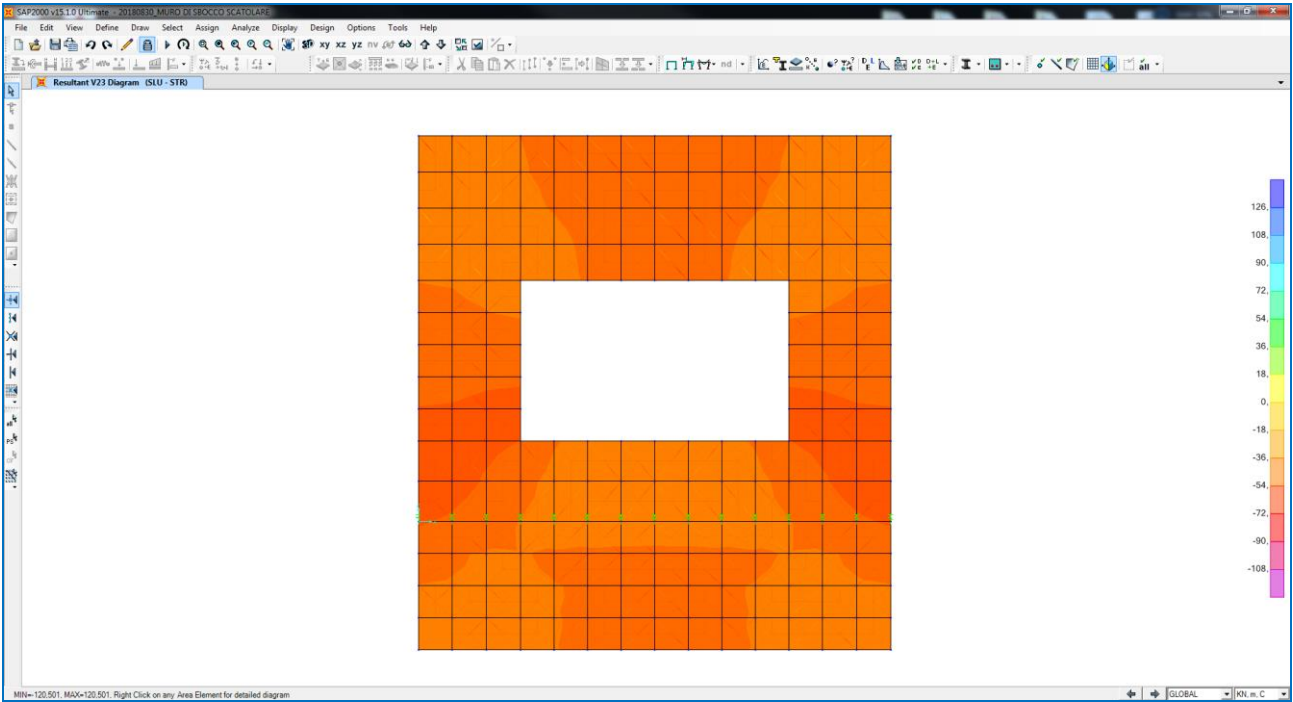
Nell'immagine successiva è riportato l'andamento del momento flettente verticale di calcolo M22:



Nell'immagine successiva è riportato l'andamento dell'azione tagliante orizzontale di calcolo V13:

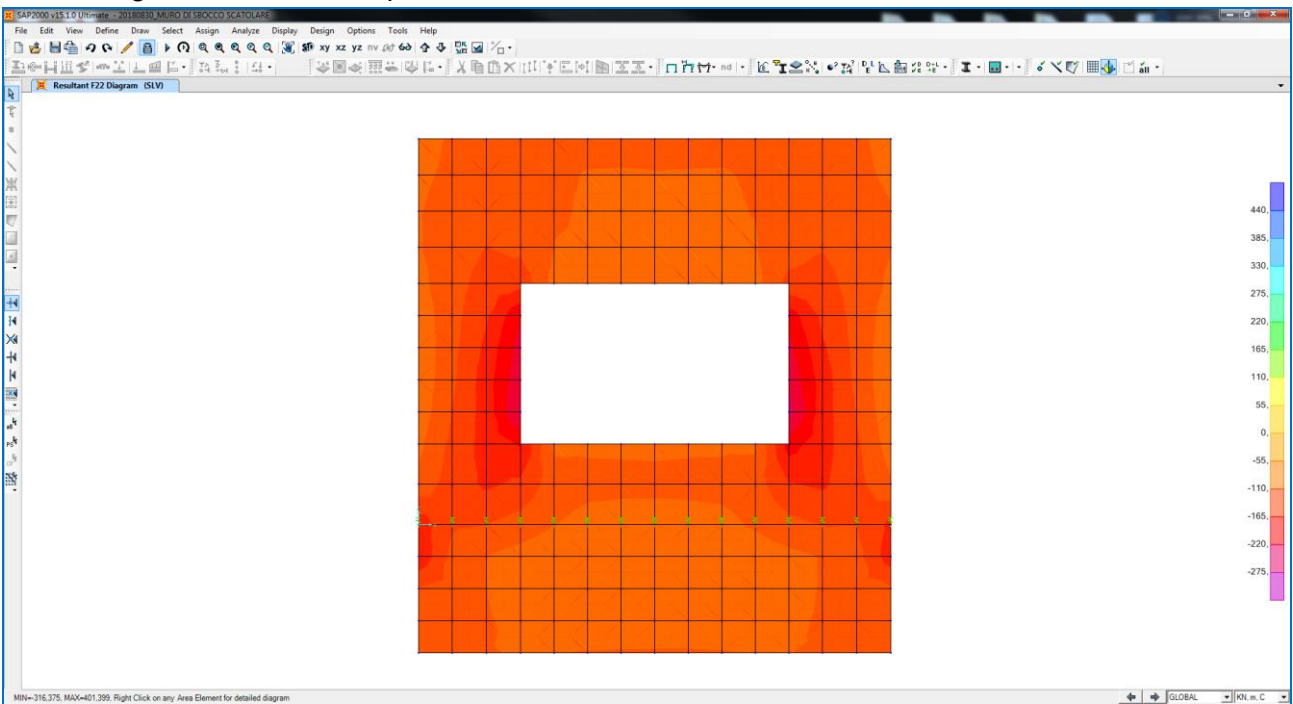


Nell'immagine successiva è riportato l'andamento dell'azione tagliante verticale di calcolo V23:



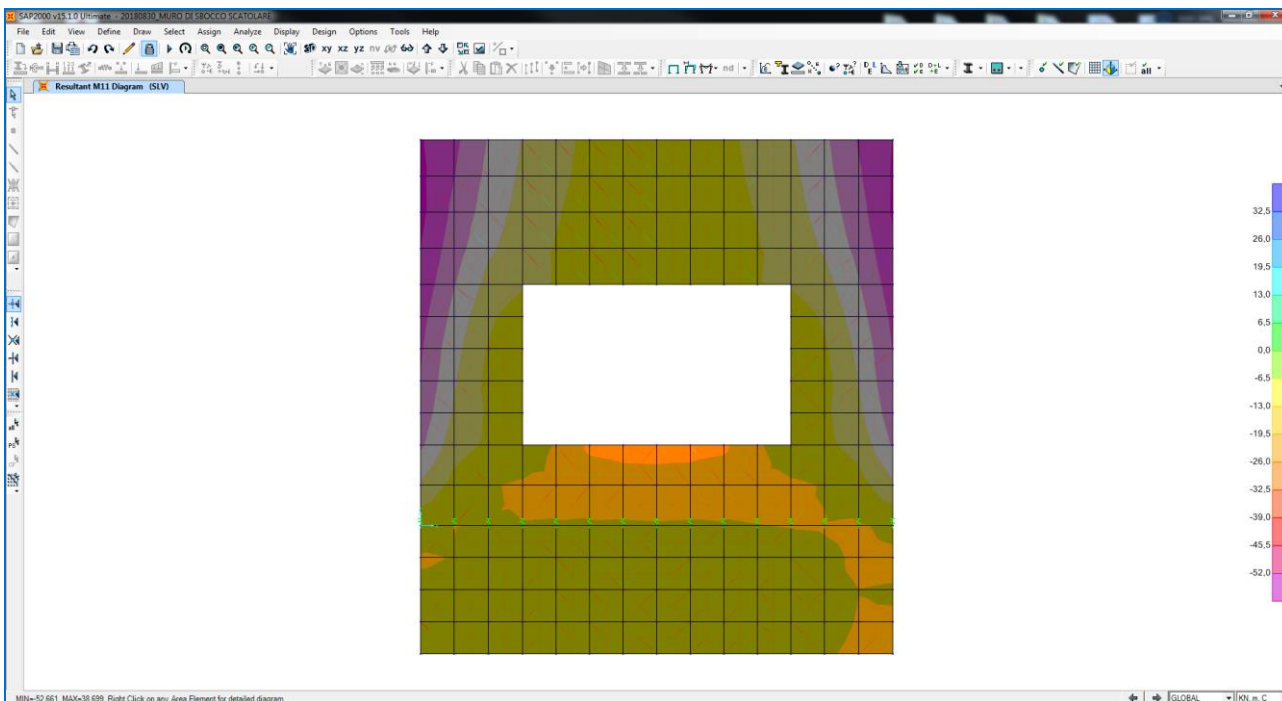
## 11.2 COMBINAZIONE ALLO STATO LIMITE DI SALVAGUARDIA DELLA VITA

Nell'immagine successiva è riportato l'andamento dell'azione normale di calcolo F22:

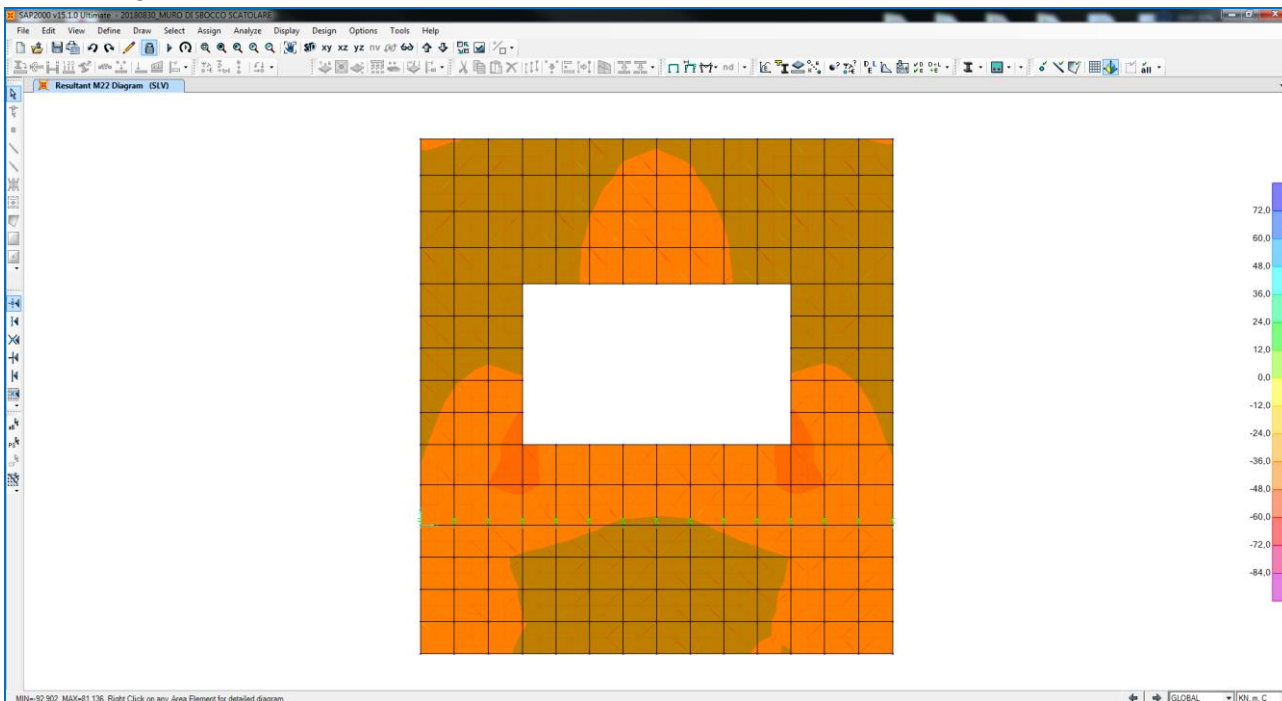




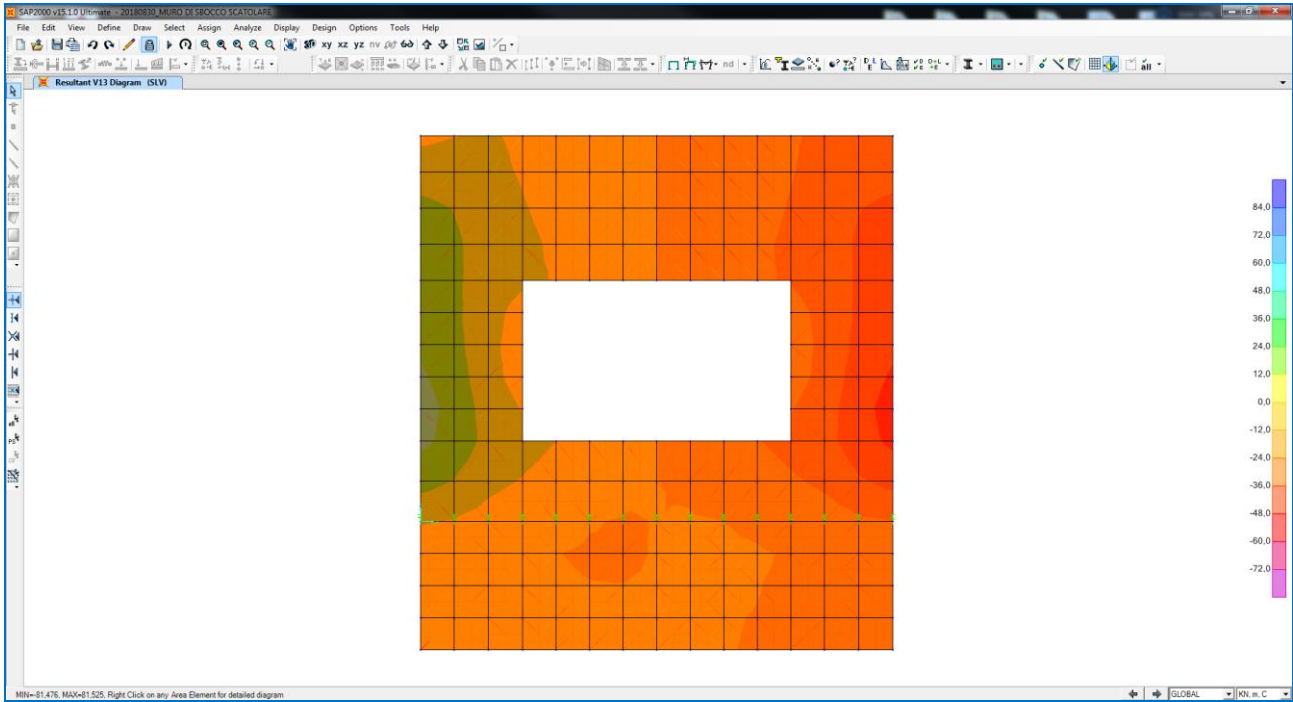
Nell'immagine successiva è riportato l'andamento del momento flettente orizzontale di calcolo M11:



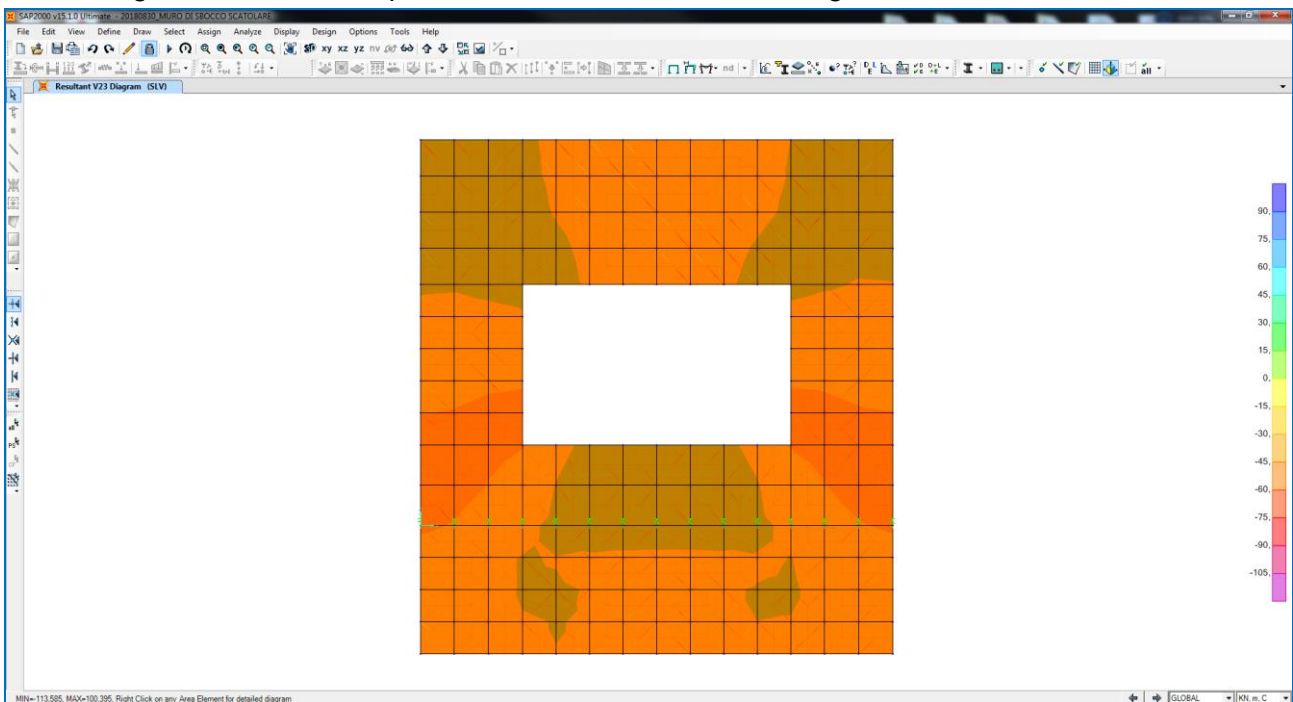
Nell'immagine successiva è riportato l'andamento del momento flettente verticale di calcolo M22:



Nell'immagine successiva è riportato l'andamento dell'azione tagliante orizzontale di calcolo V13:



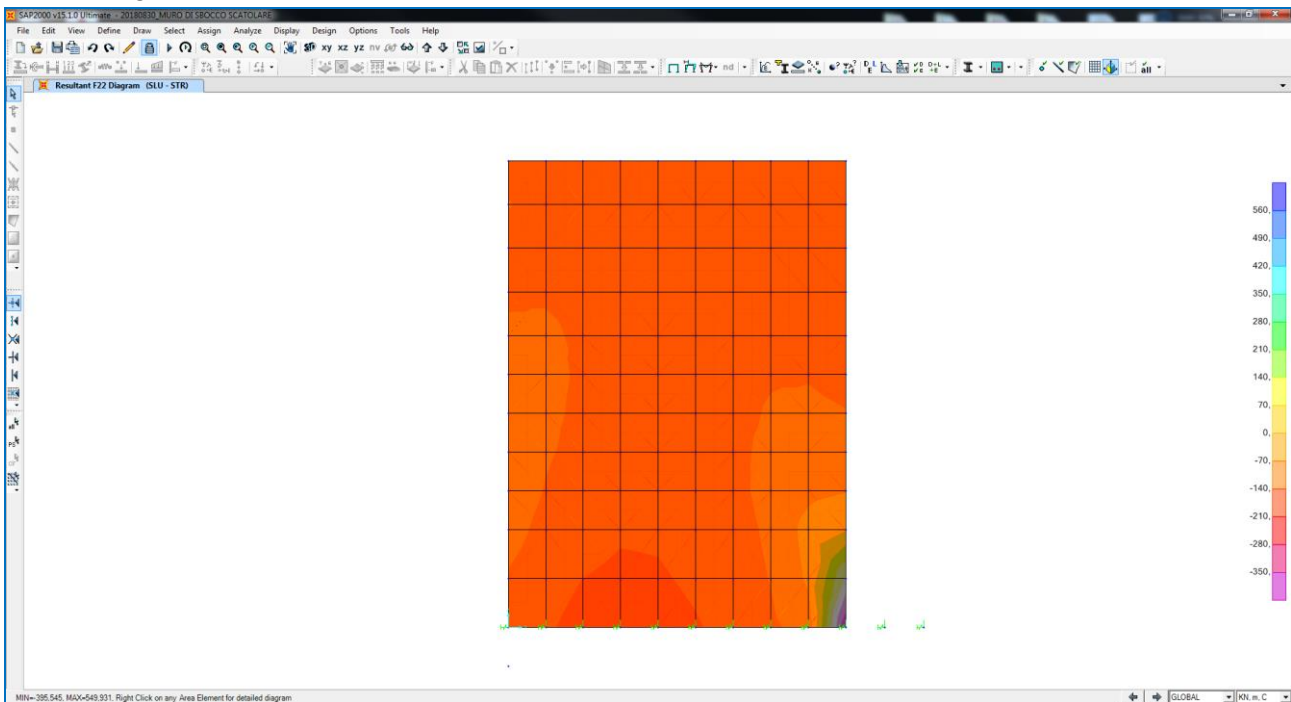
Nell'immagine successiva è riportato l'andamento dell'azione tagliante verticale di calcolo V23:



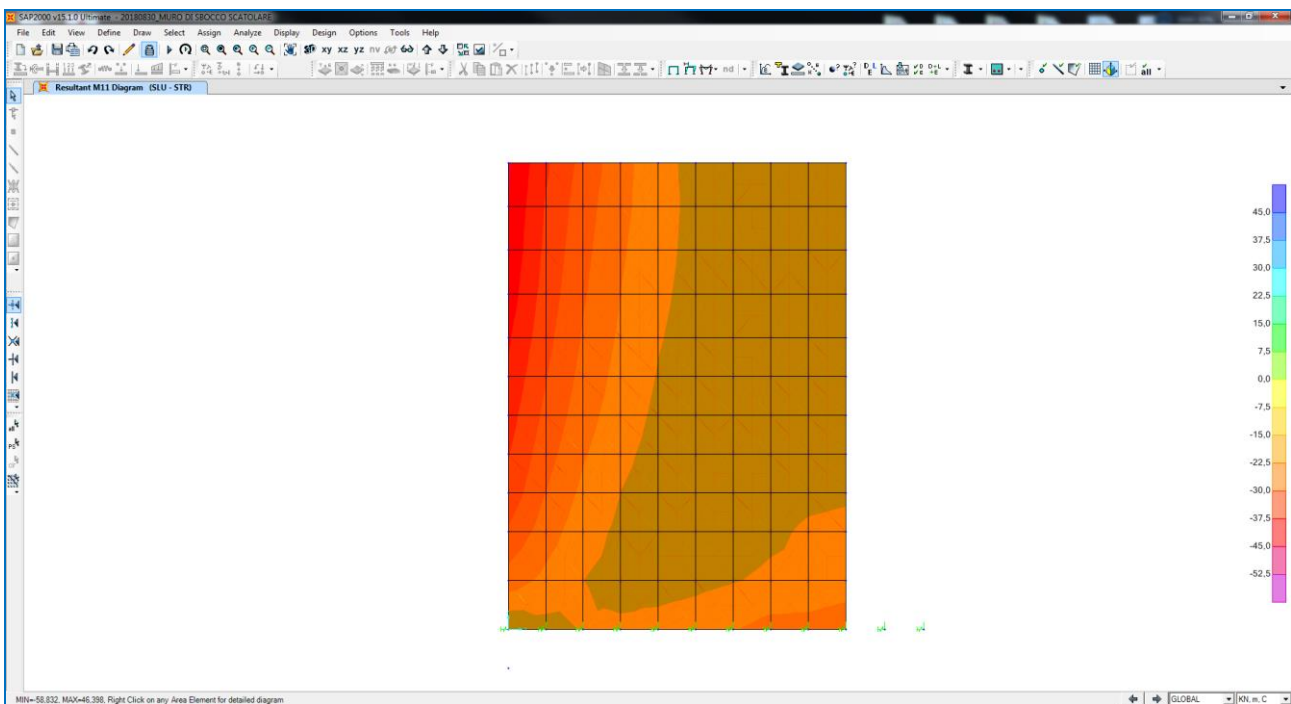
## 12 VALUTAZIONE DELLE AZIONI SOLLECITANTI SUI MURI LATERALI

### 12.1 COMBINAZIONE ALLO STATO LIMITE ULTIMO – STR

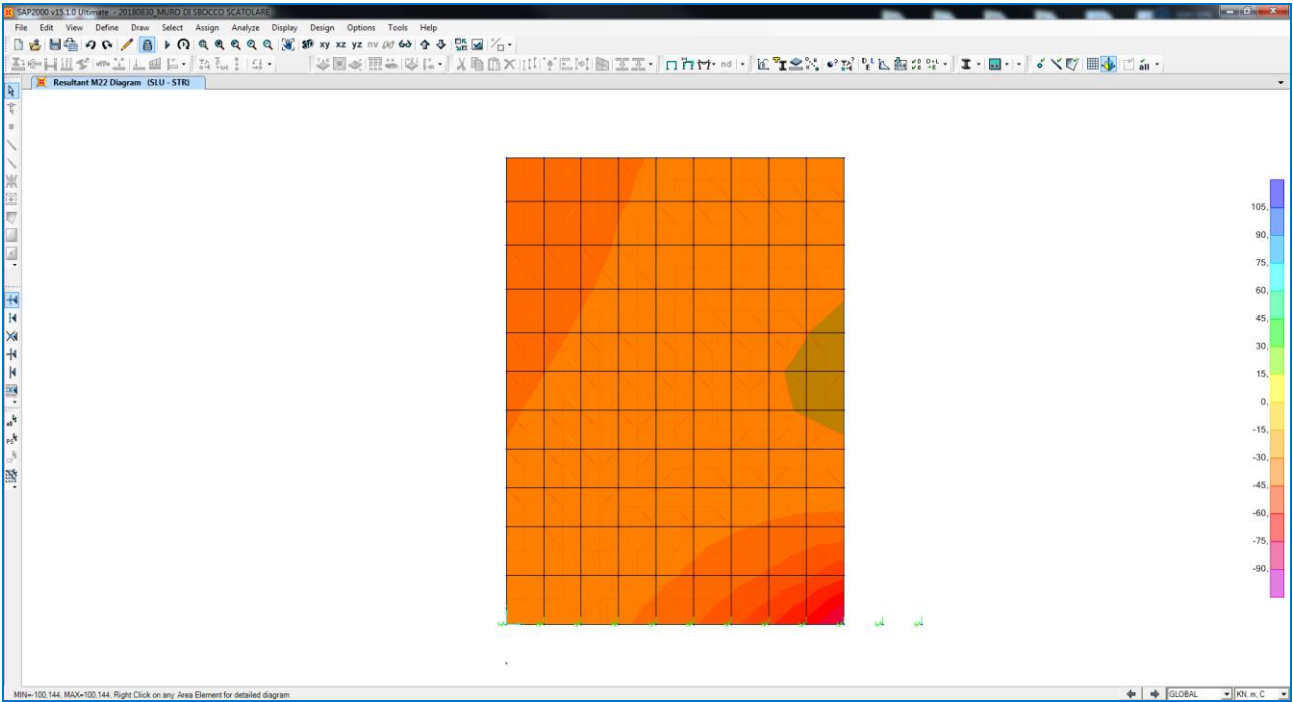
Nell'immagine successiva è riportato l'andamento dell'azione normale di calcolo F22:



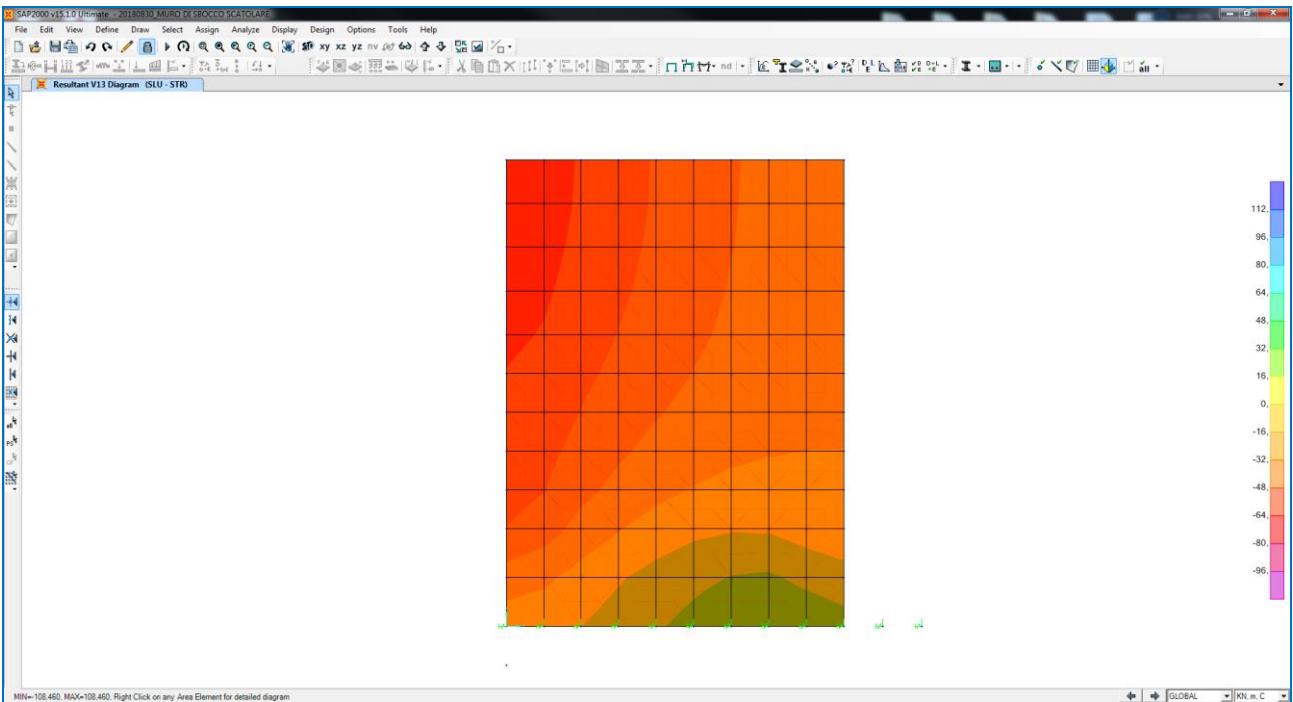
Nell'immagine successiva è riportato l'andamento del momento flettente orizzontale di calcolo M11:



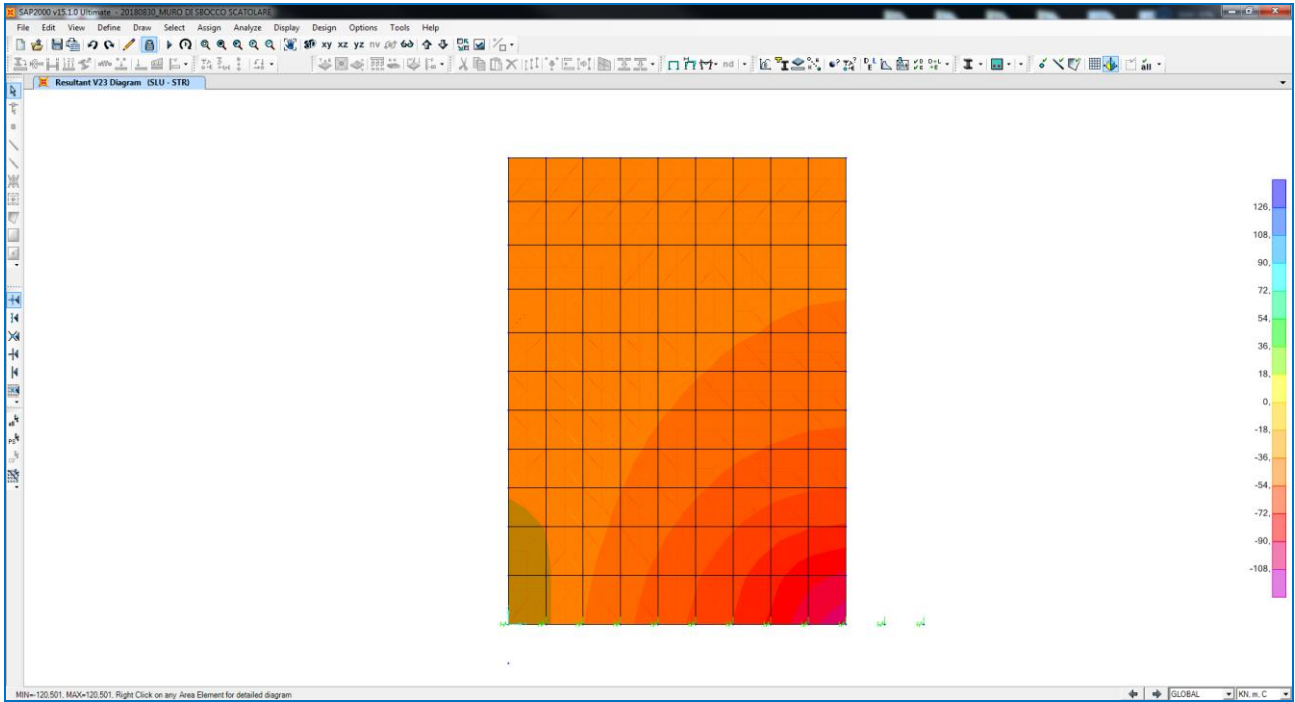
Nell'immagine successiva è riportato l'andamento del momento flettente verticale di calcolo M22:



Nell'immagine successiva è riportato l'andamento dell'azione tagliante orizzontale di calcolo V13:

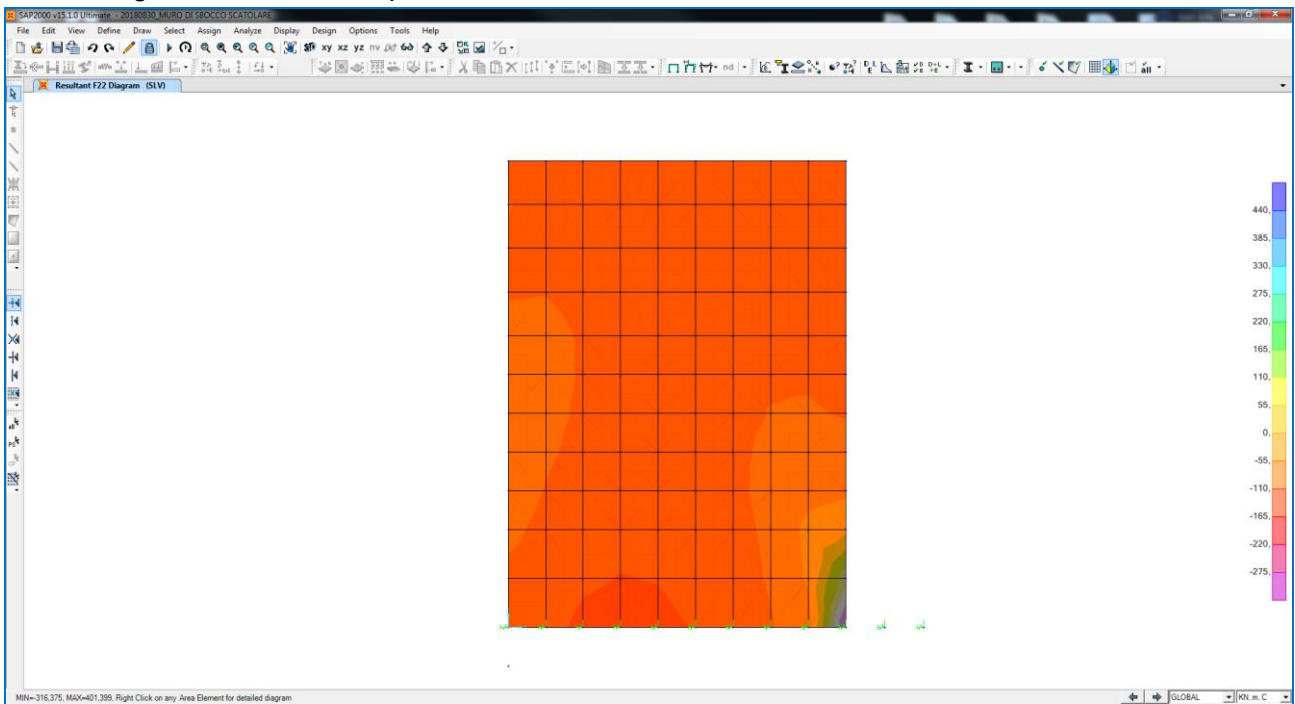


Nell'immagine successiva è riportato l'andamento dell'azione tagliante verticale di calcolo V23:

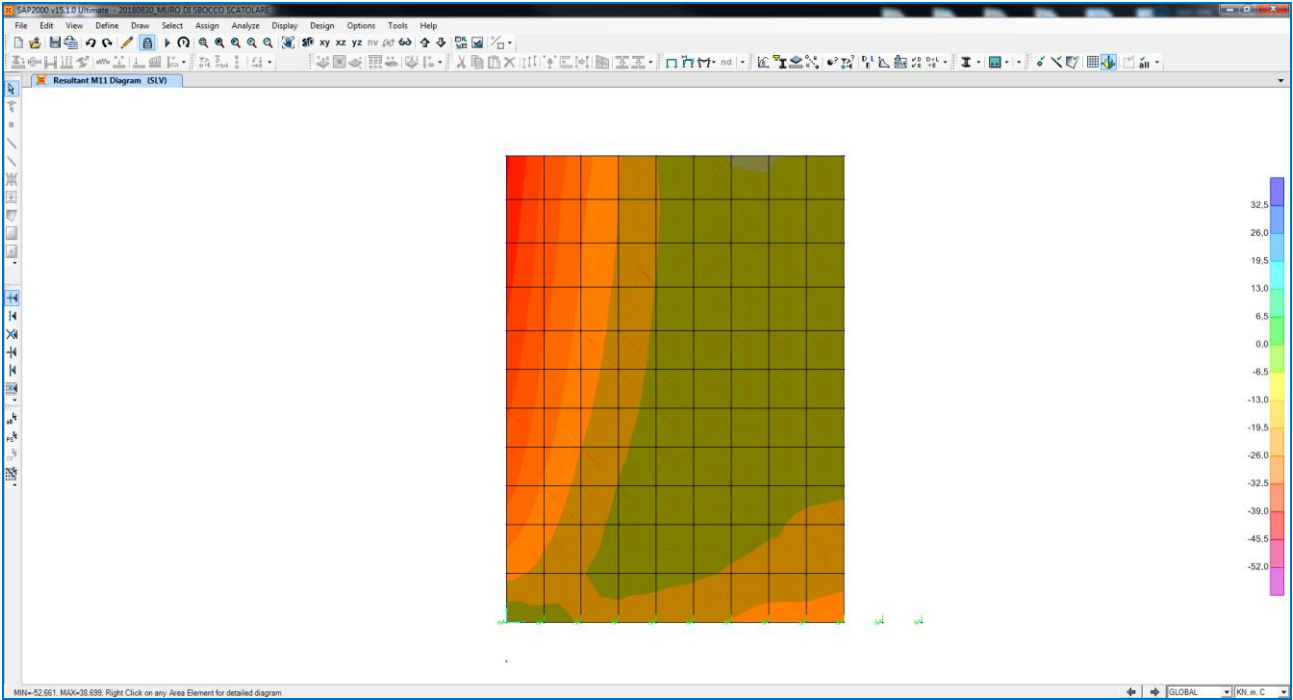


## 12.2 COMBINAZIONE ALLO STATO LIMITE DI SALVAGUARDIA DELLA VITA

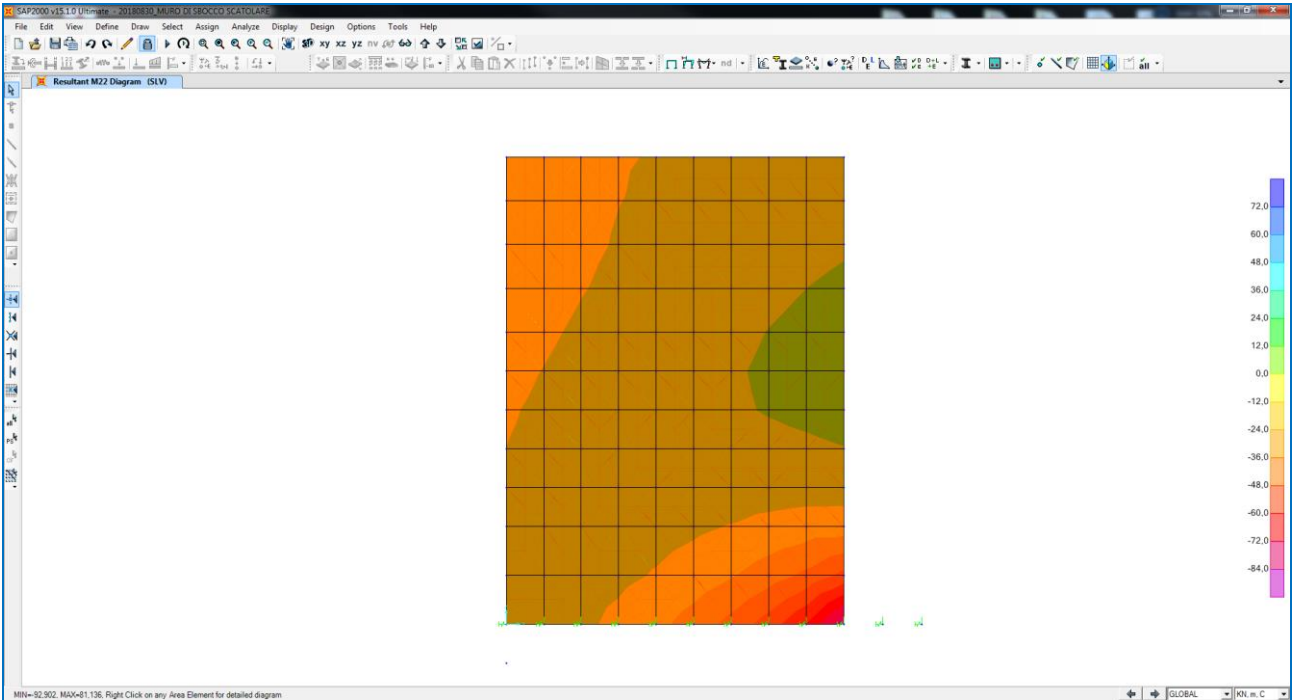
Nell'immagine successiva è riportato l'andamento dell'azione normale di calcolo F22:



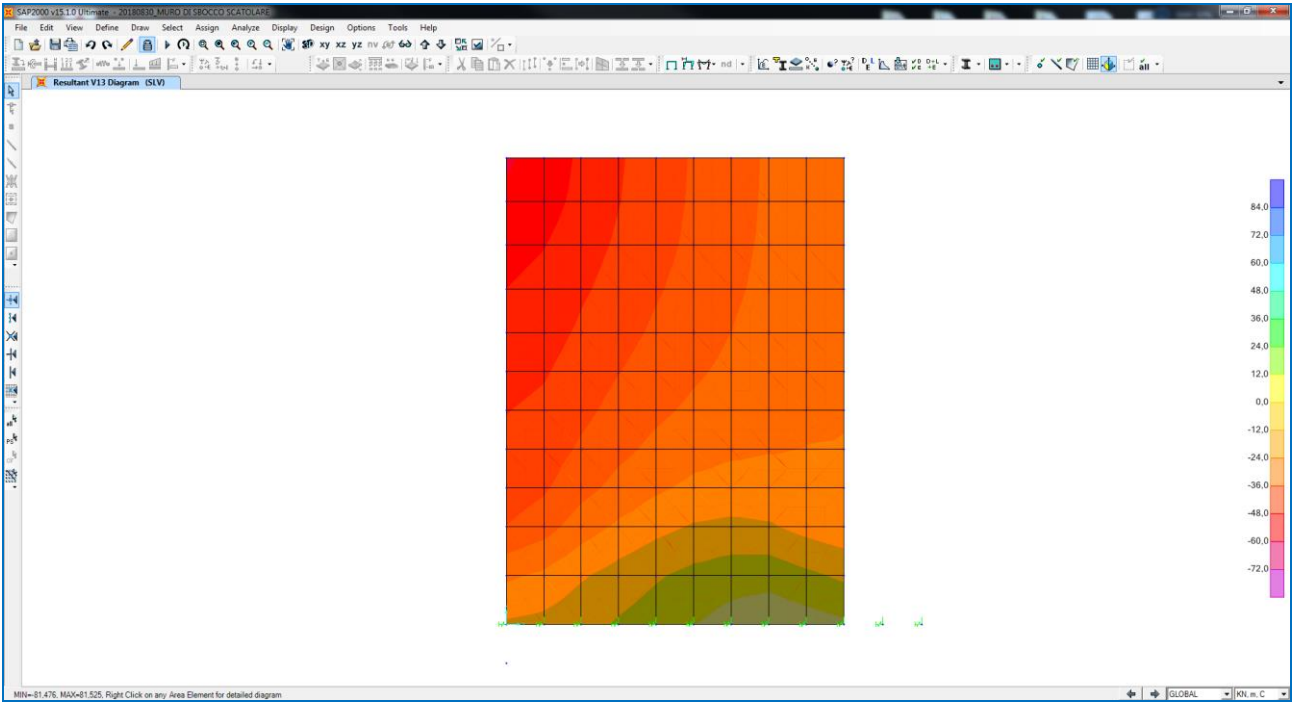
Nell'immagine successiva è riportato l'andamento del momento flettente orizzontale di calcolo M11:



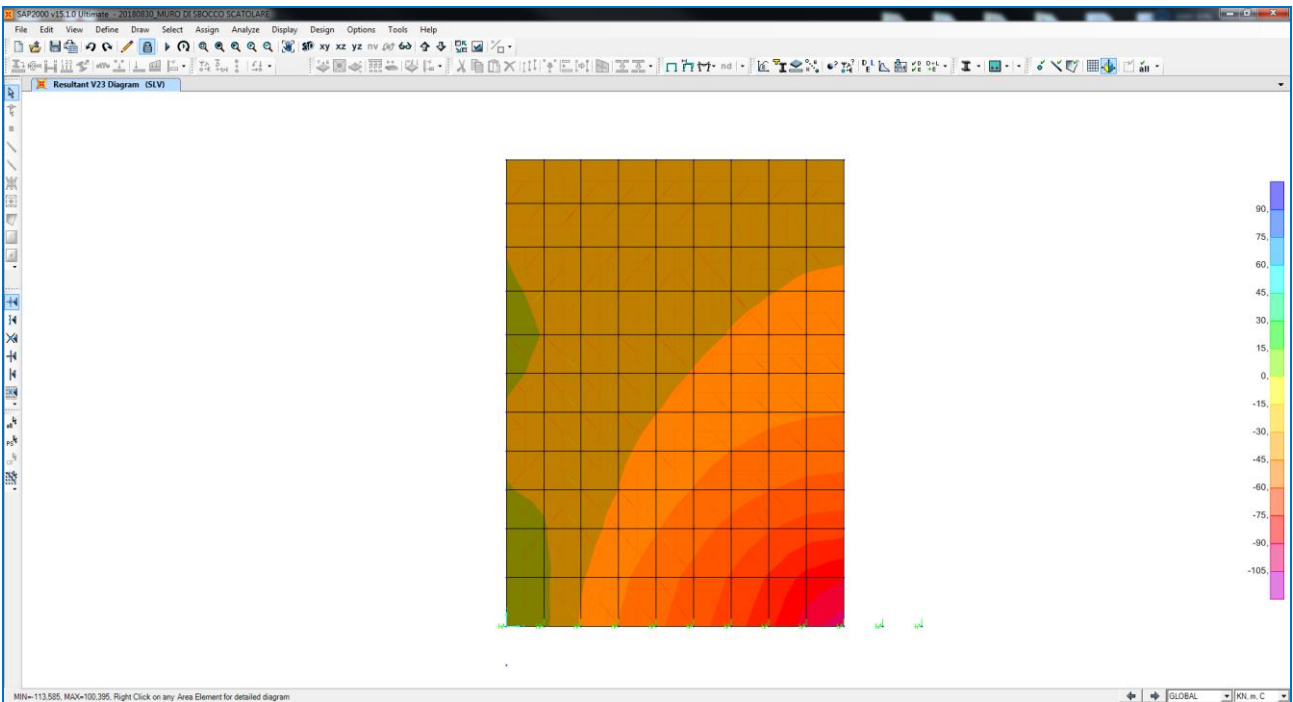
Nell'immagine successiva è riportato l'andamento del momento flettente verticale di calcolo M22:



Nell'immagine successiva è riportato l'andamento dell'azione tagliante orizzontale di calcolo V13:



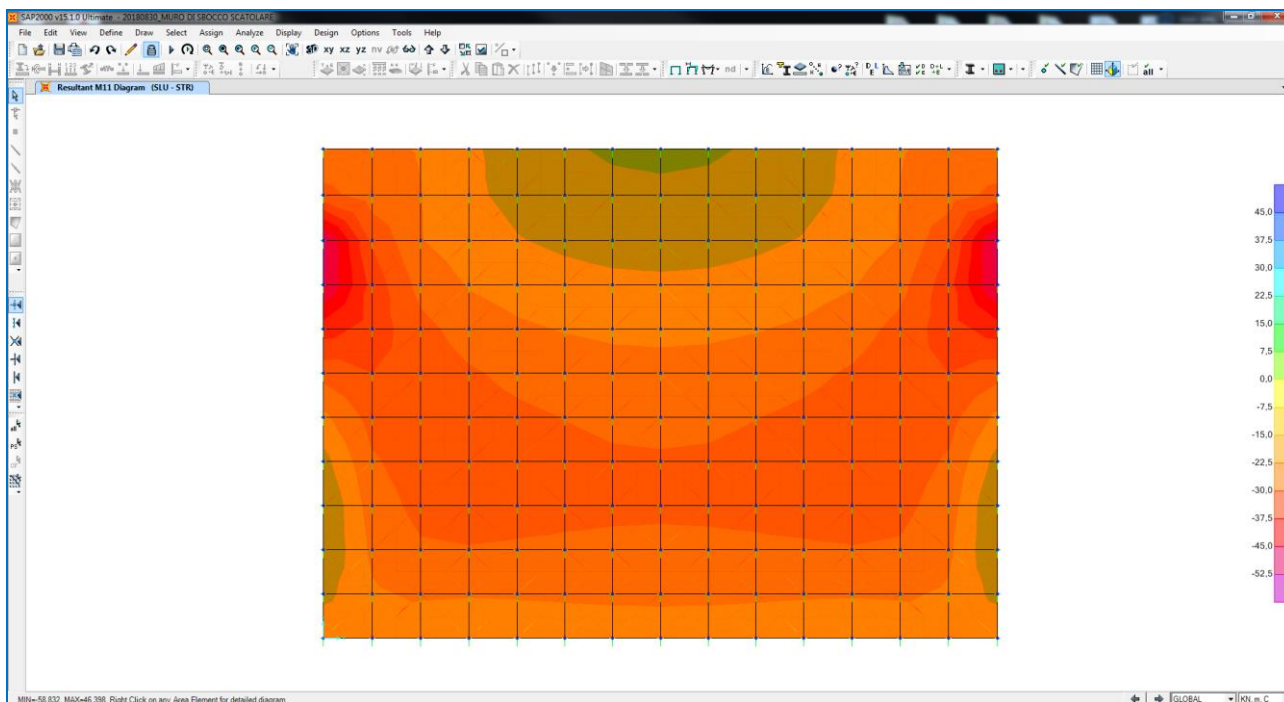
Nell'immagine successiva è riportato l'andamento dell'azione tagliante verticale di calcolo V23:



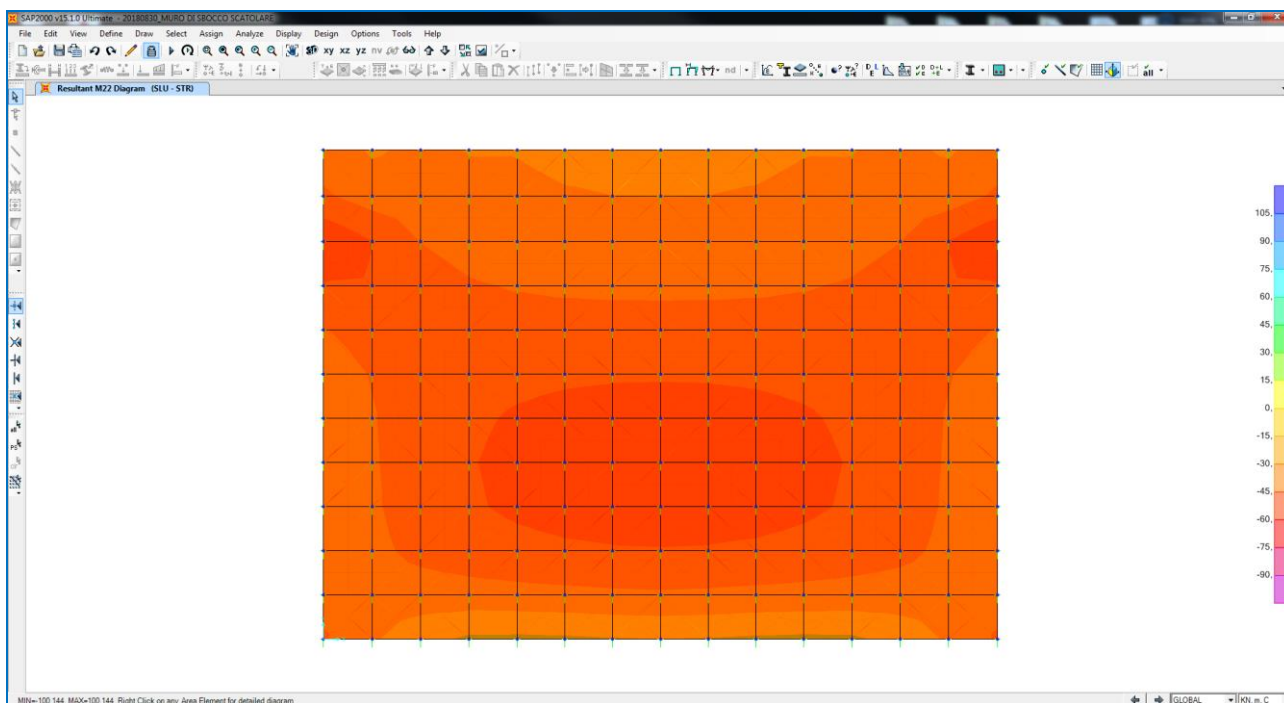
## 13 VALUTAZIONE DELLE AZIONI SOLLECITANTI SULLA ZATTERA DI FONDAZIONE

### 13.1 COMBINAZIONE ALLO STATO LIMITE ULTIMO – STR

Nell'immagine successiva è riportato l'andamento del momento flettente longitudinale di calcolo M11:

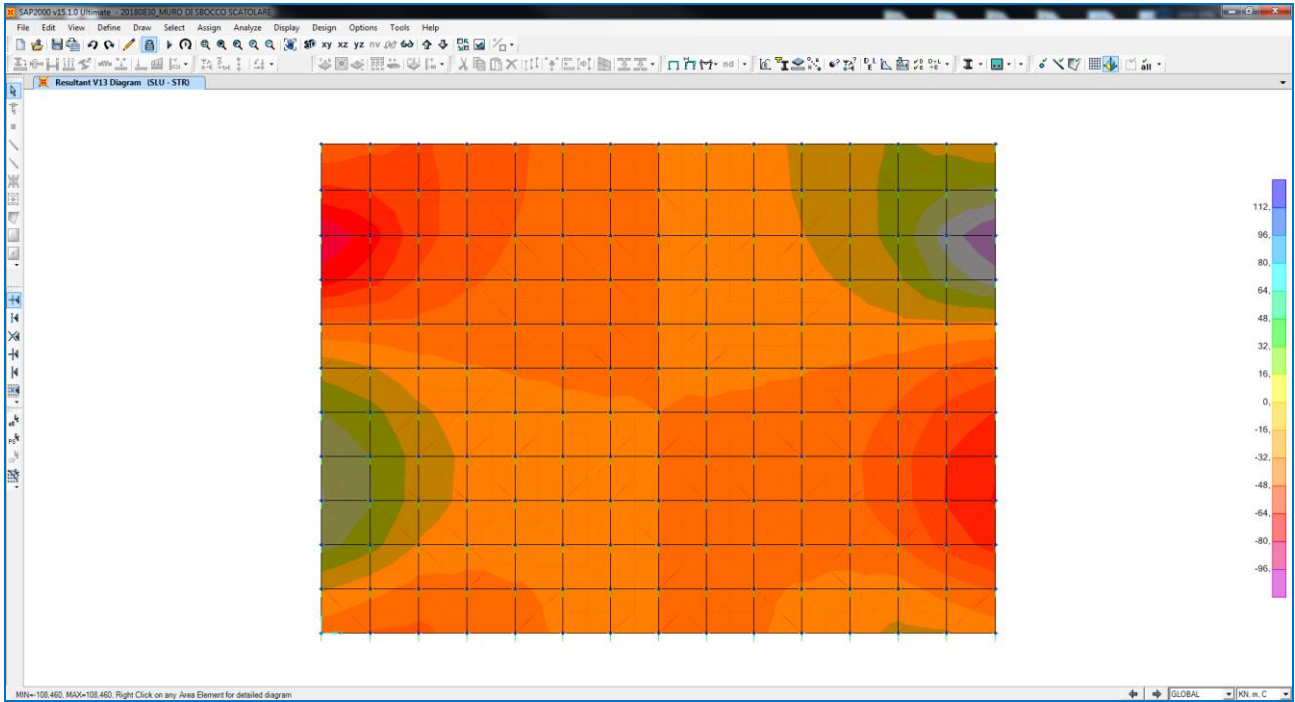


Nell'immagine successiva è riportato l'andamento del momento flettente trasversale di calcolo M22:

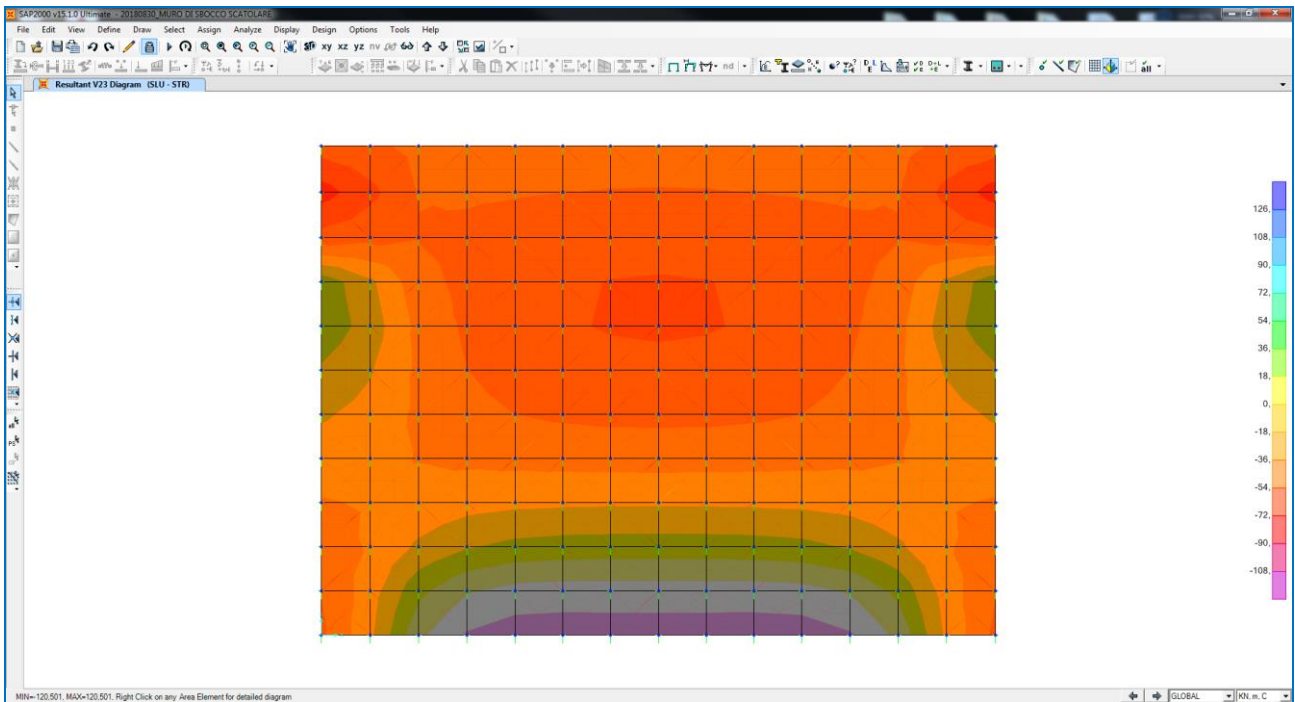




Nell'immagine successiva è riportato l'andamento dell'azione tagliante longitudinale di calcolo V13:

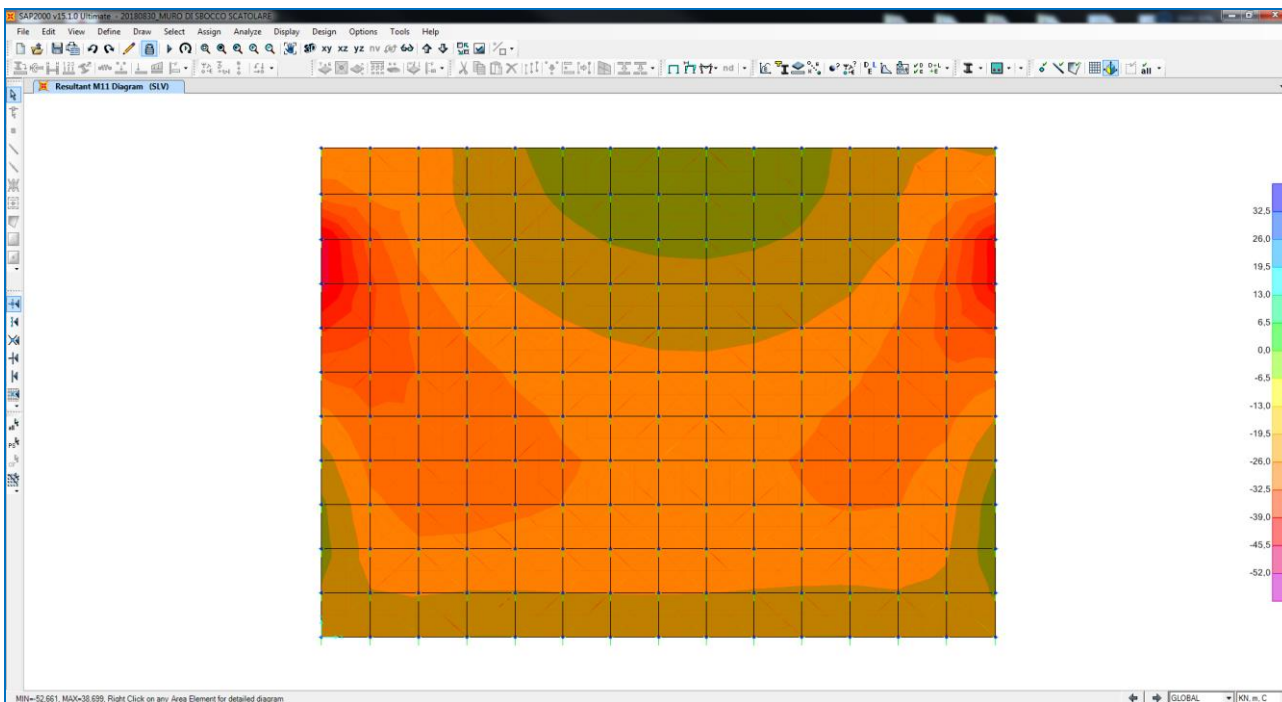


Nell'immagine successiva è riportato l'andamento dell'azione tagliante trasversale di calcolo V23:

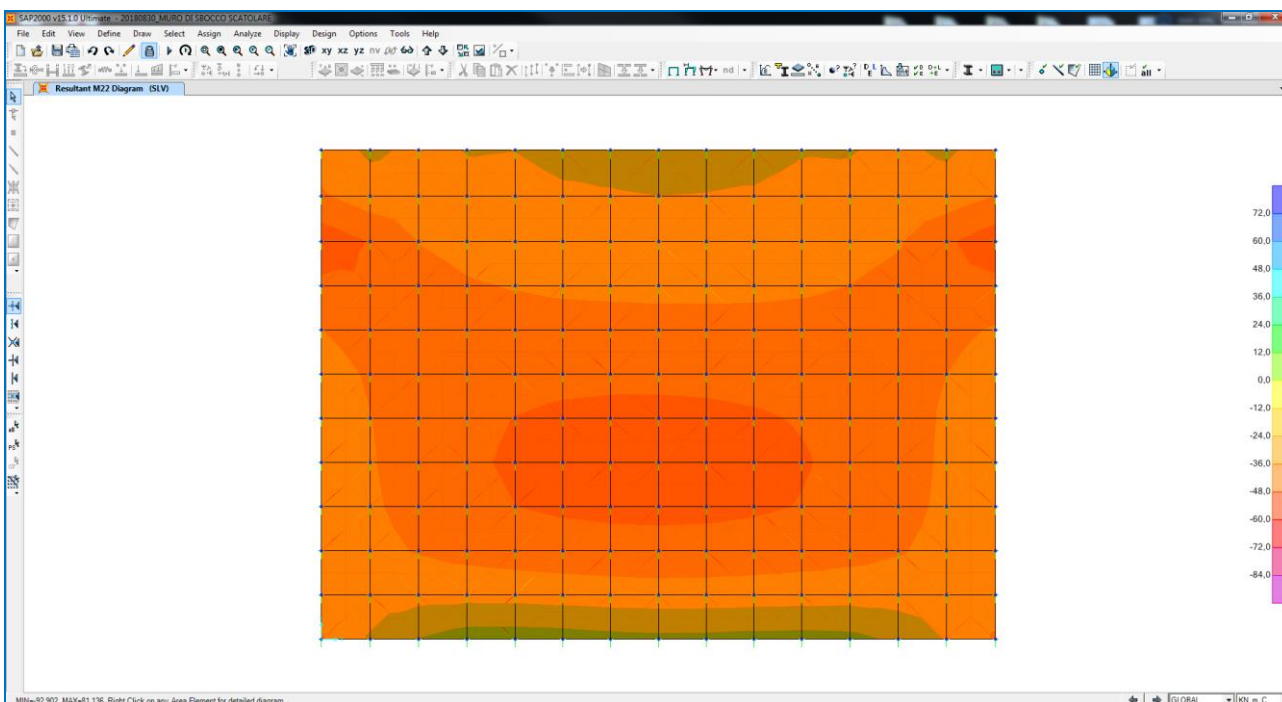


### 13.2 COMBINAZIONE ALLO STATO LIMITE DI SALVAGUARDIA DELLA VITA

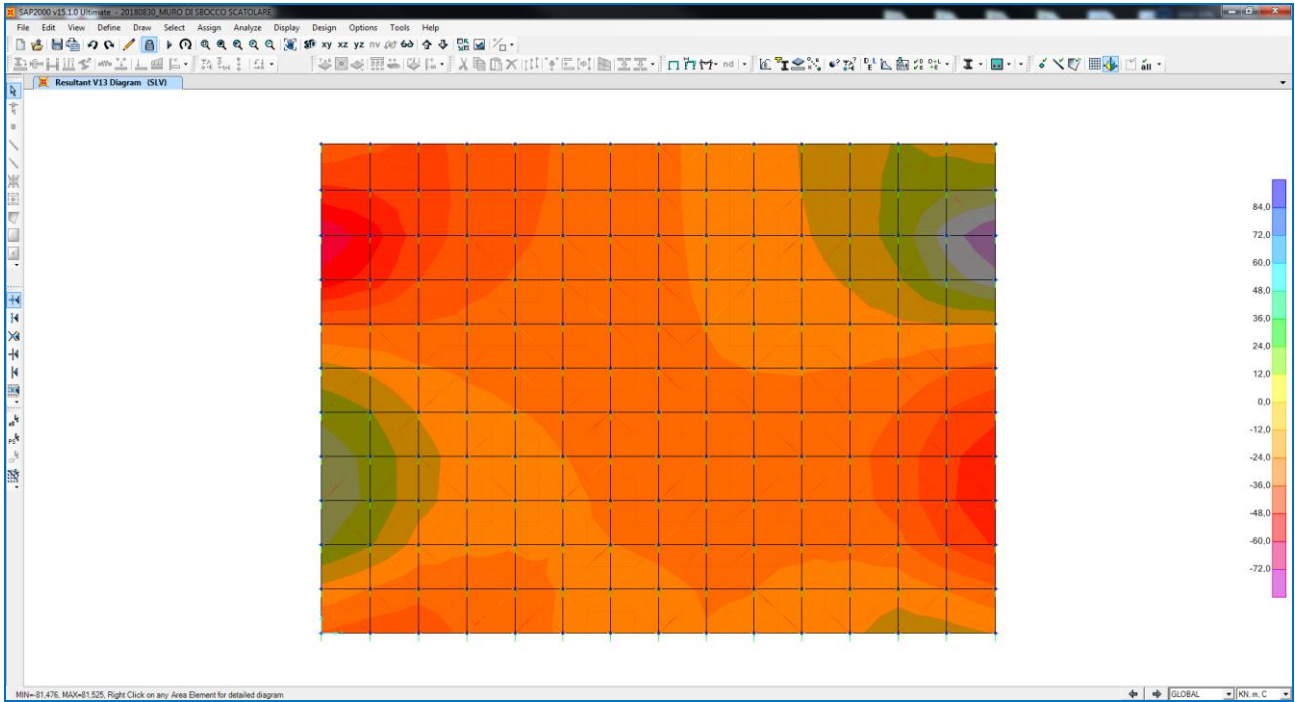
Nell'immagine successiva è riportato l'andamento del momento flettente longitudinale di calcolo M11:



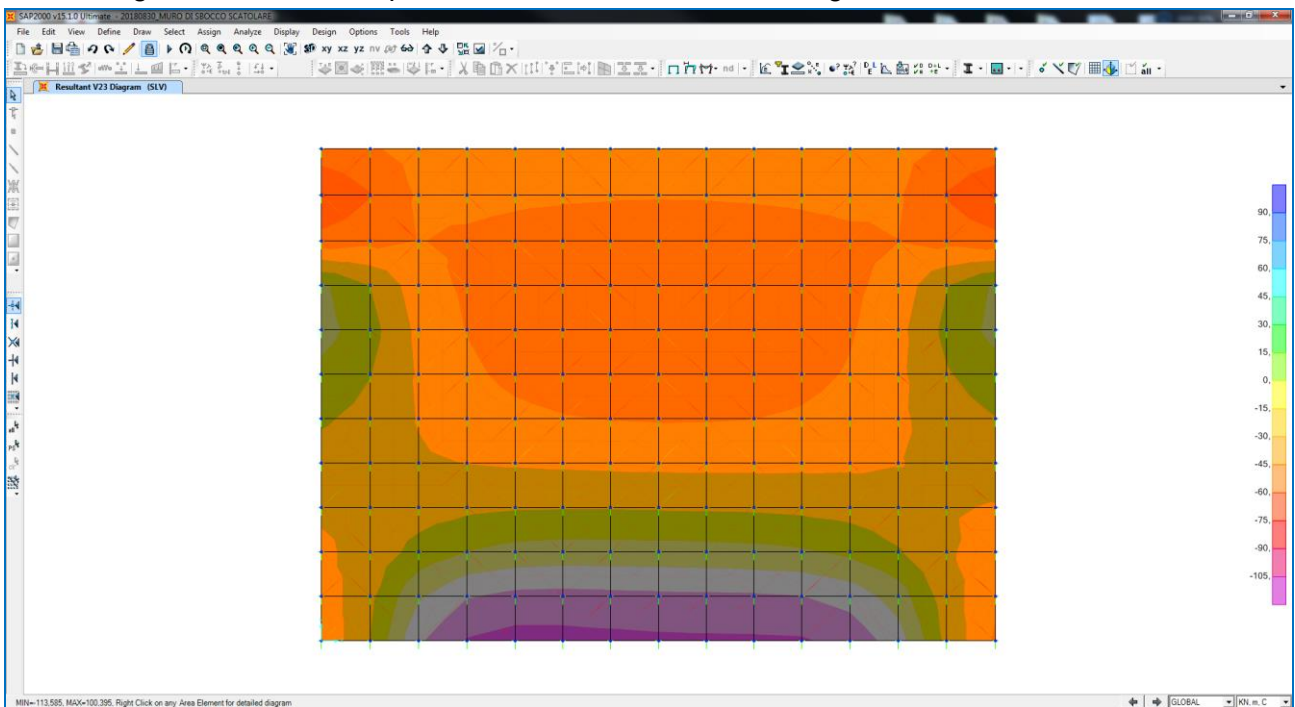
Nell'immagine successiva è riportato l'andamento del momento flettente trasversale di calcolo M22:



Nell'immagine successiva è riportato l'andamento dell'azione tagliante longitudinale di calcolo V13:



Nell'immagine successiva è riportato l'andamento dell'azione tagliante trasversale di calcolo V23:



## 14 MURO FRONTALE – VERIFICHE STRUTTURALI

### 14.1 RIEPILOGO DELLE AZIONI SOLLECITANTI DI CALCOLO

Per ciascuna combinazione di carico sono state considerate le seguenti condizioni:

- $N_{max}$
- $N_{min}$
- $M_{vert,max}$
- $M_{trasv,max}$
- $V_{vert,max}$
- $V_{trasv,max}$

Nella tabella successiva sono riepilogati i valori di calcolo delle azioni sollecitanti per le diverse combinazioni di carico considerate:

COMBINAZIONE	CONDIZIONE	$N_{Sd}$ [kN]	$M_{11,Sd}$ [kNm]	$M_{22,Sd}$ [kNm]	$V_{13,Sd}$ [kN]	$V_{23,Sd}$ [kN]
SLE - QP	$N_{max}$	-239,36	0,54	-15,97	-11,32	-19,55
	$M_{11,max}$	37,84	17,15	2,33	-27,94	-8,03
	$M_{22,max}$	-234,05	0,65	-21,96	-11,32	-19,55
	$V_{13,max}$	34,45	14,65	-1,50	30,39	-13,84
	$V_{23,max}$	-12,54	0,83	-8,19	13,37	-26,02
SLE - FREQ	$N_{max}$	-275,56	0,70	-16,93	-12,78	-20,83
	$M_{11,max}$	-4,29	25,83	3,75	24,70	3,01
	$M_{22,max}$	-269,44	0,82	-23,32	-12,78	-20,83
	$V_{13,max}$	31,93	17,20	-1,27	35,49	-15,87
	$V_{23,max}$	-26,28	1,15	-8,10	14,96	-27,32
SLE - RARA	$N_{max}$	-287,63	0,75	-17,25	-13,27	-21,26
	$M_{11,max}$	1,32	29,49	2,67	25,72	6,25
	$M_{22,max}$	-281,24	0,87	-23,77	-13,27	-21,26
	$V_{13,max}$	31,09	18,05	-1,20	37,19	-16,55
	$V_{23,max}$	-30,86	1,26	-8,07	15,48	-27,76
SLU - STR	$N_{max}$	-395,54	1,04	-23,49	-18,20	-28,96
	$M_{11,max}$	2,08	42,10	3,94	37,14	8,43
	$M_{22,max}$	-386,75	1,21	-32,37	-18,20	-28,96
	$V_{13,max}$	41,46	24,88	-1,57	51,23	-22,74
	$V_{23,max}$	-44,41	1,76	-10,88	21,22	-37,74
SLV X	$N_{max}$	-434,49	-1,05	-28,25	-11,47	-23,61
	$M_{11,max}$	-5,87	20,14	4,94	-20,75	23,19
	$M_{22,max}$	-434,49	-1,05	-28,25	-11,47	-23,61
	$V_{13,max}$	-2,31	4,80	-8,11	-32,24	-18,61
	$V_{23,max}$	2,55	-4,49	-16,24	-7,97	-38,35
SLV Y	$N_{max}$	-320,02	-1,62	-19,70	-9,66	-14,63
	$M_{11,max}$	2,93	22,39	2,55	26,83	4,90
	$M_{22,max}$	-320,02	-1,62	-19,70	-9,66	-14,63
	$V_{13,max}$	-45,96	4,10	-6,07	-34,36	-14,50
	$V_{23,max}$	-64,17	-3,36	-11,19	-9,20	-24,78

Dove:

- le azioni normali si compressione sono indicate con segno negativo;
- $M_{11}$  è il momento flettente orizzontale
- $M_{22}$  è il momento flettente verticale
- $V_{13}$  è il taglio orizzontale
- $V_{23}$  è il taglio verticale

## 14.2 SEZIONE ED ARMATURA DI VERIFICA

La sezione di verifica è rettangolare con base pari a 100 cm e altezza pari a 40 cm.

L'armatura verticale è realizzata mediante:

- Ø16/20 interni (lato terreno)
- Ø16/20 esterni

L'armatura trasversale è realizzata mediante:

- Ø16/20 interni (lato terreno)
- Ø16/20 esterni

L'armatura a taglio è costituita da Ø12/40x20.

Il copriferro netto minimo è assunto pari a 40 mm.

## 14.3 VERIFICA ALLO STATO LIMITE DI LIMITAZIONE DELLE TENSIONI

### 14.3.1 COMBINAZIONE QUASI PERMANENTE – DIREZIONE VERTICALE

L'azione normale di calcolo è assunta pari a  $N_{sd} = 234,05$  kN.

Il momento flettente di calcolo è assunto pari a  $M_{sd} = -21,96$  kNm.

The screenshot shows the 'Verifica C.A. S.L.U.' software interface. The main window displays the following data:

N°	b [cm]	h [cm]	N°	As [cm²]	d [cm]
1	100	40	1	10,05	6
			2	10,05	34

Input parameters for the calculation:

- Materiali: B450C, C25/30
- ε<sub>su</sub>: 67,5 ‰; ε<sub>c2</sub>: 2 ‰
- f<sub>yd</sub>: 391,3 N/mm²; ε<sub>cu</sub>: 3,5 ‰
- E<sub>s</sub>: 200.000 N/mm²; f<sub>cd</sub>: 14,17 N/mm²
- E<sub>s</sub>/E<sub>c</sub>: 15; f<sub>cc</sub>/f<sub>cd</sub>: 0,8
- ε<sub>syd</sub>: 1,957 ‰; σ<sub>c,adm</sub>: 9,75 N/mm²
- σ<sub>s,adm</sub>: 255 N/mm²; T<sub>co</sub>: 0,6
- T<sub>c1</sub>: 1,829

Calculation results:

- σ<sub>c</sub>: -1,32 N/mm²
- σ<sub>s</sub>: 0,5591 N/mm²
- ε<sub>s</sub>: 0,002796 ‰
- d: 34 cm
- x: 33,07; x/d: 0,9725
- δ: 1

Other parameters: N° strati barre: 2; Tipo Sezione: Rettan.re; P.to applicazione N: Centro; Metodo di calcolo: Metodo n; N° iterazioni: 3; Precompresso: [ ]

Le tensioni sui materiali risultano pari a:

$$\sigma_c = 1,32 \text{ N/mm}^2 < 0,45 f_{ck} = 13,07 \text{ N/mm}^2$$

$$\sigma_s = 0,56 \text{ N/mm}^2 < 0,80 f_{yk} = 360,00 \text{ N/mm}^2$$

La verifica risulta pertanto soddisfatta.

### 14.3.2 COMBINAZIONE QUASI PERMANENTE – DIREZIONE ORIZZONTALE

Il momento flettente di calcolo è assunto pari a  $M_{sd} = 17,15 \text{ kNm}$ .

The screenshot shows the 'Verifica C.A. S.L.U.' software interface. Key parameters and results are as follows:

- Section Properties:**
  - Rectangular section (Rettan.re)
  - Width (b): 100 cm, Height (h): 40 cm
  - Effective depth (d): 34 cm
  - Number of bars (N\* strati barre): 2
- Applied Forces:**
  - Normal force (N<sub>Ed</sub>): 0 kN
  - Bending moment (M<sub>xEd</sub>): 17,15 kNm
  - Moment (M<sub>yEd</sub>): 0 kNm
- Material Properties:**
  - Concrete (C25/30):  $\epsilon_{su} = 67,5 \text{ ‰}$ ,  $f_{yd} = 391,3 \text{ N/mm}^2$ ,  $E_s = 200.000 \text{ N/mm}^2$ ,  $\epsilon_{syd} = 1,957 \text{ ‰}$ ,  $\sigma_{s,adm} = 255 \text{ N/mm}^2$
  - Steel (B450C):  $\epsilon_{c2} = 2 \text{ ‰}$ ,  $\epsilon_{cu} = 3,5$ ,  $f_{cd} = 14,17$ ,  $\sigma_{c,adm} = 9,75$ ,  $T_{co} = 0,6$ ,  $T_{c1} = 1,829$
- Calculation Results:**
  - Concrete stress ( $\sigma_c$ ): -1,202 N/mm<sup>2</sup>
  - Steel stress ( $\sigma_s$ ): 55,2 N/mm<sup>2</sup>
  - Strain ( $\epsilon_s$ ): 0,276 ‰
  - Effective depth (d): 34 cm
  - Relative eccentricity (x/d): 8,373
  - Relative depth (x/d): 0,2463
  - Relative depth ( $\delta$ ): 0,7478
- Verification:**
  - Method: Metodo n
  - Iterations: 4
  - Precompressed:

Le tensioni sui materiali risultano pari a:

$$\sigma_c = 1,20 \text{ N/mm}^2 < 0,45 f_{ck} = 13,07 \text{ N/mm}^2$$

$$\sigma_s = 55,20 \text{ N/mm}^2 < 0,80 f_{yk} = 360,00 \text{ N/mm}^2$$

La verifica risulta pertanto soddisfatta.

### 14.3.3 COMBINAZIONE FREQUENTE – DIREZIONE VERTICALE

L'azione normale di calcolo è assunta pari a  $N_{Sd} = 260,44$  kN.

Il momento flettente di calcolo è assunto pari a  $M_{Sd} = -23,32$  kNm.

The screenshot shows the 'Verifica C.A. S.L.U.' software interface. Key sections include:

- Titolo:** Empty field.
- N° strati barre:** 2. **Zoom:** Control.
- Table 1:**

N°	b [cm]	h [cm]
1	100	40
- Table 2:**

N°	As [cm²]	d [cm]
1	10,05	6
2	10,05	34
- Tipo Sezione:**  Rettan.re,  Trapezi,  a T,  Circolare,  Rettangoli,  Coord.
- Sollecitazioni:** S.L.U. / Metodo n.  $N_{Ed} = 0$ ,  $M_{xEd} = 0$ ,  $M_{yEd} = 0$ . Applied:  $N = 260$  kN,  $M = -23,32$  kNm.
- P.to applicazione N:**  Centro,  Baricentro cls,  Coord.[cm].  $xN = 0$ ,  $yN = 0$ .
- Materiali:** B450C, C25/30.  $\epsilon_{su} = 67,5$ ‰,  $\epsilon_{c2} = 2$ ‰,  $f_{yd} = 391,3$  N/mm²,  $\epsilon_{cu} = 3,5$ ‰,  $E_s = 200.000$  N/mm²,  $f_{cd} = 14,17$ ,  $E_s/E_c = 15$ ,  $f_{cc}/f_{cd} = 0,8$ ,  $\epsilon_{syd} = 1,957$ ‰,  $\sigma_{c,adm} = 9,75$ ,  $\sigma_{s,adm} = 255$  N/mm²,  $\tau_{co} = 0,6$ ,  $\tau_{c1} = 1,829$ .
- Stress Results:**  $\sigma_c = -1,418$  N/mm²,  $\sigma_s = -0,1006$  N/mm².
- Other Parameters:**  $\epsilon_s = 0$ ‰,  $d = 34$  cm,  $x = 34,16$ ,  $x/d = 1,005$ ,  $\delta = 1$ .
- Method of Calculation:**  S.L.U.+,  S.L.U.-,  Metodo n.
- Verification:** . **N° iterazioni:** 3.  Precompresso.

Le tensioni sui materiali risultano pari a:

$$\sigma_c = 1,42 \text{ N/mm}^2 < 0,45 f_{ck} = 13,07 \text{ N/mm}^2$$

$$\sigma_s = -0,10 \text{ N/mm}^2 < 0,80 f_{yk} = 360,00 \text{ N/mm}^2$$

La verifica risulta pertanto soddisfatta.

### 14.3.4 COMBINAZIONE FREQUENTE – DIREZIONE ORIZZONTALE

Il momento flettente di calcolo è assunto pari a  $M_{sd} = 25,83 \text{ kNm}$ .

The screenshot shows the 'Verifica C.A. S.L.U.' software interface. Key sections include:

- Titolo:** Empty field.
- N° strati barre:** 2
- Table 1:**

N°	b [cm]	h [cm]
1	100	40
- Table 2:**

N°	As [cm²]	d [cm]
1	10,05	6
2	10,05	34
- Sollecitazioni:**
  - S.L.U. / Metodo n
  - $N_{Ed}$ : 0 kN
  - $M_{xEd}$ : 0 kNm
  - $M_{yEd}$ : 0 kNm
  - Applied moment: 25,83 kNm
- P.to applicazione N:**
  - Centro (selected)
  - Baricentro cls
  - Coord. [cm]: xN=0, yN=0
- Metodo di calcolo:** S.L.U. + (selected), S.L.U. -, Metodo n
- Materiali:**
  - B450C:  $\epsilon_{su} = 67,5 \%$ ,  $f_{yd} = 391,3 \text{ N/mm}^2$ ,  $E_s = 200.000 \text{ N/mm}^2$ ,  $E_s/E_c = 15$ ,  $\epsilon_{syd} = 1,957 \%$ ,  $\sigma_{s,adm} = 255 \text{ N/mm}^2$
  - C25/30:  $\epsilon_{c2} = 2 \%$ ,  $\epsilon_{cu} = 3,5$ ,  $f_{cd} = 14,17$ ,  $\sigma_{c,adm} = 9,75$ ,  $T_{co} = 0,6$ ,  $T_{c1} = 1,829$
- Results:**
  - $\sigma_c = -1,811 \text{ N/mm}^2$
  - $\sigma_s = 83,14 \text{ N/mm}^2$
  - $\epsilon_s = 0,4157 \%$
  - $d = 34 \text{ cm}$
  - $x = 8,373$ ,  $x/d = 0,2463$
  - $\delta = 0,7478$
- Buttons:** Verifica, N° iterazioni: 4, Precompresso

Le tensioni sui materiali risultano pari a:

$$\sigma_c = 1,81 \text{ N/mm}^2 < 0,45 f_{ck} = 13,07 \text{ N/mm}^2$$

$$\sigma_s = 83,14 \text{ N/mm}^2 < 0,80 f_{yk} = 360,00 \text{ N/mm}^2$$

La verifica risulta pertanto soddisfatta.



### 14.3.5 COMBINAZIONE RARA – DIREZIONE VERTICALE

L'azione normale di calcolo è assunta pari a  $N_{sd} = 281,24$  kN.

Il momento flettente di calcolo è assunto pari a  $M_{sd} = -23,77$  kNm.

The screenshot shows the 'Verifica C.A. S.L.U.' software interface. Key sections include:

- Titolo:** Empty field.
- N° strati barre:** 2
- Materiali:** B450C and C25/30. Properties for B450C:  $\epsilon_{su} = 67,5$ ‰,  $f_{yd} = 391,3$  N/mm<sup>2</sup>,  $E_s = 200.000$  N/mm<sup>2</sup>,  $\epsilon_s / E_c = 15$ ,  $\epsilon_{syd} = 1,957$ ‰,  $\sigma_{s,adm} = 255$  N/mm<sup>2</sup>. Properties for C25/30:  $\epsilon_{c2} = 2$ ‰,  $\epsilon_{cu} = 3,5$ ‰,  $f_{cd} = 14,17$  N/mm<sup>2</sup>,  $f_{cc} / f_{cd} = 0,8$ ,  $\sigma_{c,adm} = 9,75$  N/mm<sup>2</sup>,  $\tau_{co} = 0,6$ ,  $\tau_{c1} = 1,829$ .
- Stress Results:**  $\sigma_c = -1,472$  N/mm<sup>2</sup>,  $\sigma_s = -0,9724$  N/mm<sup>2</sup>,  $\epsilon_s = -0,004862$ ‰.
- Geometric Data:**  $d = 34$  cm,  $x = 35,57$ ,  $x/d = 1,046$ ,  $\delta = 1$ .
- Application Point:** Centro.
- Calculation Method:** Metodo n.
- Iterations:** 3.
- Buttons:** Verifica, Precompresso.

Le tensioni sui materiali risultano pari a:

$$\sigma_c = 1,47 \text{ N/mm}^2 < 0,45 f_{ck} = 17,43 \text{ N/mm}^2$$

$$\sigma_s = -0,97 \text{ N/mm}^2 < 0,80 f_{yk} = 360,00 \text{ N/mm}^2$$

La verifica risulta pertanto soddisfatta.

### 14.3.6 COMBINAZIONE RARA – DIREZIONE ORIZZONTALE

Il momento flettente di calcolo è assunto pari a  $M_{sd} = 29,49$  kNm.

The screenshot shows the 'Verifica C.A. S.L.U.' software interface. Key sections include:

- Input Parameters:**
  - Section type:  Rettan.re
  - Dimensions:  $b = 100$  cm,  $h = 40$  cm
  - Reinforcement: 2 bars,  $A_s = 10,05$  cm<sup>2</sup>,  $d = 34$  cm
  - Applied load:  $M_{Ed} = 29,29$  kNm
  - Material: B450C (steel), C25/30 (concrete)
- Calculation Results:**
  - Concrete stress:  $\sigma_c = -2,054$  N/mm<sup>2</sup>
  - Steel stress:  $\sigma_s = 94,28$  N/mm<sup>2</sup>
  - Concrete strain:  $\epsilon_s = 0,4714$  ‰
  - Steel strain:  $\epsilon_s = 0,4714$  ‰
  - Slenderness ratio:  $\lambda = 8,373$
  - Effective length factor:  $\eta/d = 0,2463$
  - Slenderness correction:  $\delta = 0,7478$
- Verification:**
  - Iteration count: 4
  - Precompressed:

Le tensioni sui materiali risultano pari a:

$$\sigma_c = 2,06 \text{ N/mm}^2 < 0,45 f_{ck} = 17,43 \text{ N/mm}^2$$

$$\sigma_s = 94,28 \text{ N/mm}^2 < 0,80 f_{yk} = 360,00 \text{ N/mm}^2$$

La verifica risulta pertanto soddisfatta.

#### 14.4 VERIFICA ALLO STATO LIMITE DI FESSURAZIONE – DIREZIONE VERTICALE

Per la verifica allo Stato Limite di fessurazione è stata utilizzata la procedura semplificata prevista dalla Circolare C.S.LL.PP. n.617 del 02.02.2009 – par. C4.1.2.2.4.6 – Tab. C4.1.II e C4.1.III. Le condizioni considerate sono riportate nella tabella seguente.

La verifica semplificata allo SL di fessurazione viene condotta secondo quanto previsto dalla Circolare C.S.LL.PP. n.617 del 02.02.2009, par. C4.1.2.2.4.6, tab. C4.1.II e C4.1.III.

TABELLA C4.1.II - Diametri massimi delle barre per il controllo di fessurazione			
Tensione nell'acciaio $\sigma_s$ [N/mm <sup>2</sup> ]	Diametro massimo $\varnothing$ delle barre [mm]		
	$w_3 = 0,40$ mm	$w_2 = 0,30$ mm	$w_1 = 0,20$ mm
160	40	32	25
200	32	25	16
240	20	16	12
280	16	12	8
320	12	10	6
360	10	8	0

TABELLA C4.1.III - Spaziatura massima delle barre per il controllo di fessurazione			
Tensione nell'acciaio $\sigma_s$ [N/mm <sup>2</sup> ]	Spaziatura massima s delle barre delle barre [mm]		
	$w_3 = 0,40$ mm	$w_2 = 0,30$ mm	$w_1 = 0,20$ mm
160	300	300	200
200	300	250	150
240	250	200	100
280	200	150	50
320	150	100	0
360	100	50	0

#### CRITERI DI SCELTA DELLO STATO LIMITE DI FESSURAZIONE

I criteri di scelta dello Stato Limite di fessurazione sono definiti secondo quanto riportato dal D.M. 14.01.2008, par. 4.1.2.2.4.5, tab. 4.1.IV.

Condizioni ambientali:  Armatura:

#### COMBINAZIONE ALLO S.L.E. QUASI PERMANENTE

Stato limite:	apertura fessure	
Ampiezza massima delle fessure:	$w_d \leq$	w1
Tensione massima nell'acciaio calcolata:	$\sigma_{s,max}$	<b>0,56</b> [N/mm <sup>2</sup> ]
Diametro massimo delle barre di armature poste in opera:	$\varnothing_{max}$	<b>16</b> [mm]
Spaziatura massima delle barre di armatura poste in opera:	$s_{max}$	<b>200,00</b> [mm]
Diametro massimo delle barre di armatura consentito:	$\varnothing_{max}$	25,00 [mm]
Spaziatura massima delle barre di armatura consentita:	$s_{max}$	200,00 [mm]

**VERIFICA POSITIVA**

#### COMBINAZIONE ALLO S.L.E. FREQUENTE

Stato limite:	apertura fessure	
Ampiezza massima delle fessure:	$w_d \leq$	w2
Tensione massima nell'acciaio calcolata:	$\sigma_{s,max}$	<b>-0,10</b> [N/mm <sup>2</sup> ]
Diametro massimo delle barre di armature poste in opera:	$\varnothing_{max}$	16 [mm]
Spaziatura massima delle barre di armatura poste in opera:	$s_{max}$	200,00 [mm]
Diametro massimo delle barre di armatura consentito:	$\varnothing_{max}$	32,00 [mm]
Spaziatura massima delle barre di armatura consentita:	$s_{max}$	300,00 [mm]

**VERIFICA POSITIVA**

## 14.5 VERIFICA ALLO STATO LIMITE DI FESSURAZIONE – DIREZIONE ORIZZONTALE

### 14.5.1 COMBINAZIONE QUASI PERMANENTE

VERIFICA ALLO STATO LIMITE DI APERTURA DELLE FESSURE										
H	40	cm	Armatura tesa nell'area di cls efficace:				Armatura compressa:			
b	100	cm	$A_s$	10,05	cm <sup>2</sup>	$A_s'$	5,65	cm <sup>2</sup>		
$c_{f\text{effettivo}}$	4	cm	$y_{G,As} (*)$	6,00	cm	(*) da lembo teso	$y_{G,As'} (*)$	34,00	cm	
$c_{f\text{norma}}$	4	cm	x (cm) (*)	$n_{ferri}$	$\Phi$ (mm)		x (cm) (*)	$n_{ferri}$	$\Phi$ (mm)	
d	34,00	cm		6	5	16		34	5	12
$R_{ck}$	30	MPa								
$f_{ctm}$	2,61	MPa								
$f_{ctk}$	1,82	MPa								
$E_s$	210000	MPa								
n	15									
			$\Phi_{\text{medio}}$	16	mm		$\Phi_{\text{staffe}}$	12	mm	
<b>Sezione interam. reagente</b>			<b>Calcolo delle tensioni nella sezione fessurata</b>							
$y_G$	19,78	cm	N	0	kN	carico assiale agente				
$A_{ideale}$	4236	cm <sup>2</sup>	M	17,15	kN m	momento agente				
$I_{ideale}$	579313	cm <sup>4</sup>	e	$\infty$	cm	eccentricità <b>GRANDE ECCENTRICITÀ</b>				
			en	6,76	cm	estremità nocciolo d'inerzia				
			d <sub>G</sub>	23,92	cm	baricentro armature				
			u	$\infty$	cm	distanza centro di pressione - lembo compresso				
			p	$\infty$	cm <sup>2</sup>					
			q	$\infty$	cm <sup>3</sup>					
			$y_p$	0,00	cm	distanza asse neutro - centro di pressione				
			$y_c$	8,52	cm	asse neutro				
			A*	1088	cm <sup>2</sup>	area ideale				
			$S_n^*$	0	cm <sup>3</sup>	momento statico relativo all'asse neutro				
			$I_n^*$	119055,97	cm <sup>4</sup>	momento d'inerzia relativo all'asse neutro				
			$\sigma_c$	1,23	MPa	massima tensione di compressione nel cls				
			$\sigma_s$	55,06	MPa	tensione di trazione nell'acciaio				
			<b>Calcolo delle tensioni nella condizione di carico di prima fessurazione</b>							
			N	0	kN	carico assiale agente				
			M <sub>F</sub>	76	kN m	momento di prima fessurazione				
			e	$\infty$		eccentricità <b>GRANDE ECCENTRICITÀ</b>				
			u	$\infty$		distanza centro di pressione - lembo compresso				
			p	$\infty$	cm <sup>2</sup>					
			q	$\infty$	cm <sup>3</sup>					
			$y_p$	0,00	cm	distanza asse neutro - centro di pressione				
			$y_c$	8,52	cm	asse neutro				
			A*	1088	cm <sup>2</sup>	area ideale				
			$S_n^*$	0	cm <sup>3</sup>	momento statico relativo all'asse neutro				
			$I_n^*$	119055,97	cm <sup>4</sup>	momento d'inerzia relativo all'asse neutro				
			$\sigma_{cr}$	5,46	MPa	massima tensione di compressione nel cls				
			$\sigma_{sr}$	245,08	MPa	tensione di trazione nell'acciaio				
			<b>Fessurazione indotta da:</b>							
			carichi							
			<b>Caratteristiche ambiente:</b>							
			molto o moderatamente aggressivo							
$\beta_1$	1									
$\beta_2$	0,5									
$k_1$	0,8									
$k_2$	0,5									
k	-									
$h_{A\text{ cls eff}}$	15,00	cm								
$A_{\text{cls eff}}$	1500,00	cm <sup>2</sup>								
$\rho_r$	0,0067									
$\sigma_s$	55,06	MPa								
$\sigma_{sr}$	245,08	MPa								
$\epsilon_{sm}$	0									
$s_{rm}$	288,7	mm								
$w_m$	0,000	mm								
$\beta$	1,7									
$\chi$	1									
$w_k$	0,000	mm								
$w_k \text{ limite}$	0,1	mm								
$w_k$	<	$w_k \text{ limite}$								

### 14.5.2 COMBINAZIONE FREQUENTE

VERIFICA ALLO STATO LIMITE DI APERTURA DELLE FESSURE									
H	40	cm	Armatura tesa nell'area di cls efficace:			Armatura compressa:			
b	100	cm	$A_s$	10,05	cm <sup>2</sup>	$A_s'$	5,65	cm <sup>2</sup>	
$c_{f,effettivo}$	4	cm	$y_{G,As}^{(*)}$	6,00	cm	(*) da lembo teso	$y_{G,As'}^{(*)}$	34,00	cm
$c_{f,norma}$	4	cm	x (cm) (*)	$n_{ferri}$	$\Phi$ (mm)	x (cm) (*)	$n_{ferri}$	$\Phi$ (mm)	
d	34,00	cm	6	5	16	34	5	12	
$R_{ck}$	30	MPa	$\Phi_{medio}$	16	mm	$\Phi_{staffe}$	12	mm	
$f_{ctm}$	2,61	MPa							
$f_{ctk}$	1,82	MPa							
$E_s$	210000	MPa							
n	15								
<b>Sezione interam. reagente</b>			<b>Calcolo delle tensioni nella sezione fessurata</b>						
$y_G$	19,78	cm	N	0	kN	carico assiale agente			
$A_{ideale}$	4236	cm <sup>2</sup>	M	25,83	kN m	momento agente			
$I_{ideale}$	579313	cm <sup>4</sup>	e	$\infty$	cm	eccentricità <b>GRANDE ECCENTRICITÀ</b>			
<b>Fessurazione indotta da:</b>			en	6,76	cm	estremità nocciolo d'inerzia			
<input type="text" value="carichi"/>			d <sub>G</sub>	23,92	cm	baricentro armature			
<b>Caratteristiche ambiente:</b>			u	$\infty$	cm	distanza centro di pressione - lembo compresso			
<input type="text" value="molto o moderatamente aggressivo"/>			p	$\infty$	cm <sup>2</sup>				
$\beta_1$	1		q	$\infty$	cm <sup>3</sup>				
$\beta_2$	0,5		$y_p$	0,00	cm	distanza asse neutro - centro di pressione			
$k_1$	0,8		$y_c$	8,52	cm	asse neutro			
$k_2$	0,5		$A^*$	1088	cm <sup>2</sup>	area ideale			
k	-		$S_n^*$	0	cm <sup>3</sup>	momento statico relativo all'asse neutro			
$h_{A,cls,eff}$	15,00	cm	$I_n^*$	119055,97	cm <sup>4</sup>	momento d'inerzia relativo all'asse neutro			
$A_{cls,eff}$	1500,00	cm <sup>2</sup>	$\sigma_c$	1,85	MPa	massima tensione di compressione nel cls			
$\rho_r$	0,0067		$\sigma_s$	82,92	MPa	tensione di trazione nell'acciaio			
$\sigma_s$	82,92	MPa	<b>Calcolo delle tensioni nella condizione di carico di prima fessurazione</b>						
$\sigma_{sr}$	245,08	MPa	N	0	kN	carico assiale agente			
$\epsilon_{sm}$	0		$M_F$	76	kN m	momento di prima fessurazione			
$s_{rm}$	288,7	mm	e	$\infty$		eccentricità <b>GRANDE ECCENTRICITÀ</b>			
$w_m$	0,000	mm	u	$\infty$		distanza centro di pressione - lembo compresso			
$\beta$	1,7		p	$\infty$	cm <sup>2</sup>				
$\chi$	1		q	$\infty$	cm <sup>3</sup>				
$w_k$	0,000	mm	$y_p$	0,00	cm	distanza asse neutro - centro di pressione			
$w_k$ limite	0,1	mm	$y_c$	8,52	cm	asse neutro			
$w_k$	<	$w_k$ limite	$A^*$	1088	cm <sup>2</sup>	area ideale			
			$S_n^*$	0	cm <sup>3</sup>	momento statico relativo all'asse neutro			
			$I_n^*$	119055,97	cm <sup>4</sup>	momento d'inerzia relativo all'asse neutro			
			$\sigma_{cr}$	5,46	MPa	massima tensione di compressione nel cls			
			$\sigma_{sr}$	245,08	MPa	tensione di trazione nell'acciaio			

### 14.6 VERIFICA ALLO STATO LIMITE ULTIMO PER PRESSOFLESSIONE – DIREZIONE VERTICALE

L'azione normale di calcolo è assunta pari a  $N_{sd} = 386,75 \text{ kN}$ .

Il momento flettente di calcolo è assunto pari a  $M_{sd} = -32,37 \text{ kNm}$ .

**Verifica C.A. S.L.U. - File:**

File Materiali Opzioni Visualizza Progetto Sez. Rett. Sismica Normativa: NTC 2008 ?

Titolo: \_\_\_\_\_

N° strati barre: 2 Zoom

N°	b [cm]	h [cm]	N°	As [cm²]	d [cm]
1	100	40	1	10,05	6
			2	10,05	34

**Tipologia Sezione:**  
 Rettang. re  Trapezi  
 a T  Circolare  
 Rettangoli  Coord.

**Collecitazioni:**  
 S.L.U. Metodo n  
 N<sub>Ed</sub> 386,75 0 kN  
 M<sub>xEd</sub> -32,37 0 kNm  
 M<sub>yEd</sub> 0 0

**P.to applicazione N:**  
 Centro  Baricentro cls  
 Coord.[cm] xN 0 yN 0

**Materiali:**  
 B450C C25/30  
 ε<sub>su</sub> 67,5 ‰ ε<sub>c2</sub> 2 ‰  
 f<sub>yd</sub> 391,3 N/mm² ε<sub>cu</sub> 3,5 ‰  
 E<sub>s</sub> 200.000 N/mm² f<sub>cd</sub> 14,17  
 E<sub>s</sub>/E<sub>c</sub> 15 f<sub>cc</sub>/f<sub>cd</sub> 0,8  
 ε<sub>syd</sub> 1,957 ‰ σ<sub>c,adm</sub> 9,75  
 σ<sub>s,adm</sub> 255 N/mm² τ<sub>co</sub> 0,6  
 τ<sub>c1</sub> 1,829

**Metodo di calcolo:**  
 S.L.U.+  S.L.U.-  
 Metodo n

**Tipologia flessione:**  
 Retta  Deviate

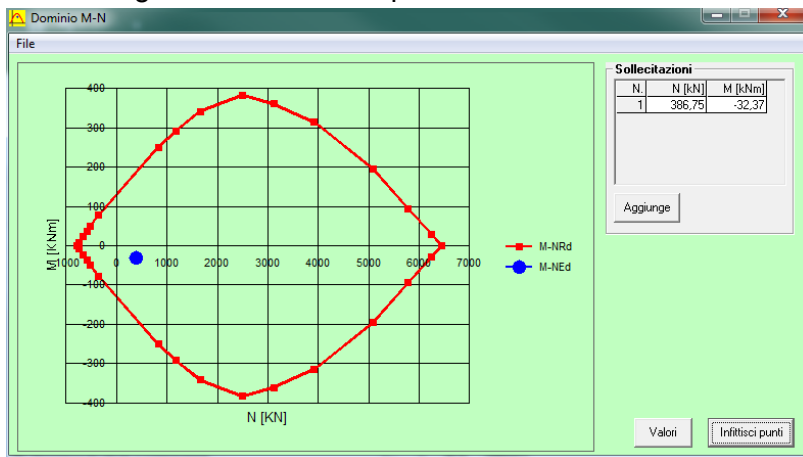
**Parametri di calcolo:**  
 M<sub>xRd</sub> -188,8 kNm  
 σ<sub>c</sub> -14,17 N/mm²  
 σ<sub>s</sub> 391,3 N/mm²  
 ε<sub>c</sub> 3,5 ‰  
 ε<sub>s</sub> 15,08 ‰  
 d 34 cm  
 x 6,406 x/d 0,1884  
 δ 0,7

**Altri parametri:**  
 N° rett. 100  
 Calcola MRd Dominio M-N  
 L<sub>0</sub> 0 cm Col. modello  
 Precompresso

Il momento resistente risulta pari a:

$M_{Rd} = -188,80 \text{ kNm} > M_{sd} = -32,37 \text{ kNm}$

Nell'immagine successiva è riportato il dominio di resistenza della sezione:



La verifica risulta pertanto soddisfatta.

### 14.7 VERIFICA ALLO STATO LIMITE ULTIMO PER FLESSIONE – DIREZIONE ORIZZONTALE

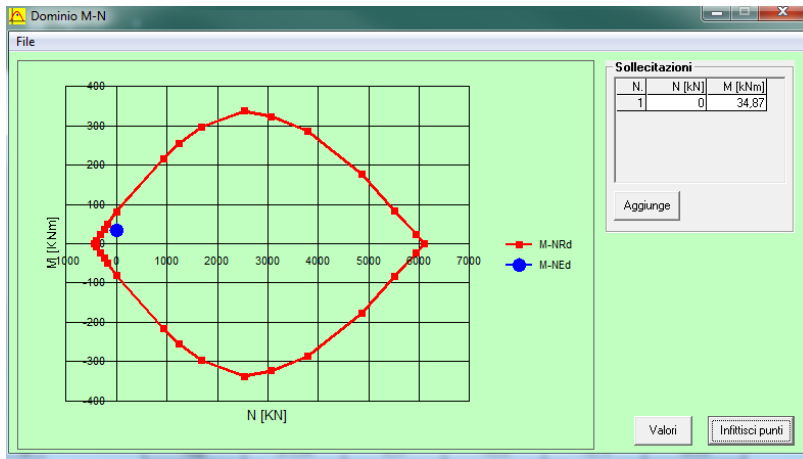
Il momento flettente di calcolo è assunto pari a  $M_{Sd} = 34,87$  kNm.

The screenshot shows the 'Verifica C.A. S.L.U.' software interface. Key parameters include:

- Materiali:** B450C and C25/30. Properties for B450C:  $\epsilon_{su} = 67.5$ ‰,  $f_{yd} = 391.3$  N/mm<sup>2</sup>,  $E_s = 200.000$  N/mm<sup>2</sup>,  $E_s/E_c = 15$ ,  $\epsilon_{syd} = 1.957$ ‰,  $\sigma_{s,adm} = 255$  N/mm<sup>2</sup>. Properties for C25/30:  $\epsilon_{c2} = 2$ ‰,  $\epsilon_{cu} = 3.5$ ‰,  $f_{cd} = 14.17$ ,  $\tau_{co,adm} = 9.75$ ,  $\tau_{c1} = 1.829$ .
- Geometria:**  $b = 100$  cm,  $h = 40$  cm,  $d = 34.4$  cm.
- Carichi:**  $N_{Ed} = 0$  kN,  $M_{xEd} = 34.87$  kNm,  $M_{yEd} = 0$  kNm.
- Materiali di calcolo:**  $\sigma_c = -14.17$  N/mm<sup>2</sup>,  $\sigma_s = 391.3$  N/mm<sup>2</sup>,  $\epsilon_c = 3.5$ ‰,  $\epsilon_s = 29.08$ ‰,  $d = 34.4$  cm,  $x = 3.696$ ,  $x/d = 0.1074$ ,  $\delta = 0.7$ .
- Metodo di calcolo:** S.L.U.+, Metodo n.
- Calcoli:**  $M_{xRd} = -80.9$  kNm,  $N^{\text{rett.}} = 100$ .

Il momento resistente risulta pari a:  
 $M_{Rd} = 80,90$  kNm  $>$   $M_{Sd} = 34,87$  kNm

Nell'immagine successiva è riportato il dominio di resistenza della sezione:



La verifica risulta pertanto soddisfatta.

### 14.8 VERIFICA ALLO STATO LIMITE ULTIMO PER TAGLIO – DIREZIONE VERTICALE

L'azione tagliante di calcolo è assunta pari a  $V_{S,d} = -37,34$  kNm.

CARATTERISTICHE GEOMETRICHE DELLA SEZIONE			
Base della sezione trasversale:	b	100,00	[cm]
Altezza della sezione trasversale:	h	40,00	[cm]
Copriferro netto:	c	4,00	[cm]
Altezza utile della sezione:	d	36,00	[cm]
CARATTERISTICHE DEI MATERIALI			
Classe di resistenza del calcestruzzo:	C25/30		
Resistenza caratteristica cubica a compressione:	$R_{ck}$	30,00	[N/mm <sup>2</sup> ]
Resistenza caratteristica cilindrica a compressione:	$f_{ck}$	24,90	[N/mm <sup>2</sup> ]
Resistenza di calcolo a compressione:	$f_{cd}$	14,11	[N/mm <sup>2</sup> ]
Tipologia dell'acciaio da armatura:	B450C		
Tensione caratteristica di rottura:	$f_{tk}$	540,00	[N/mm <sup>2</sup> ]
Tensione caratteristica di snervamento:	$f_{yk}$	450,00	[N/mm <sup>2</sup> ]
Resistenza di calcolo:	$f_{yd}$	391,30	[N/mm <sup>2</sup> ]
AZIONI SOLLECITANTI DI CALCOLO			
Azione tagliante di calcolo:	$V_{S,d}$	37,34	[kN]
Azione normale di calcolo:	$N_{S,d}$	0,00	[kN]
ARMATURA LONGITUDINALE			
	$n_{barre}$	$\varnothing_{barre}$ [mm]	$A_{barra}$ [cm <sup>2</sup> ]
Primo strato di armatura tesa:	5	16	2,01
Infittimento primo strato di armatura tesa:			0,00
Secondo strato di armatura tesa:			0,00
Infittimento secondo strato di armatura tesa:			0,00
AREA TOTALE DELLE BARRE DI ARMATURA TESA			10,05
VERIFICA ALLO S.L.U. PER TAGLIO			
La verifica allo S.L.U. per taglio viene condotta secondo quanto previsto dal D.M. 14.01.2008, par.4.1.2.1.3.1			
$V_{R,d} = \left\{ \frac{0,18 \cdot k \cdot (100 \cdot \rho_1 \cdot f_{ck})^{1/3}}{\gamma_c} + 0,15 \cdot \sigma_{cp} \right\} \cdot b_w \cdot d \geq (v_{min} + 0,15 \cdot \sigma_{cp}) \cdot b_w \cdot d$			
Coefficiente k:	k	1,75	
Coefficiente $v_{min}$ :	$v_{min}$	0,403	
Rapporto geometrico di armatura longitudinale:	$\rho_1$	0,0028	
Tensione media di compressione nella sezione:	$\sigma_{cp}$	0,000	[N/mm <sup>2</sup> ]
Larghezza minima della sezione:	$b_w$	100,00	[cm]
AZIONE TAGLIANTE RESISTENTE DELLA SEZIONE:	$V_{R,d}$	144,98	[kN]
COEFFICIENTE DI SICUREZZA:	$F_S = V_{R,d} / V_{S,d}$	3,88	
<b>LA VERIFICA RISULTA POSITIVA</b>			



### 14.9 VERIFICA ALLO STATO LIMITE ULTIMO PER TAGLIO – DIREZIONE ORIZZONTALE

L'azione tagliante di calcolo è assunta pari a  $V_{S,d} = -22,74$  kNm.

CARATTERISTICHE GEOMETRICHE DELLA SEZIONE			
Base della sezione trasversale:	b	100,00	[cm]
Altezza della sezione trasversale:	h	40,00	[cm]
Copriferro netto:	c	4,00	[cm]
Altezza utile della sezione:	d	36,00	[cm]
CARATTERISTICHE DEI MATERIALI			
Classe di resistenza del calcestruzzo:	C25/30		
Resistenza caratteristica cubica a compressione:	$R_{ck}$	30,00	[N/mm <sup>2</sup> ]
Resistenza caratteristica cilindrica a compressione:	$f_{ck}$	24,90	[N/mm <sup>2</sup> ]
Resistenza di calcolo a compressione:	$f_{cd}$	14,11	[N/mm <sup>2</sup> ]
Tipologia dell'acciaio da armatura:	B450C		
Tensione caratteristica di rottura:	$f_{tk}$	540,00	[N/mm <sup>2</sup> ]
Tensione caratteristica di snervamento:	$f_{yk}$	450,00	[N/mm <sup>2</sup> ]
Resistenza di calcolo:	$f_{yd}$	391,30	[N/mm <sup>2</sup> ]
AZIONI SOLLECITANTI DI CALCOLO			
Azione tagliante di calcolo:	$V_{S,d}$	22,74	[kN]
Azione normale di calcolo:	$N_{S,d}$	0,00	[kN]
ARMATURA LONGITUDINALE			
	$n_{barre}$	$\varnothing_{barre}$ [mm]	$A_{barra}$ [cm <sup>2</sup> ]
Primo strato di armatura tesa:	5	16	2,01
Infittimento primo strato di armatura tesa:			0,00
Secondo strato di armatura tesa:			0,00
Infittimento secondo strato di armatura tesa:			0,00
AREA TOTALE DELLE BARRE DI ARMATURA TESA			10,05
VERIFICA ALLO S.L.U. PER TAGLIO			
La verifica allo S.L.U. per taglio viene condotta secondo quanto previsto dal D.M. 14.01.2008, par.4.1.2.1.3.1			
$V_{R,d} = \left\{ \frac{0,18 \cdot k \cdot (100 \cdot \rho_1 \cdot f_{ck})^{1/3}}{\gamma_c} + 0,15 \cdot \sigma_{cp} \right\} \cdot b_w \cdot d \geq (v_{min} + 0,15 \cdot \sigma_{cp}) \cdot b_w \cdot d$			
Coefficiente k:	k	1,75	
Coefficiente $v_{min}$ :	$v_{min}$	0,403	
Rapporto geometrico di armatura longitudinale:	$\rho_1$	0,0028	
Tensione media di compressione nella sezione:	$\sigma_{cp}$	0,000	[N/mm <sup>2</sup> ]
Larghezza minima della sezione:	$b_w$	100,00	[cm]
AZIONE TAGLIANTE RESISTENTE DELLA SEZIONE:	$V_{R,d}$	144,98	[kN]
COEFFICIENTE DI SICUREZZA:	$F_S = V_{R,d} / V_{S,d}$	6,38	
<b>LA VERIFICA RISULTA POSITIVA</b>			

## 15 MURI LATERALI – VERIFICHE STRUTTURALI

### 15.1 RIEPILOGO DELLE AZIONI SOLLECITANTI DI CALCOLO

Per ciascuna combinazione di carico sono state considerate le seguenti condizioni:

- $N_{max}$
- $N_{min}$
- $M_{vert,max}$
- $M_{trasv,max}$
- $V_{vert,max}$
- $V_{trasv,max}$

Nella tabella successiva sono riepilogati i valori di calcolo delle azioni sollecitanti per le diverse combinazioni di carico considerate:

COMBINAZIONE	CONDIZIONE	$N_{Sd}$ [kN]	$M_{11,Sd}$ [kNm]	$M_{22,Sd}$ [kNm]	$V_{13,Sd}$ [kN]	$V_{23,Sd}$ [kN]
SLE - QP	$N_{max}$	-59,58	0,89	-5,23	-7,09	1,83
	$M_{11,max}$	12,98	16,72	2,57	22,50	-6,18
	$M_{22,max}$	194,85	6,11	37,52	-20,08	56,63
	$V_{13,max}$	41,33	15,36	-2,29	23,41	-6,44
	$V_{23,max}$	-0,25	0,42	23,53	-20,08	56,63
SLE - FREQ	$N_{max}$	338,29	8,84	62,27	-25,98	78,65
	$M_{11,max}$	-4,64	28,08	3,75	36,11	-1,62
	$M_{22,max}$	338,29	8,84	62,27	-25,98	78,65
	$V_{13,max}$	3,87	27,10	3,21	36,11	-1,62
	$V_{23,max}$	15,83	1,50	40,79	-25,98	78,65
SLE - RARA	$N_{max}$	-70,80	2,58	-2,33	-13,69	4,84
	$M_{11,max}$	-4,80	32,43	4,37	42,00	-2,22
	$M_{22,max}$	386,11	9,75	70,51	-27,94	86,00
	$V_{13,max}$	4,29	31,07	3,62	42,00	-2,22
	$V_{23,max}$	21,19	1,86	46,54	-27,94	86,00
SLU - STR	$N_{max}$	-97,26	3,73	-2,71	-19,47	6,98
	$M_{11,max}$	-6,58	46,40	6,26	60,24	-3,35
	$M_{22,max}$	549,93	13,71	100,14	-38,90	120,50
	$V_{13,max}$	6,04	44,32	5,14	60,24	-3,35
	$V_{23,max}$	31,82	2,73	66,28	-38,90	120,50
SLV X	$N_{max}$	-54,29	-3,83	-19,69	12,57	-10,32
	$M_{11,max}$	90,78	16,11	-1,81	18,59	-7,67
	$M_{22,max}$	224,78	0,76	-23,21	-7,10	7,03
	$V_{13,max}$	3,12	7,35	1,77	-27,23	17,85
	$V_{23,max}$	-19,91	11,11	3,54	-5,13	19,80
SLV Y	$N_{max}$	-74,73	0,29	-8,58	-2,55	0,04
	$M_{11,max}$	-16,21	21,43	4,66	24,23	-0,79
	$M_{22,max}$	446,37	5,20	44,83	-15,94	52,54
	$V_{13,max}$	-13,60	20,67	3,21	25,47	-4,38
	$V_{23,max}$	13,94	0,71	28,14	-15,94	52,54

Dove:

- le azioni normali si compressione sono indicate con segno negativo;
- $M_{11}$  è il momento flettente orizzontale
- $M_{22}$  è il momento flettente verticale
- $V_{13}$  è il taglio orizzontale
- $V_{23}$  è il taglio verticale

## 15.2 SEZIONE ED ARMATURA DI VERIFICA

La sezione di verifica è rettangolare con base pari a 100 cm e altezza pari a 40 cm.

L'armatura verticale è realizzata mediante:

- Ø16/10 interni (lato terreno)
- Ø16/20 esterni

L'armatura trasversale è realizzata mediante:

- Ø16/20 interni (lato terreno)
- Ø16/20 esterni

L'armatura a taglio è costituita da Ø12/40x20.

Il copriferro netto minimo è assunto pari a 40 mm.

## 15.3 VERIFICA ALLO STATO LIMITE DI LIMITAZIONE DELLE TENSIONI

### 15.3.1 COMBINAZIONE QUASI PERMANENTE – DIREZIONE VERTICALE

L'azione normale di calcolo è assunta pari a  $N_{sd} = 194,85$  kN.

Il momento flettente di calcolo è assunto pari a  $M_{sd} = 37,52$  kNm.

The screenshot shows the 'Verifica C.A. S.L.U.' software interface. The main window displays the following data:

N°	b [cm]	h [cm]	N°	As [cm²]	d [cm]
1	100	40	1	10,05	6
			2	20,11	34

Applied actions (S.L.U. Metodo n):

$N_{Ed}$	-194,85 kN
$M_{xEd}$	37,52 kNm
$M_{yEd}$	0

Material properties (B450C and C25/30):

$\epsilon_{su}$	67,5 ‰	$\epsilon_{c2}$	2 ‰
$f_{yd}$	391,3 N/mm²	$\epsilon_{cu}$	3,5 ‰
$E_s$	200.000 N/mm²	$f_{cd}$	14,17 N/mm²
$E_s/E_c$	15	$f_{cc}/f_{cd}$	0,8
$\epsilon_{syd}$	1,957 ‰	$\sigma_{c,adm}$	9,75 N/mm²
$\sigma_{s,adm}$	255 N/mm²	$\tau_{co}$	0,6
		$\tau_{c1}$	1,829

Calculation results:

$\sigma_c$	-1,341 N/mm²	$\sigma_s$	112,5 N/mm²
$\epsilon_s$	0,5623 ‰	d	34 cm
x	5,159	x/d	0,1517
$\delta$	0,7		

Other parameters:  $N^*$  strati barre: 2; Tipo Sezione: Rettan.re; Metodo di calcolo: S.L.U. +; N° iterazioni: 4; Precompresso:

Le tensioni sui materiali risultano pari a:

$$\sigma_c = 1,34 \text{ N/mm}^2 < 0,45 f_{ck} = 13,07 \text{ N/mm}^2$$

$$\sigma_s = 112,50 \text{ N/mm}^2 < 0,80 f_{yk} = 360,00 \text{ N/mm}^2$$

La verifica risulta pertanto soddisfatta.

### 15.3.2 COMBINAZIONE QUASI PERMANENTE – DIREZIONE ORIZZONTALE

Il momento flettente di calcolo è assunto pari a  $M_{sd} = 16,72 \text{ kNm}$ .

The screenshot shows the 'Verifica C.A. S.L.U.' software interface. The main window displays various input and output parameters for a reinforced concrete section verification.

**Input Parameters:**

- Section Type:** Rettan.re (selected)
- Dimensions:** b [cm] = 100, h [cm] = 40
- Reinforcement:** N° strati barre = 2, N° 1: As [cm²] = 10,05, d [cm] = 6; N° 2: As [cm²] = 10,05, d [cm] = 34
- Applied Forces:** N<sub>Ed</sub> = 0 kN, M<sub>xEd</sub> = 0 kNm, M<sub>yEd</sub> = 0 kNm
- Applied Moment:** 16,72 kNm
- Material Properties:** B450C (steel), C25/30 (concrete)
- Material Strengths:**  $\epsilon_{su}$  = 67,5‰,  $\epsilon_{c2}$  = 2‰,  $f_{yd}$  = 391,3 N/mm²,  $\epsilon_{cu}$  = 3,5‰,  $E_s$  = 200.000 N/mm²,  $f_{cd}$  = 14,17 N/mm²,  $E_s/E_c$  = 15,  $\epsilon_{syd}$  = 1,957‰,  $\sigma_{c,adm}$  = 9,75 N/mm²,  $\sigma_{s,adm}$  = 255 N/mm²,  $T_{co}$  = 0,6,  $T_{c1}$  = 1,829
- Design Stresses:**  $\sigma_c$  = -1,172 N/mm²,  $\sigma_s$  = 53,82 N/mm²
- Other Parameters:**  $\epsilon_s$  = 0,2691‰, d = 34 cm,  $x$  = 8,373,  $x/d$  = 0,2463,  $\delta$  = 0,7478
- Iteration:** N° iterazioni = 4

**Output Results:**

- Design Stress (Concrete):**  $\sigma_c = -1,172 \text{ N/mm}^2$
- Design Stress (Steel):**  $\sigma_s = 53,82 \text{ N/mm}^2$
- Strain (Steel):**  $\epsilon_s = 0,2691 \text{‰}$
- Neutral Axis Depth:**  $x = 8,373 \text{ cm}$
- Relative Neutral Axis Depth:**  $x/d = 0,2463$
- Relative Strain (Concrete):**  $\delta = 0,7478$

The interface also includes a diagram of the section with reinforcement bars and a 'Verifica' button.

Le tensioni sui materiali risultano pari a:

$$\sigma_c = 1,17 \text{ N/mm}^2 < 0,45 f_{ck} = 13,07 \text{ N/mm}^2$$

$$\sigma_s = 53,82 \text{ N/mm}^2 < 0,80 f_{yk} = 360,00 \text{ N/mm}^2$$

La verifica risulta pertanto soddisfatta.

### 15.3.3 COMBINAZIONE FREQUENTE – DIREZIONE VERTICALE

L'azione normale di calcolo è assunta pari a  $N_{sd} = 338,29$  kN.

Il momento flettente di calcolo è assunto pari a  $M_{sd} = 62,27$  kNm.

The screenshot shows the 'Verifica C.A. S.L.U.' software interface. The main window displays various input and output parameters for a structural analysis. The 'Sollecitazioni' (Loads) section shows  $N_{Ed} = 0$ ,  $M_{Ed} = 0$ ,  $M_{xEd} = 0$ , and  $M_{yEd} = 0$ . The 'P.to applicazione N' (Point of application of N) is set to 'Centro'. The 'Metodo di calcolo' (Calculation method) is 'Metodo n'. The 'Materiali' (Materials) section shows properties for B450C and C25/30, including  $\epsilon_{su} = 67,5$ ‰,  $\epsilon_{c2} = 2$ ‰,  $f_{yd} = 391,3$  N/mm<sup>2</sup>,  $\epsilon_{cu} = 3,5$ ‰,  $E_s = 200.000$  N/mm<sup>2</sup>,  $f_{cd} = 14,17$ ,  $E_s/E_c = 15$ ,  $f_{cc}/f_{cd} = 0,8$ ,  $\epsilon_{syd} = 1,957$ ‰,  $\sigma_{c,adm} = 9,75$ ,  $\sigma_{s,adm} = 255$  N/mm<sup>2</sup>,  $\tau_{co} = 0,6$ , and  $\tau_{c1} = 1,829$ . The 'Verifica' (Check) section shows  $\sigma_c = -2,138$  N/mm<sup>2</sup>,  $\sigma_s = 190,6$  N/mm<sup>2</sup>,  $\epsilon_s = 0,9532$ ‰,  $d = 34$  cm,  $x = 4,896$ ,  $x/d = 0,144$ , and  $\delta = 0,7$ . The 'N° iterazioni' (Number of iterations) is 4. The 'Precompresso' (Precompressed) checkbox is unchecked.

Le tensioni sui materiali risultano pari a:

$$\sigma_c = 2,14 \text{ N/mm}^2 < 0,45 f_{ck} = 13,07 \text{ N/mm}^2$$

$$\sigma_s = 190,60 \text{ N/mm}^2 < 0,80 f_{yk} = 360,00 \text{ N/mm}^2$$

La verifica risulta pertanto soddisfatta.

### 15.3.4 COMBINAZIONE FREQUENTE – DIREZIONE ORIZZONTALE

Il momento flettente di calcolo è assunto pari a  $M_{sd} = 28,28 \text{ kNm}$ .

The screenshot shows the 'Verifica C.A. S.L.U.' software interface. Key data points include:

- Section Data:**

N°	b [cm]	h [cm]	N°	As [cm²]	d [cm]
1	100	40	1	10,05	6
			2	10,05	34
- Materials:**
  - B450C:**  $\epsilon_{su} = 67,5 \text{ ‰}$ ,  $f_{yd} = 391,3 \text{ N/mm}^2$ ,  $E_s = 200.000 \text{ N/mm}^2$ ,  $E_s/E_c = 15$ ,  $\epsilon_{syd} = 1,957 \text{ ‰}$ ,  $\sigma_{s,adm} = 255 \text{ N/mm}^2$
  - C25/30:**  $\epsilon_{c2} = 2 \text{ ‰}$ ,  $\epsilon_{cu} = 3,5$ ,  $f_{cd} = 14,17$ ,  $\sigma_{c,adm} = 9,75$ ,  $T_{co} = 0,6$ ,  $T_{c1} = 1,829$
- Calculation Results:**
  - $\sigma_c = -1,983 \text{ N/mm}^2$
  - $\sigma_s = 91,03 \text{ N/mm}^2$
  - $\epsilon_s = 0,4552 \text{ ‰}$
  - $d = 34 \text{ cm}$
  - $x = 8,373$ ,  $x/d = 0,2463$
  - $\delta = 0,7478$
- Applied Forces:**
  - $N_{Ed} = 0 \text{ kN}$
  - $M_{xEd} = 0 \text{ kNm}$
  - $M_{yEd} = 0 \text{ kNm}$
  - Applied moment:  $28,28 \text{ kNm}$

Le tensioni sui materiali risultano pari a:

$$\sigma_c = 1,98 \text{ N/mm}^2 < 0,45 f_{ck} = 13,07 \text{ N/mm}^2$$

$$\sigma_s = 91,03 \text{ N/mm}^2 < 0,80 f_{yk} = 360,00 \text{ N/mm}^2$$

La verifica risulta pertanto soddisfatta.

### 15.3.5 COMBINAZIONE RARA – DIREZIONE VERTICALE

L'azione normale di calcolo è assunta pari a  $N_{sd} = -386,11$  kN.

Il momento flettente di calcolo è assunto pari a  $M_{sd} = 70,51$  kNm.

The screenshot shows the 'Verifica C.A. S.L.U.' software interface. The main window displays input data for a rectangular section and the resulting calculation results.

**Input Data:**

- Section Type:** Rettan.re (selected)
- Number of layers of bars:** 2
- Table 1:**

N°	b [cm]	h [cm]
1	100	40
- Table 2:**

N°	As [cm²]	d [cm]
1	10,05	6
2	20,11	34
- Applied Forces:**
  - $N_{Ed}$ : -386,11 kN
  - $M_{xEd}$ : 70,51 kNm
  - $M_{yEd}$ : 0
- Material Properties:**
  - B450C:**  $\epsilon_{su}$  67,5 ‰,  $f_{yd}$  391,3 N/mm²,  $E_s$  200.000 N/mm²,  $E_s/E_c$  15,  $\epsilon_{syd}$  1,957 ‰,  $\sigma_{s,adm}$  255 N/mm²
  - C25/30:**  $\epsilon_{c2}$  2 ‰,  $\epsilon_{cu}$  3,5 ‰,  $f_{cd}$  14,17 N/mm²,  $f_{cc}/f_{cd}$  0,8,  $\sigma_{c,adm}$  9,75 N/mm²,  $\tau_{co}$  0,6,  $\tau_{c1}$  1,829
- Stress Results:**
  - $\sigma_c$ : -2,403 N/mm²
  - $\sigma_s$ : 216,7 N/mm²
  - $\epsilon_s$ : 1,083 ‰
  - $d$ : 34 cm
  - $x$ : 4,849,  $x/d$ : 0,1426
  - $\delta$ : 0,7
- Calculation Method:** Metodo n (selected)
- Iterations:** 4
- Precompressed:** No

Le tensioni sui materiali risultano pari a:

$$\sigma_c = 2,40 \text{ N/mm}^2 < 0,45 f_{ck} = 17,43 \text{ N/mm}^2$$

$$\sigma_s = 216,70 \text{ N/mm}^2 < 0,80 f_{yk} = 360,00 \text{ N/mm}^2$$

La verifica risulta pertanto soddisfatta.

### 15.3.6 COMBINAZIONE RARA – DIREZIONE ORIZZONTALE

Il momento flettente di calcolo è assunto pari a  $M_{sd} = 28,28$  kNm.

The screenshot shows the 'Verifica C.A. S.L.U.' software interface. It includes a menu bar (File, Materiali, Opzioni, Visualizza, Progetto Sez. Rett., Sismica, Normativa: NTC 2008), a title bar, and several data input and output sections.

**Section Data:**

N°	b [cm]	h [cm]	N°	As [cm²]	d [cm]
1	100	40	1	10,05	6
			2	10,05	34

**Materials:**

Material	Property	Value
B450C	$\epsilon_{su}$	67,5 ‰
	$f_{yd}$	391,3 N/mm²
C25/30	$\epsilon_{c2}$	2 ‰
	$\epsilon_{cu}$	3,5 ‰
	$E_s$	200.000 N/mm²
	$f_{cd}$	14,17
	$E_s/E_c$	15
	$f_{cc}/f_{cd}$	0,8
	$\epsilon_{syd}$	1,957 ‰
	$\sigma_{c,adm}$	9,75
	$\sigma_{s,adm}$	255 N/mm²
	$\tau_{co}$	0,6
	$\tau_{c1}$	1,829

**Calculation Results:**

$\sigma_c$	-1,983 N/mm²
$\sigma_s$	91,03 N/mm²
$\epsilon_s$	0,4552 ‰
d	34 cm
x	8,373 x/d
x/d	0,2463
$\delta$	0,7478

**Other Parameters:**

- N° strati barre: 2
- Metodo di calcolo: Metodo n
- N° iterazioni: 4
- Precompresso:

Le tensioni sui materiali risultano pari a:

$$\sigma_c = 1,98 \text{ N/mm}^2 < 0,45 f_{ck} = 13,07 \text{ N/mm}^2$$

$$\sigma_s = 91,03 \text{ N/mm}^2 < 0,80 f_{yk} = 360,00 \text{ N/mm}^2$$

La verifica risulta pertanto soddisfatta.



### 15.4 VERIFICA ALLO STATO LIMITE DI FESSURAZIONE – DIREZIONE VERTICALE

Per la verifica allo Stato Limite di fessurazione è stata utilizzata la procedura semplificata prevista dalla Circolare C.S.LL.PP. n.617 del 02.02.2009 – par. C4.1.2.2.4.6 – Tab. C4.1.II e C4.1.III.

Le condizioni considerate sono riportate nella tabella seguente.

La verifica semplificata allo SL di fessurazione viene condotta secondo quanto previsto dalla Circolare C.S.LL.PP. n.617 del 02.02.2009, par. C4.1.2.2.4.6, tab. C4.1.II e C4.1.III.

TABELLA C4.1.II - Diametri massimi delle barre per il controllo di fessurazione			
Tensione nell'acciaio $\sigma_s$ [N/mm <sup>2</sup> ]	Diametro massimo $\varnothing$ delle barre [mm]		
	$w_3 = 0,40$ mm	$w_2 = 0,30$ mm	$w_1 = 0,20$ mm
160	40	32	25
200	32	25	16
240	20	16	12
280	16	12	8
320	12	10	6
360	10	8	0

TABELLA C4.1.III - Spaziatura massima delle barre per il controllo di fessurazione			
Tensione nell'acciaio $\sigma_s$ [N/mm <sup>2</sup> ]	Spaziatura massima s delle barre [mm]		
	$w_3 = 0,40$ mm	$w_2 = 0,30$ mm	$w_1 = 0,20$ mm
160	300	300	200
200	300	250	150
240	250	200	100
280	200	150	50
320	150	100	0
360	100	50	0

#### CRITERI DI SCELTA DELLO STATO LIMITE DI FESSURAZIONE

I criteri di scelta dello Stato Limite di fessurazione sono definiti secondo quanto riportato dal D.M. 14.01.2008, par. 4.1.2.2.4.5, tab. 4.1.IV.

Condizioni ambientali:

Armatura:

#### COMBINAZIONE ALLO S.L.E. QUASI PERMANENTE

Stato limite:

Ampiezza massima delle fessure:

$w_d \leq$

apertura fessure

$w_1$

Tensione massima nell'acciaio calcolata:

$\sigma_{s,max}$  **112,50** [N/mm<sup>2</sup>]

Diametro massimo delle barre di armature poste in opera:

$\varnothing_{max}$  **16** [mm]

Spaziatura massima delle barre di armatura poste in opera:

$s_{max}$  **100,00** [mm]

Diametro massimo delle barre di armatura consentito:

$\varnothing_{max}$  25,00 [mm]

Spaziatura massima delle barre di armatura consentita:

$s_{max}$  200,00 [mm]

#### VERIFICA POSITIVA

#### COMBINAZIONE ALLO S.L.E. FREQUENTE

Stato limite:

Ampiezza massima delle fessure:

$w_d \leq$

apertura fessure

$w_2$

Tensione massima nell'acciaio calcolata:

$\sigma_{s,max}$  **190,60** [N/mm<sup>2</sup>]

Diametro massimo delle barre di armature poste in opera:

$\varnothing_{max}$  16 [mm]

Spaziatura massima delle barre di armatura poste in opera:

$s_{max}$  100,00 [mm]

Diametro massimo delle barre di armatura consentito:

$\varnothing_{max}$  25,00 [mm]

Spaziatura massima delle barre di armatura consentita:

$s_{max}$  250,00 [mm]

#### VERIFICA POSITIVA

## 15.5 VERIFICA ALLO STATO LIMITE DI FESSURAZIONE – DIREZIONE ORIZZONTALE

### 15.5.1 COMBINAZIONE QUASI PERMANENTE

VERIFICA ALLO STATO LIMITE DI APERTURA DELLE FESSURE										
H	40	cm	Armatura tesa nell'area di cls efficace:				Armatura compressa:			
b	100	cm	$A_s$	10,05	cm <sup>2</sup>	$A_s'$	5,65	cm <sup>2</sup>		
			$y_{G, A_s} (*)$	6,00	cm	(*) da lembo teso	$y_{G, A_s'} (*)$	34,00	cm	
$c_f$ effettivo	4	cm	x (cm) (*)	$n_{ferri}$	$\Phi$ (mm)	x (cm) (*)	$n_{ferri}$	$\Phi$ (mm)		
$c_f$ norma	4	cm	6	5	16	34	5	12		
d	34,00	cm								
$R_{ck}$	30	MPa								
$f_{ctm}$	2,61	MPa								
$f_{ctk}$	1,82	MPa								
$E_s$	210000	MPa								
n	15		$\Phi_{medio}$	16	mm	$\Phi_{staffe}$	12	mm		
<b>Sezione interam. reagente</b>			<b>Calcolo delle tensioni nella sezione fessurata</b>							
$y_G$	19,78	cm	N	0 kN	carico assiale agente					
$A_{ideale}$	4236	cm <sup>2</sup>	M	16,72 kN m	momento agente					
$I_{ideale}$	579313	cm <sup>4</sup>	e	$\infty$ cm	eccentricità <b>GRANDE ECCENTRICITÀ</b>					
			en	6,76 cm	estremità nocciolo d'inerzia					
			d <sub>G</sub>	23,92 cm	baricentro armature					
			u	$\infty$ cm	distanza centro di pressione - lembo compresso					
			p	$\infty$ cm <sup>2</sup>						
			q	$\infty$ cm <sup>3</sup>						
			$y_p$	0,00 cm	distanza asse neutro - centro di pressione					
			$y_c$	8,52 cm	asse neutro					
			$A^*$	1088 cm <sup>2</sup>	area ideale					
			$S_n^*$	0 cm <sup>3</sup>	momento statico relativo all'asse neutro					
			$I_n^*$	119055,97 cm <sup>4</sup>	momento d'inerzia relativo all'asse neutro					
			$\sigma_c$	1,20 MPa	massima tensione di compressione nel cls					
			$\sigma_s$	53,68 MPa	tensione di trazione nell'acciaio					
			<b>Calcolo delle tensioni nella condizione di carico di prima fessurazione</b>							
			N	0 kN	carico assiale agente					
			$M_F$	76 kN m	momento di prima fessurazione					
			e	$\infty$	eccentricità <b>GRANDE ECCENTRICITÀ</b>					
			u	$\infty$	distanza centro di pressione - lembo compresso					
			p	$\infty$ cm <sup>2</sup>						
			q	$\infty$ cm <sup>3</sup>						
			$y_p$	0,00 cm	distanza asse neutro - centro di pressione					
			$y_c$	8,52 cm	asse neutro					
			$A^*$	1088 cm <sup>2</sup>	area ideale					
			$S_n^*$	0 cm <sup>3</sup>	momento statico relativo all'asse neutro					
			$I_n^*$	119055,97 cm <sup>4</sup>	momento d'inerzia relativo all'asse neutro					
			$\sigma_{cr}$	5,46 MPa	massima tensione di compressione nel cls					
			$\sigma_{sr}$	245,08 MPa	tensione di trazione nell'acciaio					
<b>Fessurazione indotta da:</b>										
carichi										
<b>Caratteristiche ambiente:</b>										
molto o moderatamente aggressivo										
$\beta_1$	1									
$\beta_2$	0,5									
$k_1$	0,8									
$k_2$	0,5									
k	-									
$h_{A, cls, eff}$	15,00	cm								
$A_{cls, eff}$	1500,00	cm <sup>2</sup>								
$\rho_r$	0,0067									
$\sigma_s$	53,68	MPa								
$\sigma_{sr}$	245,08	MPa								
$\epsilon_{sm}$	0									
$s_{rm}$	288,7	mm								
$w_m$	0,000	mm								
$\beta$	1,7									
$\chi$	1									
$w_k$	0,000	mm								
$w_k$ limite	0,1	mm								
$w_k$	<	$w_k$ limite								

### 15.5.2 COMBINAZIONE FREQUENTE

VERIFICA ALLO STATO LIMITE DI APERTURA DELLE FESSURE					
H	40	cm	Armadura tesa nell'area di cls efficace:	Armadura compressa:	
b	100	cm	A <sub>s</sub> 10,05 cm <sup>2</sup>	A <sub>s</sub> ' 5,65 cm <sup>2</sup>	
			Y <sub>G</sub> A <sub>s</sub> (*) 6,00 cm	Y <sub>G</sub> A <sub>s</sub> ' (*) 34,00 cm	
cf <sub>effettivo</sub>	4	cm	x (cm) (*)	x (cm) (*)	
cf <sub>norma</sub>	4	cm	n <sub>ferri</sub>	n <sub>ferri</sub>	
d	34,00	cm	Φ (mm)	Φ (mm)	
			6 5 16	34 5 12	
R <sub>ck</sub>	30	MPa	Φ <sub>medio</sub>	16 mm	
f <sub>ctm</sub>	2,61	MPa	Φ <sub>staffe</sub>	12 mm	
f <sub>ctk</sub>	1,82	MPa			
E <sub>s</sub>	210000	MPa			
n	15				
<b>Sezione interam. reagente</b>			<b>Calcolo delle tensioni nella sezione fessurata</b>		
Y <sub>G</sub>	19,78	cm	N	0 kN	carico assiale agente
A <sub>ideale</sub>	4236	cm <sup>2</sup>	M	28,28 kN m	momento agente
I <sub>ideale</sub>	579313	cm <sup>4</sup>	e	∞ cm	eccentricità <b>GRANDE ECCENTRICITÀ</b>
<b>Fessurazione indotta da:</b>			en	6,76 cm	estremità nocciolo d'inertia
carichi			d <sub>G</sub>	23,92 cm	baricentro armature
<b>Caratteristiche ambiente:</b>			u	∞ cm	distanza centro di pressione - lembo compresso
molto o moderatamente aggressivo			p	∞ cm <sup>2</sup>	
β <sub>1</sub>	1		q	∞ cm <sup>3</sup>	
β <sub>2</sub>	0,5		y <sub>p</sub>	0,00 cm	distanza asse neutro - centro di pressione
k <sub>1</sub>	0,8		y <sub>c</sub>	8,52 cm	asse neutro
k <sub>2</sub>	0,5		A*	1088 cm <sup>2</sup>	area ideale
k	-		S <sub>n</sub> *	0 cm <sup>3</sup>	momento statico relativo all'asse neutro
h <sub>A cls eff</sub>	15,00	cm	I <sub>n</sub> *	119055,97 cm <sup>4</sup>	momento d'inertia relativo all'asse neutro
A <sub>cls eff</sub>	1500,00	cm <sup>2</sup>	σ <sub>c</sub>	2,02 MPa	massima tensione di compressione nel cls
ρ <sub>r</sub>	0,0067		σ <sub>s</sub>	90,79 MPa	tensione di trazione nell'acciaio
σ <sub>s</sub>	90,79	MPa	<b>Calcolo delle tensioni nella condizione di carico di prima fessurazione</b>		
σ <sub>sr</sub>	245,08	MPa	N	0 kN	carico assiale agente
ε <sub>sm</sub>	0		M <sub>F</sub>	76 kN m	momento di prima fessurazione
s <sub>rm</sub>	288,7	mm	e	∞	eccentricità <b>GRANDE ECCENTRICITÀ</b>
w <sub>m</sub>	0,000	mm	u	∞	distanza centro di pressione - lembo compresso
β	1,7		p	∞ cm <sup>2</sup>	
χ	1		q	∞ cm <sup>3</sup>	
w <sub>k</sub>	0,000	mm	y <sub>p</sub>	0,00 cm	distanza asse neutro - centro di pressione
w <sub>k</sub> limite	0,1	mm	y <sub>c</sub>	8,52 cm	asse neutro
w <sub>k</sub>	<	w <sub>k</sub> limite	A*	1088 cm <sup>2</sup>	area ideale
			S <sub>n</sub> *	0 cm <sup>3</sup>	momento statico relativo all'asse neutro
			I <sub>n</sub> *	119055,97 cm <sup>4</sup>	momento d'inertia relativo all'asse neutro
			σ <sub>cr</sub>	5,46 MPa	massima tensione di compressione nel cls
			σ <sub>sr</sub>	245,08 MPa	tensione di trazione nell'acciaio

### 15.6 VERIFICA ALLO STATO LIMITE ULTIMO PER PRESSOFLESSIONE – DIREZIONE VERTICALE

L'azione normale di calcolo è assunta pari a  $N_{sd} = -549,93 \text{ kN}$ .

Il momento flettente di calcolo è assunto pari a  $M_{sd} = 100,14 \text{ kNm}$ .

**Verifica C.A. S.L.U. - File:**

File Materiali Opzioni Visualizza Progetto Sez. Rett. Sismica Normativa: NTC 2008 ?

Titolo: \_\_\_\_\_

N° strati barre: 2 Zoom

N°	b [cm]	h [cm]	N°	As [cm²]	d [cm]
1	100	40	1	10,05	5,6
			2	20,11	34,4

**Sollecitazioni**  
 S.L.U. Metodo n

N<sub>Ed</sub> -549,93 0 kN  
 M<sub>Ed</sub> 100,14 0 kNm  
 M<sub>yEd</sub> 0 0

**P.to applicazione N**  
 Centro  Baricentro cls  
 Coord.[cm] xN 0 yN 0

**Materiali**  
 B450C C25/30  
 ε<sub>su</sub> 67,5 ‰ ε<sub>c2</sub> 2 ‰  
 f<sub>yd</sub> 391,3 N/mm² ε<sub>cu</sub> 3,5 ‰  
 E<sub>s</sub> 200.000 N/mm² f<sub>cd</sub> 14,17  
 E<sub>s</sub>/E<sub>c</sub> 15 f<sub>cc</sub>/f<sub>cd</sub> 0,8  
 ε<sub>syd</sub> 1,957 ‰ σ<sub>c,adm</sub> 9,75  
 σ<sub>s,adm</sub> 255 N/mm² τ<sub>co</sub> 0,6  
 τ<sub>c1</sub> 1,829

**Metodo di calcolo**  
 S.L.U. +  S.L.U. -  
 Metodo n

**Tipo flessione**  
 Retta  Deviate

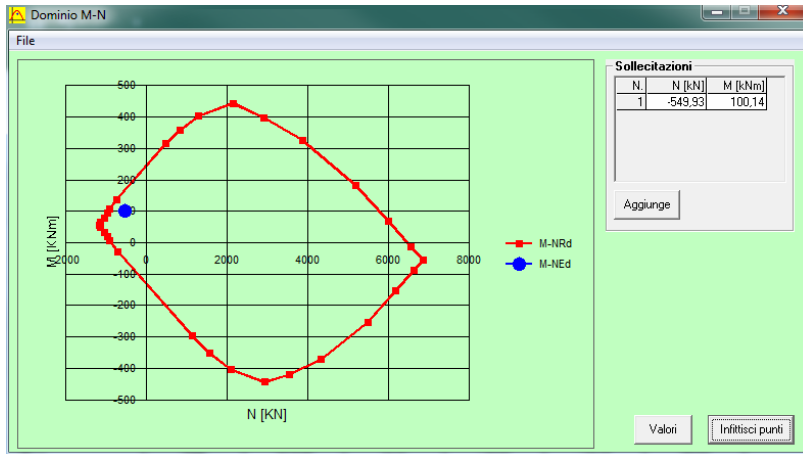
M<sub>xRd</sub> 165,9 kN m  
 σ<sub>c</sub> -14,17 N/mm²  
 σ<sub>s</sub> 391,3 N/mm²  
 ε<sub>c</sub> 3,5 ‰  
 ε<sub>s</sub> 25,39 ‰  
 d 34,4 cm  
 x 4,167 x/d 0,1211  
 δ 0,7

N° rett. 100  
 Calcola MRd Dominio M-N  
 L<sub>0</sub> 0 cm Col. modello  
 Precompresso

Il momento resistente risulta pari a:

$M_{Rd} = 165,90 \text{ kNm} > M_{sd} = 100,14 \text{ kNm}$

Nell'immagine successiva è riportato il dominio di resistenza della sezione:



La verifica risulta pertanto soddisfatta.

### 15.7 VERIFICA ALLO STATO LIMITE ULTIMO PER FLESSIONE – DIREZIONE ORIZZONTALE

Il momento flettente di calcolo è assunto pari a  $M_{Sd} = 46,40$  kNm.

**Verifica C.A. S.L.U. - File**

File Materiali Opzioni Visualizza Progetto Sez. Rett. Sismica Normativa: NTC 2008 ?

Titolo: \_\_\_\_\_

N° strati barre: 2 Zoom

N°	b [cm]	h [cm]	N°	As [cm²]	d [cm]
1	100	40	1	10,05	6
			2	10,05	34

**Tipo Sezione**  
 Rettan.re  Trapezi  
 a T  Circolare  
 Rettangoli  Coord.

**Sollecitazioni**  
 S.L.U. Metodo n  
 N<sub>Ed</sub> 0 kN  
 M<sub>xEd</sub> 46,40 kNm  
 M<sub>yEd</sub> 0 kNm

**P.to applicazione N**  
 Centro  Baricentro cls  
 Coord.[cm] xN 0 yN 0

**Materiali**  
 B450C C25/30  
 ε<sub>su</sub> 67,5 ‰ ε<sub>c2</sub> 2 ‰  
 f<sub>yd</sub> 391,3 N/mm² ε<sub>cu</sub> 3,5 ‰  
 E<sub>s</sub> 200.000 N/mm² f<sub>cd</sub> 14,17 ‰  
 E<sub>s</sub>/E<sub>c</sub> 15 f<sub>cc</sub>/f<sub>cd</sub> 0,8  
 ε<sub>syd</sub> 1,957 ‰ σ<sub>c,adm</sub> 9,75  
 σ<sub>s,adm</sub> 255 N/mm² τ<sub>co</sub> 0,6  
 τ<sub>c1</sub> 1,829

**Metodo di calcolo**  
 S.L.U.+  S.L.U.-  
 Metodo n

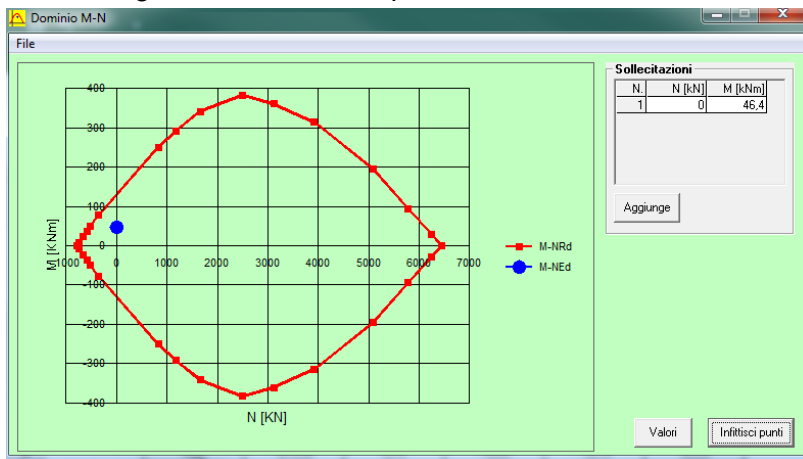
**Tipo flessione**  
 Retta  Deviata

**Calcoli**  
 M<sub>xRd</sub> 132,3 kNm  
 σ<sub>c</sub> -14,17 N/mm²  
 σ<sub>s</sub> 391,3 N/mm²  
 ε<sub>c</sub> 3,5 ‰  
 ε<sub>s</sub> 20,98 ‰  
 d 34 cm  
 x 4,86 x/d 0,143  
 δ 0,7

**Parametri**  
 N° rett. 100  
 L<sub>0</sub> 0 cm Col. modello  
 Precompresso

Il momento resistente risulta pari a:  
 $M_{Rd} = 132,30$  kNm >  $M_{Sd} = 46,40$  kNm

Nell'immagine successiva è riportato il dominio di resistenza della sezione:



La verifica risulta pertanto soddisfatta.

### 15.8 VERIFICA ALLO STATO LIMITE ULTIMO PER TAGLIO – DIREZIONE VERTICALE

L'azione tagliante di calcolo è assunta pari a  $V_{S,d} = -61,58$  kNm.

CARATTERISTICHE GEOMETRICHE DELLA SEZIONE			
Base della sezione trasversale:	b	100,00	[cm]
Altezza della sezione trasversale:	h	40,00	[cm]
Copriferro netto:	c	4,00	[cm]
Altezza utile della sezione:	d	36,00	[cm]
CARATTERISTICHE DEI MATERIALI			
Classe di resistenza del calcestruzzo:	C25/30		
Resistenza caratteristica cubica a compressione:	$R_{ck}$	30,00	[N/mm <sup>2</sup> ]
Resistenza caratteristica cilindrica a compressione:	$f_{ck}$	24,90	[N/mm <sup>2</sup> ]
Resistenza di calcolo a compressione:	$f_{cd}$	14,11	[N/mm <sup>2</sup> ]
Tipologia dell'acciaio da armatura:	B450C		
Tensione caratteristica di rottura:	$f_{tk}$	540,00	[N/mm <sup>2</sup> ]
Tensione caratteristica di snervamento:	$f_{yk}$	450,00	[N/mm <sup>2</sup> ]
Resistenza di calcolo:	$f_{yd}$	391,30	[N/mm <sup>2</sup> ]
AZIONI SOLLECITANTI DI CALCOLO			
Azione tagliante di calcolo:	$V_{S,d}$	61,58	[kN]
Azione normale di calcolo:	$N_{S,d}$	0,00	[kN]
ARMATURA LONGITUDINALE			
	$n_{barre}$	$\varnothing_{barre}$ [mm]	$A_{barra}$ [cm <sup>2</sup> ]
Primo strato di armatura tesa:	10	16	2,01
Infittimento primo strato di armatura tesa:			0,00
Secondo strato di armatura tesa:			0,00
Infittimento secondo strato di armatura tesa:			0,00
AREA TOTALE DELLE BARRE DI ARMATURA TESA			20,10
VERIFICA ALLO S.L.U. PER TAGLIO			
La verifica allo S.L.U. per taglio viene condotta secondo quanto previsto dal D.M. 14.01.2008, par.4.1.2.1.3.1			
$V_{R,d} = \left\{ \frac{0,18 \cdot k \cdot (100 \cdot \rho_1 \cdot f_{ck})^{1/3}}{\gamma_c} + 0,15 \cdot \sigma_{cp} \right\} \cdot b_w \cdot d \geq (v_{min} + 0,15 \cdot \sigma_{cp}) \cdot b_w \cdot d$			
Coefficiente k:	k	1,75	
Coefficiente $v_{min}$ :	$v_{min}$	0,403	
Rapporto geometrico di armatura longitudinale:	$\rho_1$	0,0056	
Tensione media di compressione nella sezione:	$\sigma_{cp}$	0,000	[N/mm <sup>2</sup> ]
Larghezza minima della sezione:	$b_w$	100,00	[cm]
AZIONE TAGLIANTE RESISTENTE DELLA SEZIONE:	$V_{R,d}$	181,30	[kN]
COEFFICIENTE DI SICUREZZA:	$F_S = V_{R,d} / V_{S,d}$	2,94	
<b>LA VERIFICA RISULTA POSITIVA</b>			

### 15.9 VERIFICA ALLO STATO LIMITE ULTIMO PER TAGLIO – DIREZIONE ORIZZONTALE

L'azione tagliante di calcolo è assunta pari a  $V_{S,d} = 120,50$  kNm.

CARATTERISTICHE GEOMETRICHE DELLA SEZIONE			
Base della sezione trasversale:	b	100,00	[cm]
Altezza della sezione trasversale:	h	40,00	[cm]
Copriferro netto:	c	4,00	[cm]
Altezza utile della sezione:	d	36,00	[cm]
CARATTERISTICHE DEI MATERIALI			
Classe di resistenza del calcestruzzo:	C25/30		
Resistenza caratteristica cubica a compressione:	$R_{ck}$	30,00	[N/mm <sup>2</sup> ]
Resistenza caratteristica cilindrica a compressione:	$f_{ck}$	24,90	[N/mm <sup>2</sup> ]
Resistenza di calcolo a compressione:	$f_{cd}$	14,11	[N/mm <sup>2</sup> ]
Tipologia dell'acciaio da armatura:	B450C		
Tensione caratteristica di rottura:	$f_{tk}$	540,00	[N/mm <sup>2</sup> ]
Tensione caratteristica di snervamento:	$f_{yk}$	450,00	[N/mm <sup>2</sup> ]
Resistenza di calcolo:	$f_{yd}$	391,30	[N/mm <sup>2</sup> ]
AZIONI SOLLECITANTI DI CALCOLO			
Azione tagliante di calcolo:	$V_{S,d}$	120,50	[kN]
Azione normale di calcolo:	$N_{S,d}$	0,00	[kN]
ARMATURA LONGITUDINALE			
	$n_{barre}$	$\varnothing_{barre}$ [mm]	$A_{barra}$ [cm <sup>2</sup> ]
Primo strato di armatura tesa:	5	16	2,01
Infittimento primo strato di armatura tesa:			0,00
Secondo strato di armatura tesa:			0,00
Infittimento secondo strato di armatura tesa:			0,00
AREA TOTALE DELLE BARRE DI ARMATURA TESA			10,05
VERIFICA ALLO S.L.U. PER TAGLIO			
La verifica allo S.L.U. per taglio viene condotta secondo quanto previsto dal D.M. 14.01.2008, par.4.1.2.1.3.1			
$V_{Rd} = \left\{ \frac{0,18 \cdot k \cdot (100 \cdot \rho_1 \cdot f_{ck})^{1/3}}{\gamma_c} + 0,15 \cdot \sigma_{cp} \right\} \cdot b_w \cdot d \geq (v_{min} + 0,15 \cdot \sigma_{cp}) \cdot b_w \cdot d$			
Coefficiente k:	k	1,75	
Coefficiente $v_{min}$ :	$v_{min}$	0,403	
Rapporto geometrico di armatura longitudinale:	$\rho_1$	0,0028	
Tensione media di compressione nella sezione:	$\sigma_{cp}$	0,000	[N/mm <sup>2</sup> ]
Larghezza minima della sezione:	$b_w$	100,00	[cm]
AZIONE TAGLIANTE RESISTENTE DELLA SEZIONE:	$V_{R,d}$	144,98	[kN]
COEFFICIENTE DI SICUREZZA:	$F_S = V_{R,d} / V_{S,d}$	1,20	
<b>LA VERIFICA RISULTA POSITIVA</b>			

## 16 ZATTERA DI FONDAZIONE – VERIFICHE STRUTTURALI

### 16.1 SEZIONE ED ARMATURA DI VERIFICA

La sezione di verifica è rettangolare con base pari a 100 cm e altezza pari a 40 cm.

L'armatura verticale è realizzata mediante:

- Ø16/20 superiori
- Ø16/20 inferiori

L'armatura trasversale è realizzata mediante:

- Ø12/20 superiori
- Ø12/20 inferiori

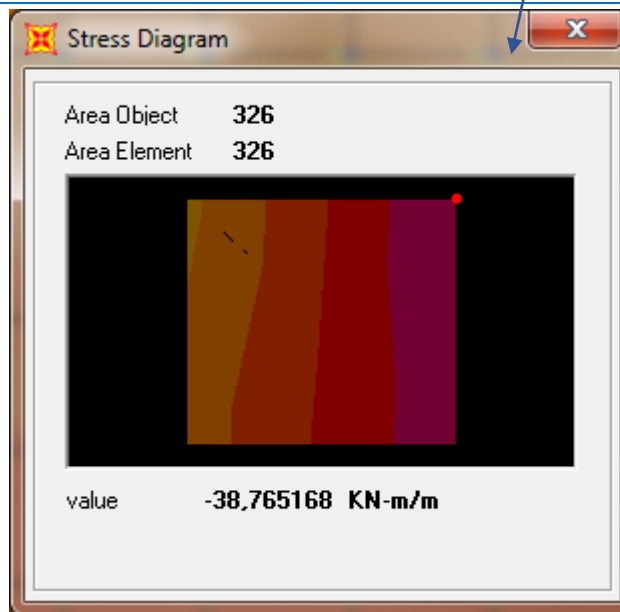
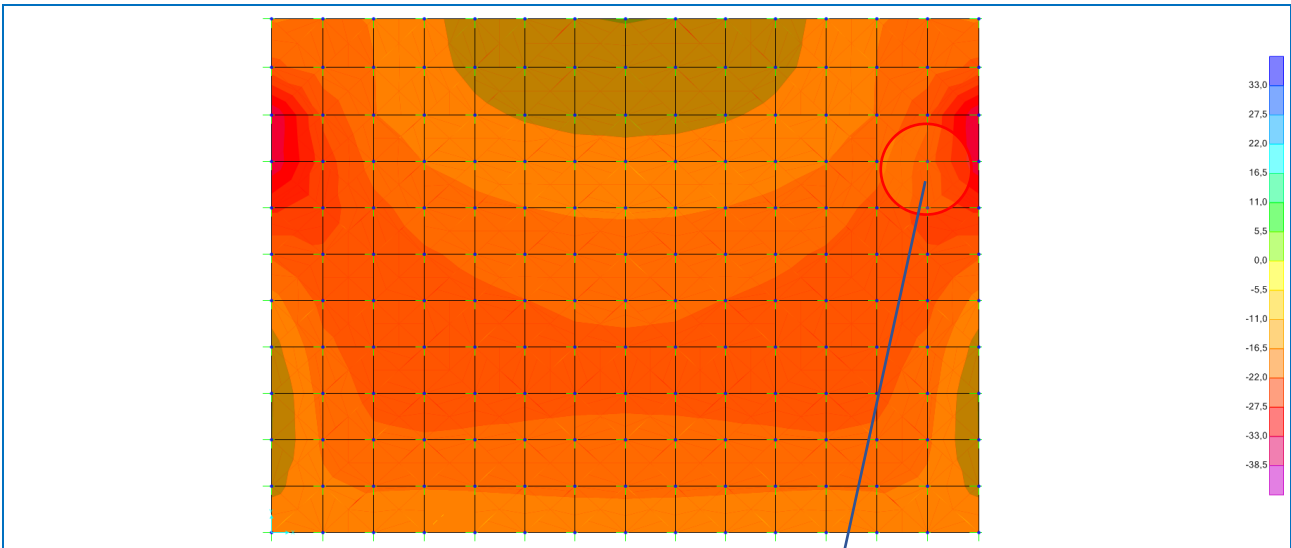
L'armatura a taglio è costituita da Ø12/40x20. Il copriferro netto minimo è assunto pari a 40 mm.



## 16.2 VERIFICA ALLO STATO LIMITE DI LIMITAZIONE DELLE TENSIONI

### 16.2.1 COMBINAZIONE QUASI PERMANENTE – DIREZIONE TRASVERSALE

Nell'immagine successiva è riportato l'andamento del momento flettente trasversale e l'individuazione dell'elemento maggiormente sollecitato per la combinazione allo Stato Limite di Esercizio – Quasi Permanente:



Il momento flettente di calcolo è assunto pari a  $M_{Sd} = -38,76$  kNm.

The screenshot shows the 'Verifica C.A. S.L.U.' software interface. Key sections include:

- Titolo:** Empty field.
- N° strati barre:** 2 (Zoom).
- Table 1:**

N°	b [cm]	h [cm]
1	100	40
- Table 2:**

N°	As [cm²]	d [cm]
1	10,05	6
2	10,05	34
- Sollecitazioni:**
  - S.L.U. / Metodo n
  - N<sub>Ed</sub>: 0 kN
  - M<sub>Ed</sub>: -38,76 kNm
  - M<sub>yEd</sub>: 0
- P.to applicazione N:**
  - Centro (selected)
  - Baricentro cls
  - Coord.[cm]: xN=0, yN=0
- Metodo di calcolo:** S.L.U. - (selected), Metodo n
- Materiali:**
  - B450C / C25/30
  - ε<sub>su</sub>: 67,5 ‰; ε<sub>c2</sub>: 2 ‰
  - f<sub>yd</sub>: 391,3 N/mm²; ε<sub>cu</sub>: 3,5 ‰
  - E<sub>s</sub>: 200.000 N/mm²; f<sub>cd</sub>: 14,17
  - E<sub>s</sub>/E<sub>c</sub>: 15; f<sub>cc</sub>/f<sub>cd</sub>: 0,8
  - ε<sub>syd</sub>: 1,957 ‰; σ<sub>c,adm</sub>: 9,75
  - σ<sub>s,adm</sub>: 255 N/mm²; τ<sub>co</sub>: 0,6
  - τ<sub>c1</sub>: 1,829
- Results:**
  - σ<sub>c</sub>: -2,718 N/mm²
  - σ<sub>s</sub>: 124,8 N/mm²
  - ε<sub>s</sub>: 0,6238 ‰
  - d: 34 cm
  - x: 8,373; x/d: 0,2463
  - δ: 0,7478
- Buttons:** Verifica, N° iterazioni: 4, Precompresso (unchecked).

Le tensioni sui materiali risultano pari a:

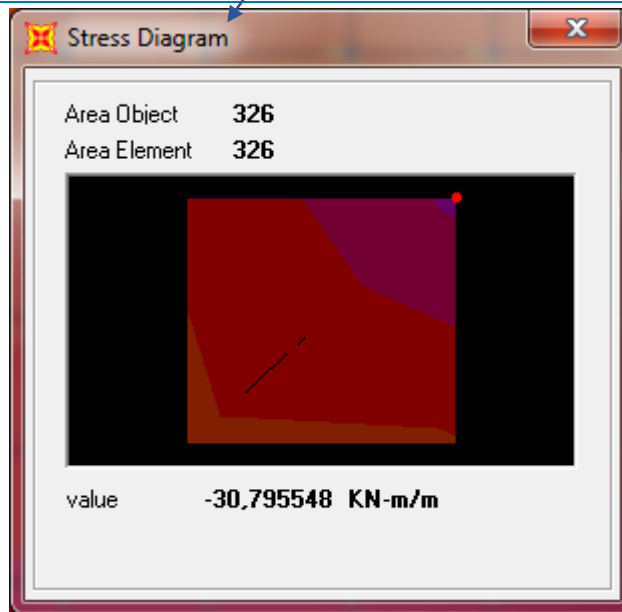
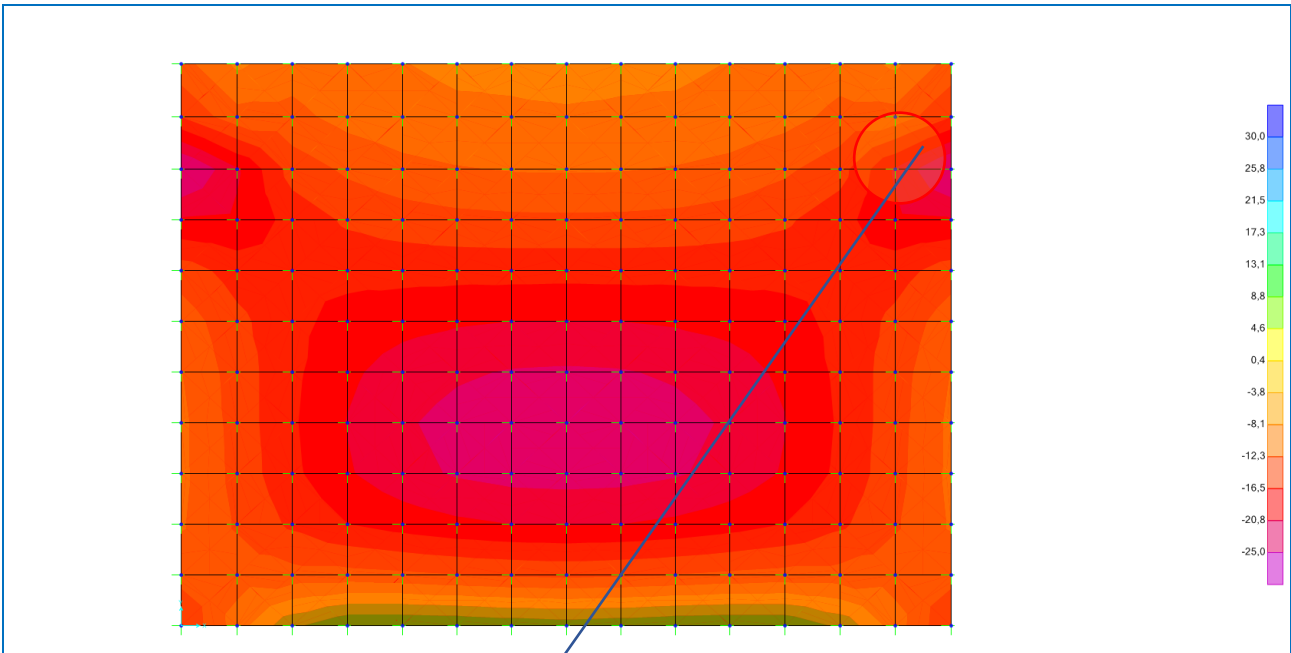
$$\sigma_c = 2,72 \text{ N/mm}^2 < 0,45 f_{ck} = 13,07 \text{ N/mm}^2$$

$$\sigma_s = 124,80 \text{ N/mm}^2 < 0,80 f_{yk} = 360,00 \text{ N/mm}^2$$

La verifica risulta pertanto soddisfatta.

### 16.2.2 COMBINAZIONE QUASI PERMANENTE – DIREZIONE LONGITUDINALE

Nell'immagine successiva è riportato l'andamento del momento flettente longitudinale per la combinazione allo Stato Limite di Esercizio – Quasi Permanente:



Il momento flettente di calcolo è assunto pari a  $M_{Sd} = -30,79$  kNm.

The screenshot shows the 'Verifica C.A. S.L.U.' software interface. Key sections include:

- Materiali:** B450C and C25/30. Properties for B450C:  $\epsilon_{su} = 67,5$ ‰,  $f_{yd} = 391,3$  N/mm<sup>2</sup>,  $E_s = 200.000$  N/mm<sup>2</sup>,  $E_s/E_c = 15$ ,  $\epsilon_{syd} = 1,957$ ‰,  $\sigma_{s,adm} = 255$  N/mm<sup>2</sup>. Properties for C25/30:  $\epsilon_{c2} = 2$ ‰,  $\epsilon_{cu} = 3,5$ ‰,  $f_{cd} = 14,17$  N/mm<sup>2</sup>,  $f_{cc}/f_{cd} = 0,8$ ,  $\sigma_{c,adm} = 9,75$  N/mm<sup>2</sup>,  $\tau_{co} = 0,6$ ,  $\tau_{c1} = 1,829$  N/mm<sup>2</sup>.
- P.to applicazione N:** Centro,  $xN = 0$ ,  $yN = 0$ .
- Metodo di calcolo:** S.L.U. - Metodo n.
- Results:**  $\sigma_c = -2,75$  N/mm<sup>2</sup>,  $\sigma_s = 170,2$  N/mm<sup>2</sup>,  $\epsilon_s = 0,8508$ ‰,  $d = 34,4$  cm,  $x = 6,712$ ,  $x/d = 0,1951$ ,  $\delta = 0,7$ .
- Iterations:** N° iterazioni: 5.
- Buttons:** Verifica, Precompresso.

Le tensioni sui materiali risultano pari a:

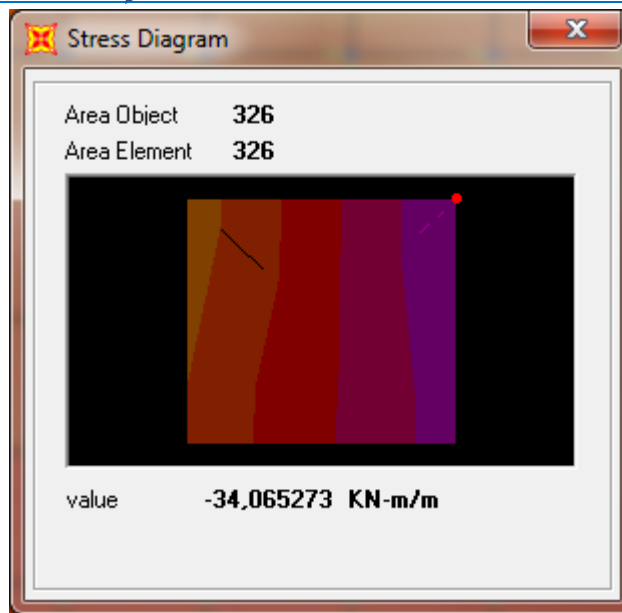
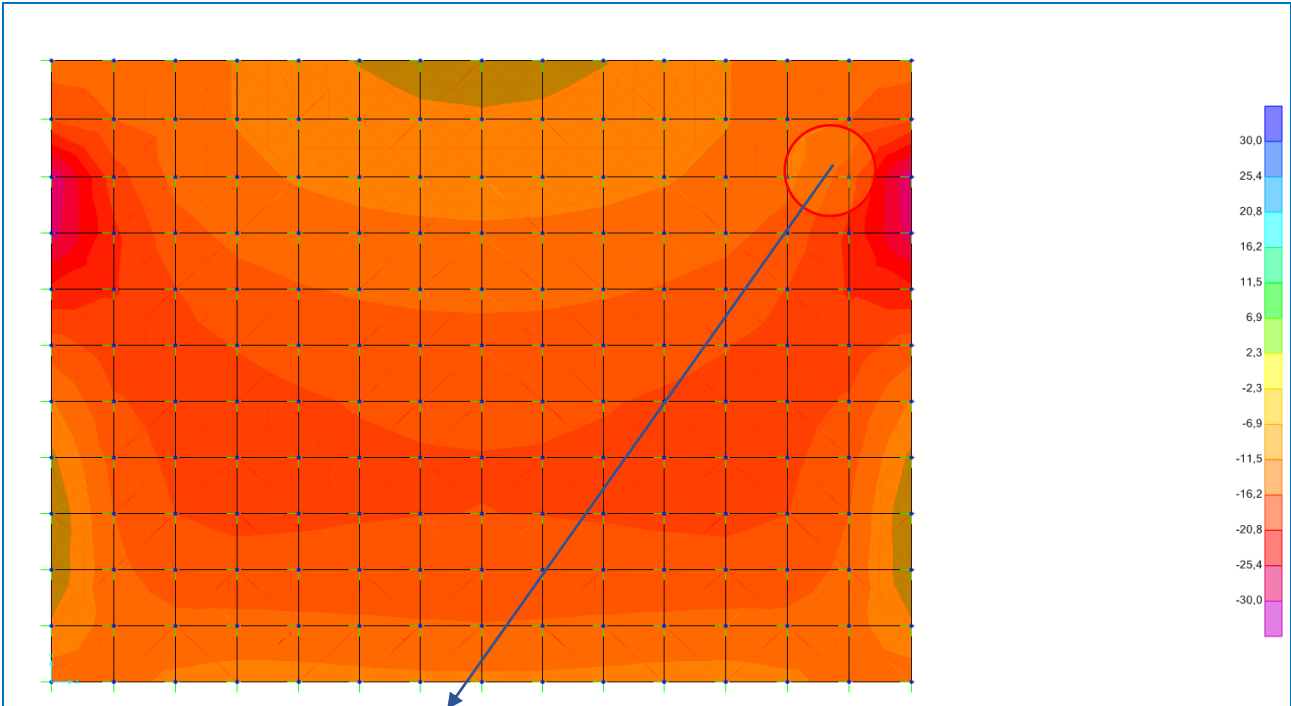
$$\sigma_c = 2,75 \text{ N/mm}^2 < 0,45 f_{ck} = 13,07 \text{ N/mm}^2$$

$$\sigma_s = 170,20 \text{ N/mm}^2 < 0,80 f_{yk} = 360,00 \text{ N/mm}^2$$

La verifica risulta pertanto soddisfatta.

### 16.2.3 COMBINAZIONE FREQUENTE – DIREZIONE TRASVERSALE

Nell'immagine successiva è riportato l'andamento del momento flettente trasversale e l'individuazione dell'elemento maggiormente sollecitato per la combinazione allo Stato Limite di Esercizio – Frequente:



Il momento flettente di calcolo è assunto pari a  $M_{Sd} = -34,06$  kNm.

**Verifica C.A. S.L.U. - File:**

File Materiali Opzioni Visualizza Progetto Sez. Rett. Sismica Normativa: NTC 2008 ?

Titolo : \_\_\_\_\_

N° strati barre 2 Zoom

N°	b [cm]	h [cm]
1	100	40

N°	As [cm²]	d [cm]
1	10,05	6
2	10,05	34

Tipo Sezione  
 Rettan.re  Trapezi  
 a T  Circolare  
 Rettangoli  Coord.

Sollecitazioni  
 S.L.U. Metodo n

N	Ed	Ed
0	0	0
M	0	-34,06
M	0	0

P.to applicazione N  
 Centro  Baricentro cls  
 Coord.[cm] xN 0 yN 0

Metodo di calcolo  
 S.L.U.+  S.L.U.-  
 Metodo n

Materiali  
 B450C C25/30

Materiali	Valori
$\epsilon_{su}$	67,5 ‰
$\epsilon_{c2}$	2 ‰
$f_{yd}$	391,3 N/mm²
$\epsilon_{cu}$	3,5 ‰
$E_s$	200.000 N/mm²
$f_{cd}$	14,17
$E_s/E_c$	15
$f_{cc}/f_{cd}$	0,8
$\epsilon_{syd}$	1,957 ‰
$\sigma_{c,adm}$	9,75
$\sigma_{s,adm}$	255 N/mm²
$\tau_{co}$	0,6
$\tau_{c1}$	1,829

$\sigma_c$  -2,388 N/mm²  
 $\sigma_s$  109,6 N/mm²  
 $\epsilon_s$  0,5482 ‰  
 d 34 cm  
 $x$  8,373  $x/d$  0,2463  
 $\delta$  0,7478

Verifica N° iterazioni: 4

Precompresso

Le tensioni sui materiali risultano pari a:

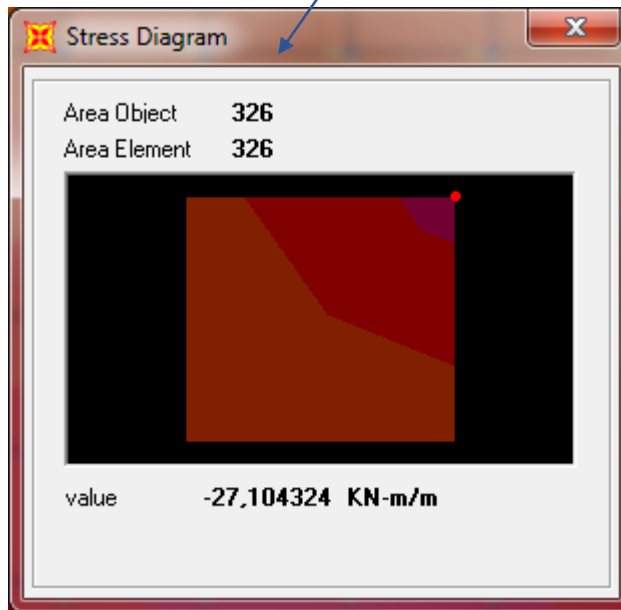
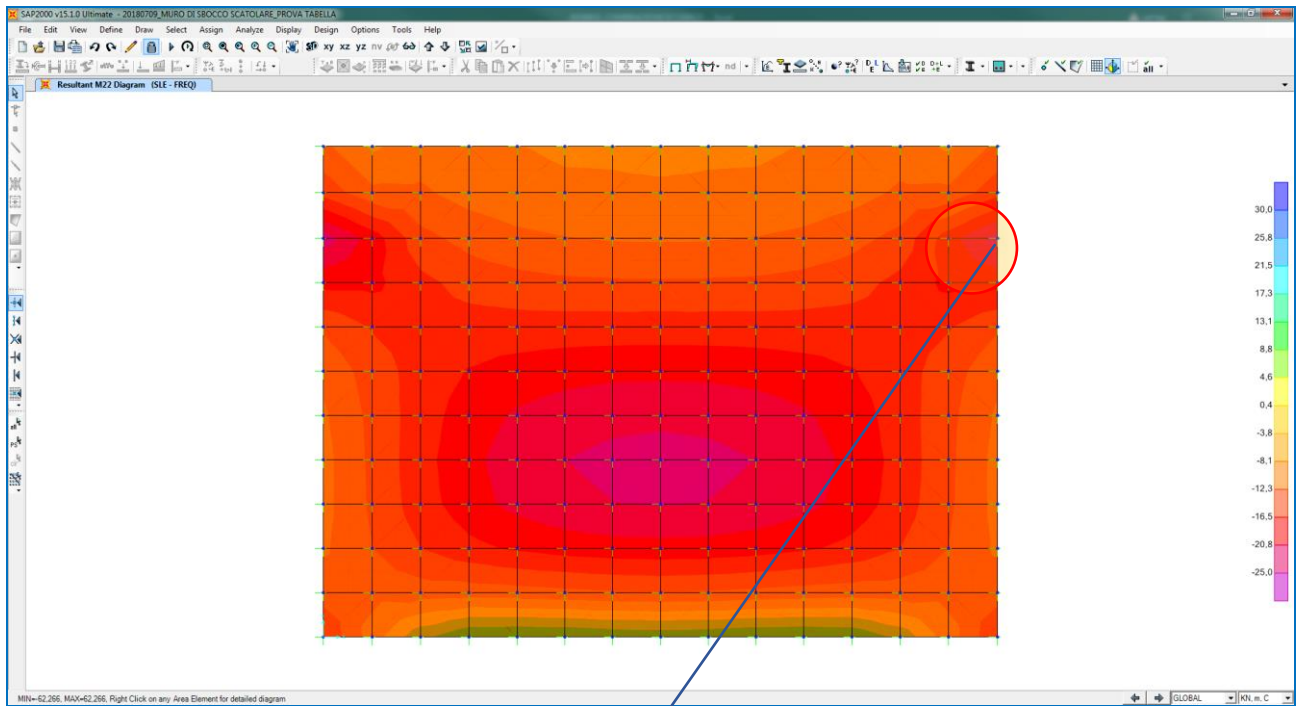
$$\sigma_c = 2,38 \text{ N/mm}^2 < 0,45 f_{ck} = 13,07 \text{ N/mm}^2$$

$$\sigma_s = 109,60 \text{ N/mm}^2 < 0,80 f_{yk} = 360,00 \text{ N/mm}^2$$

La verifica risulta pertanto soddisfatta.

### 16.2.4 COMBINAZIONE FREQUENTE – DIREZIONE LONGITUDINALE

Nell'immagine successiva è riportato l'andamento del momento flettente longitudinale per la combinazione allo Stato Limite di Esercizio – Quasi Permanente:



Il momento flettente di calcolo è assunto pari a  $M_{Sd} = -27,10$  kNm.

The screenshot shows the 'Verifica C.A. S.L.U.' software interface. Key sections include:

- Materials:** B450C and C25/30. Properties for B450C:  $\epsilon_{su} = 67,5$ ‰,  $f_{yd} = 391,3$  N/mm<sup>2</sup>,  $E_s = 200.000$  N/mm<sup>2</sup>,  $E_s/E_c = 15$ ,  $\epsilon_{syd} = 1,957$ ‰,  $\sigma_{s,adm} = 255$  N/mm<sup>2</sup>. Properties for C25/30:  $\epsilon_{c2} = 2$ ‰,  $\epsilon_{cu} = 3,5$ ‰,  $f_{cd} = 14,17$  N/mm<sup>2</sup>,  $f_{cc}/f_{cd} = 0,8$ ,  $\sigma_{c,adm} = 9,75$  N/mm<sup>2</sup>,  $\tau_{co} = 0,6$ ,  $\tau_{c1} = 1,829$  N/mm<sup>2</sup>.
- Load Application:**  $M_{Ed} = 0$  kNm,  $M_{yEd} = 0$  kNm,  $M_{xEd} = -27,10$  kNm.
- Calculation Results:**  $\sigma_c = -2,42$  N/mm<sup>2</sup>,  $\sigma_s = 149,8$  N/mm<sup>2</sup>,  $\epsilon_s = 0,7488$ ‰,  $d = 34,4$  cm,  $x = 6,712$  cm,  $x/d = 0,1951$ ,  $\delta = 0,7$ .
- Verification:** 'Verifica' button, 'N° iterazioni: 5', and 'Precompresso' checkbox.

Le tensioni sui materiali risultano pari a:

$$\sigma_c = 2,42 \text{ N/mm}^2 < 0,45 f_{ck} = 13,07 \text{ N/mm}^2$$

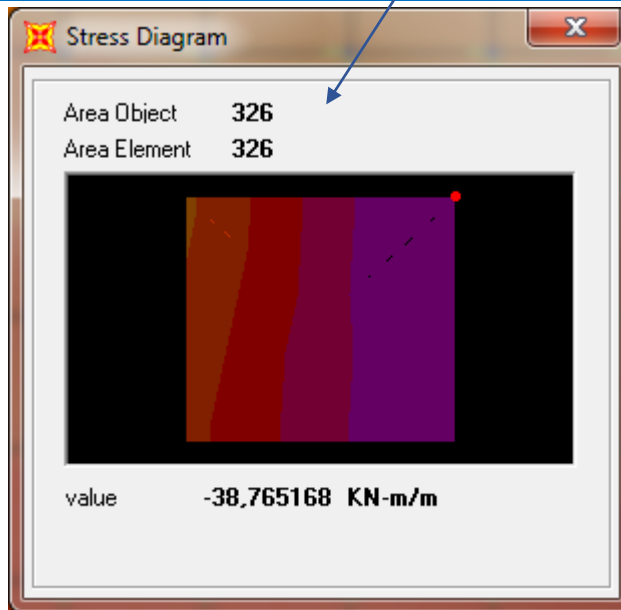
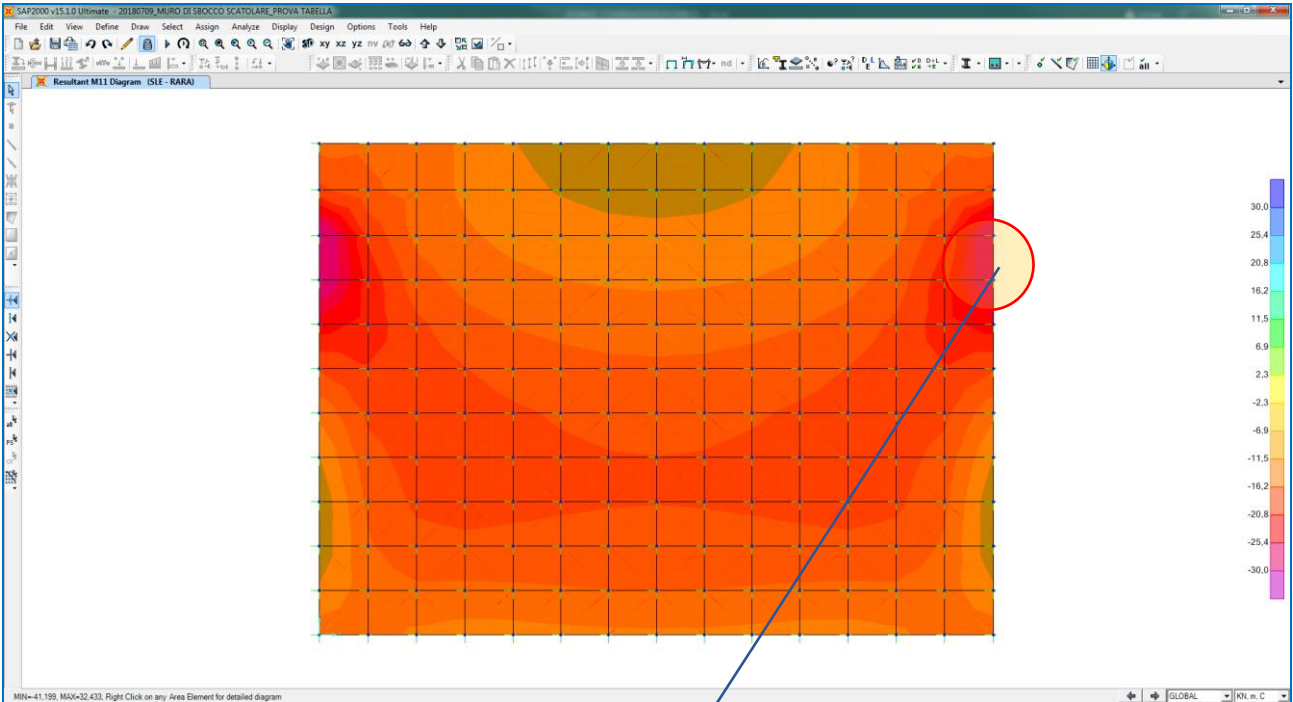
$$\sigma_s = 149,80 \text{ N/mm}^2 < 0,80 f_{yk} = 360,00 \text{ N/mm}^2$$

La verifica risulta pertanto soddisfatta.



### 16.2.5 COMBINAZIONE RARA – DIREZIONE TRASVERSALE

Nell'immagine successiva è riportato l'andamento del momento flettente trasversale e l'individuazione dell'elemento maggiormente sollecitato per la combinazione allo Stato Limite di Esercizio – Rara:



Il momento flettente di calcolo è assunto pari a  $M_{Sd} = -117,11$  kNm.

**Verifica C.A. S.L.U. - File**

File Materiali Opzioni Visualizza Progetto Sez. Rett. Sismica Normativa: NTC 2008 ?

Titolo : \_\_\_\_\_

N° strati barre 2 Zoom

N°	b [cm]	h [cm]	N°	As [cm²]	d [cm]
1	100	50	1	22,62	6,8
			2	22,62	43,2

Tipo Sezione  
 Rettan.re  Trapezi  
 a T  Circolare  
 Rettangoli  Coord.

Sollecitazioni  
 S.L.U. Metodo n

N<sub>Ed</sub> 0 kN  
 M<sub>xEd</sub> 0 -117,11 kNm  
 M<sub>yEd</sub> 0

P.to applicazione N  
 Centro  Baricentro cls  
 Coord.[cm] xN 0 yN 0

Metodo di calcolo  
 S.L.U.+  S.L.U.-  
 Metodo n

**Materiali**

B450C		C28/35	
$\epsilon_{su}$	67,5 ‰	$\epsilon_{c2}$	2 ‰
$f_{yd}$	391,3 N/mm <sup>2</sup>	$\epsilon_{cu}$	3,5 ‰
$E_s$	200.000 N/mm <sup>2</sup>	$f_{cd}$	14,93
$E_s/E_c$	15	$f_{cc}/f_{cd}$	0,8
$\epsilon_{syd}$	1,957 ‰	$\sigma_{c,adm}$	11
$\sigma_{s,adm}$	255 N/mm <sup>2</sup>	$\tau_{co}$	0,6667
		$\tau_{c1}$	1,971

$\sigma_c$  -3,802 N/mm<sup>2</sup>  
 $\sigma_s$  134,8 N/mm<sup>2</sup>

Verifica  
 N° iterazioni: 4  
 Precompresso

$\epsilon_s$  0,6738 ‰  
 d 43,2 cm  
 x 12,84 x/d 0,2973  
 $\delta$  0,8117

Le tensioni sui materiali risultano pari a:

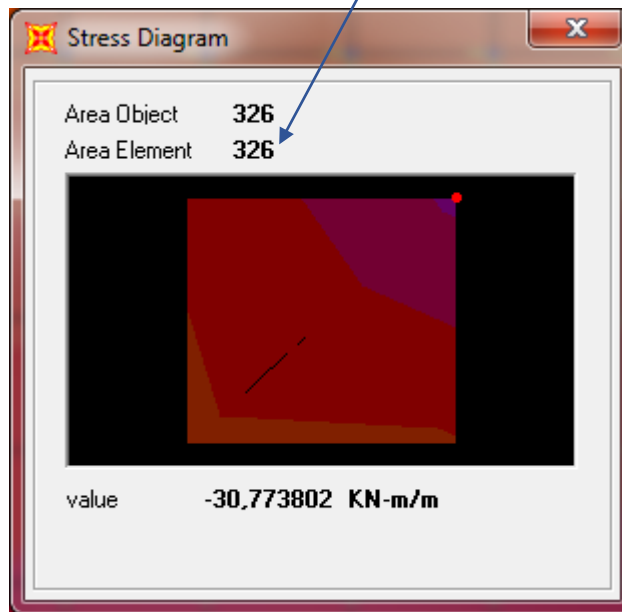
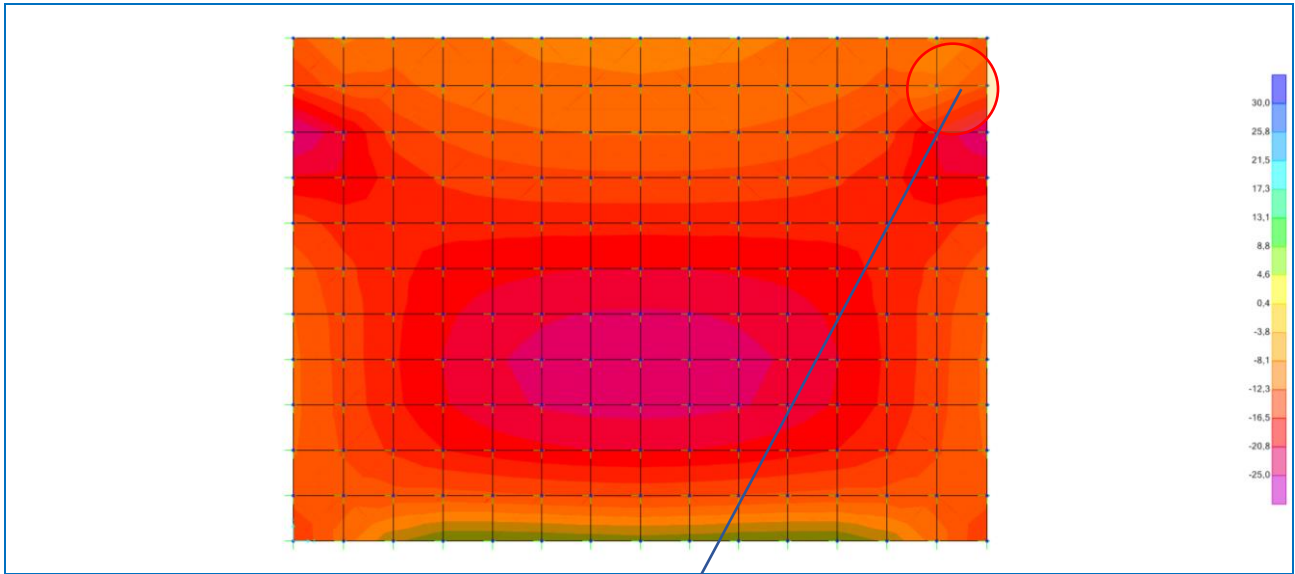
$$\sigma_c = 3,80 \text{ N/mm}^2 < 0,45 f_{ck} = 13,07 \text{ N/mm}^2$$

$$\sigma_s = 134,80 \text{ N/mm}^2 < 0,80 f_{yk} = 360,00 \text{ N/mm}^2$$

La verifica risulta pertanto soddisfatta.

### 16.2.6 COMBINAZIONE RARA – DIREZIONE LONGITUDINALE

Nell'immagine successiva è riportato l'andamento del momento flettente longitudinale per la combinazione allo Stato Limite di Esercizio – Quasi Permanente:



Il momento flettente di calcolo è assunto pari a  $M_{Sd} = -38,76$  kNm.

The screenshot shows the 'Verifica C.A. S.L.U.' software interface. Key parameters and results are as follows:

- Section Properties:**
  - Rectangular section (Rettan.re)
  - Width (b): 100 cm, Height (h): 40 cm
  - Number of bars (N\* strati barre): 2
  - Bar properties:
 

N*	As [cm²]	d [cm]
1	10,05	6
2	10,05	34
- Applied Forces (P.to applicazione N):**
  - Method: Centro
  - Applied Moment (M<sub>Ed</sub>): -38,76 kNm
- Materials:**
  - Concrete: C25/30
    - $\epsilon_{su}$ : 67,5 ‰
    - $\epsilon_{c2}$ : 2 ‰
    - $f_{yd}$ : 391,3 N/mm²
    - $\epsilon_{cu}$ : 3,5 ‰
    - $E_s$ : 200.000 N/mm²
    - $f_{cd}$ : 14,17 N/mm²
    - $E_s/E_c$ : 15
    - $f_{cc}/f_{cd}$ : 0,8
    - $\epsilon_{syd}$ : 1,957 ‰
    - $\sigma_{c,adm}$ : 9,75 N/mm²
    - $\sigma_{s,adm}$ : 255 N/mm²
    - $\tau_{co}$ : 0,6
    - $\tau_{c1}$ : 1,829
  - Steel: B450C
    - $\sigma_c$ : -2,718 N/mm²
    - $\sigma_s$ : 124,8 N/mm²
    - $\epsilon_s$ : 0,6238 ‰
    - d: 34 cm
    - x: 8,373
    - x/d: 0,2463
    - $\delta$ : 0,7478
- Calculation Method:** Metodo n
- Iterations:** 4
- Precompressed:** No

Le tensioni sui materiali risultano pari a:

$$\sigma_c = 2,72 \text{ N/mm}^2 < 0,45 f_{ck} = 13,07 \text{ N/mm}^2$$

$$\sigma_s = 124,80 \text{ N/mm}^2 < 0,80 f_{yk} = 360,00 \text{ N/mm}^2$$

La verifica risulta pertanto soddisfatta.

### 16.3 VERIFICA ALLO STATO LIMITE DI FESSURAZIONE – DIREZIONE TRASVERSALE

La verifica semplificata allo SL di fessurazione viene condotta secondo quanto previsto dalla Circolare C.S.LL.PP. n.617 del 02.02.2009, par. C4.1.2.2.4.6, tab. C4.1.II e C4.1.III.

TABELLA C4.1.II - Diametri massimi delle barre per il controllo di fessurazione			
Tensione nell'acciaio $\sigma_s$ [N/mm <sup>2</sup> ]	Diametro massimo $\varnothing$ delle barre [mm]		
	$w_3 = 0,40$ mm	$w_2 = 0,30$ mm	$w_1 = 0,20$ mm
160	40	32	25
200	32	25	16
240	20	16	12
280	16	12	8
320	12	10	6
360	10	8	0

TABELLA C4.1.III - Spaziatura massima delle barre per il controllo di fessurazione			
Tensione nell'acciaio $\sigma_s$ [N/mm <sup>2</sup> ]	Spaziatura massima s delle barre delle barre [mm]		
	$w_3 = 0,40$ mm	$w_2 = 0,30$ mm	$w_1 = 0,20$ mm
160	300	300	200
200	300	250	150
240	250	200	100
280	200	150	50
320	150	100	0
360	100	50	0

#### CRITERI DI SCELTA DELLO STATO LIMITE DI FESSURAZIONE

I criteri di scelta dello Stato Limite di fessurazione sono definiti secondo quanto riportato dal D.M. 14.01.2008, par. 4.1.2.2.4.5, tab. 4.1.IV.

Condizioni ambientali:  Armatura:

#### COMBINAZIONE ALLO S.L.E. QUASI PERMANENTE

Stato limite:		apertura fessure	
Ampiezza massima delle fessure:	$w_d \leq$	w1	
Tensione massima nell'acciaio calcolata:	$\sigma_{s,max}$	124,80	[N/mm <sup>2</sup> ]
Diametro massimo delle barre di armature poste in opera:	$\varnothing_{max}$	16	[mm]
Spaziatura massima delle barre di armatura poste in opera:	$s_{max}$	200,00	[mm]
Diametro massimo delle barre di armatura consentito:	$\varnothing_{max}$	25,00	[mm]
Spaziatura massima delle barre di armatura consentita:	$s_{max}$	200,00	[mm]

#### VERIFICA POSITIVA

#### COMBINAZIONE ALLO S.L.E. FREQUENTE

Stato limite:		apertura fessure	
Ampiezza massima delle fessure:	$w_d \leq$	w2	
Tensione massima nell'acciaio calcolata:	$\sigma_{s,max}$	109,60	[N/mm <sup>2</sup> ]
Diametro massimo delle barre di armature poste in opera:	$\varnothing_{max}$	16	[mm]
Spaziatura massima delle barre di armatura poste in opera:	$s_{max}$	200,00	[mm]
Diametro massimo delle barre di armatura consentito:	$\varnothing_{max}$	32,00	[mm]
Spaziatura massima delle barre di armatura consentita:	$s_{max}$	300,00	[mm]

#### VERIFICA POSITIVA

### 16.3.1 VERIFICA ALLO STATO LIMITE DI FESSURAZIONE – DIREZIONE LONGITUDINALE

Per la verifica allo Stato Limite di fessurazione è stata utilizzata la procedura semplificata prevista dalla Circolare C.S.LL.PP. n.617 del 02.02.2009 – par. C4.1.2.2.4.6 – Tab. C4.1.II e C4.1.III.

Le condizioni considerate sono riportate nella tabella seguente.

La verifica semplificata allo SL di fessurazione viene condotta secondo quanto previsto dalla Circolare C.S.LL.PP. n.617 del 02.02.2009, par. C4.1.2.2.4.6, tab. C4.1.II e C4.1.III.

TABELLA C4.1.II - Diametri massimi delle barre per il controllo di fessurazione			
Tensione nell'acciaio $\sigma_s$ [N/mm <sup>2</sup> ]	Diametro massimo $\varnothing$ delle barre [mm]		
	$w_3 = 0,40$ mm	$w_2 = 0,30$ mm	$w_1 = 0,20$ mm
160	40	32	25
200	32	25	16
240	20	16	12
280	16	12	8
320	12	10	6
360	10	8	0

TABELLA C4.1.III - Spaziatura massima delle barre per il controllo di fessurazione			
Tensione nell'acciaio $\sigma_s$ [N/mm <sup>2</sup> ]	Spaziatura massima s delle barre delle barre [mm]		
	$w_3 = 0,40$ mm	$w_2 = 0,30$ mm	$w_1 = 0,20$ mm
160	300	300	200
200	300	250	150
240	250	200	100
280	200	150	50
320	150	100	0
360	100	50	0

#### CRITERI DI SCELTA DELLO STATO LIMITE DI FESSURAZIONE

I criteri di scelta dello Stato Limite di fessurazione sono definiti secondo quanto riportato dal D.M. 14.01.2008, par. 4.1.2.2.4.5, tab. 4.1.IV.

Condizioni ambientali:  Armatura:

#### COMBINAZIONE ALLO S.L.E. QUASI PERMANENTE

Stato limite:		apertura fessure	
Ampiezza massima delle fessure:	$w_d \leq$	w1	
Tensione massima nell'acciaio calcolata:	$\sigma_{s,max}$	170,20	[N/mm <sup>2</sup> ]
Diametro massimo delle barre di armature poste in opera:	$\varnothing_{max}$	12	[mm]
Spaziatura massima delle barre di armatura poste in opera:	$s_{max}$	200,00	[mm]
Diametro massimo delle barre di armatura consentito:	$\varnothing_{max}$	16,00	[mm]
Spaziatura massima delle barre di armatura consentita:	$s_{max}$	150,00	[mm]

#### VERIFICA NEGATIVA - PROCEDERE CON LA VERIFICA ANALITICA

#### COMBINAZIONE ALLO S.L.E. FREQUENTE

Stato limite:		apertura fessure	
Ampiezza massima delle fessure:	$w_d \leq$	w2	
Tensione massima nell'acciaio calcolata:	$\sigma_{s,max}$	149,80	[N/mm <sup>2</sup> ]
Diametro massimo delle barre di armature poste in opera:	$\varnothing_{max}$	12	[mm]
Spaziatura massima delle barre di armatura poste in opera:	$s_{max}$	200,00	[mm]
Diametro massimo delle barre di armatura consentito:	$\varnothing_{max}$	32,00	[mm]
Spaziatura massima delle barre di armatura consentita:	$s_{max}$	300,00	[mm]

#### VERIFICA POSITIVA

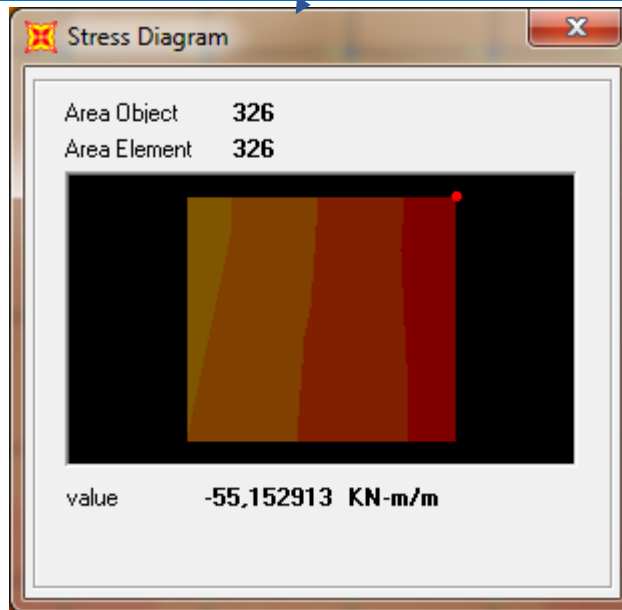
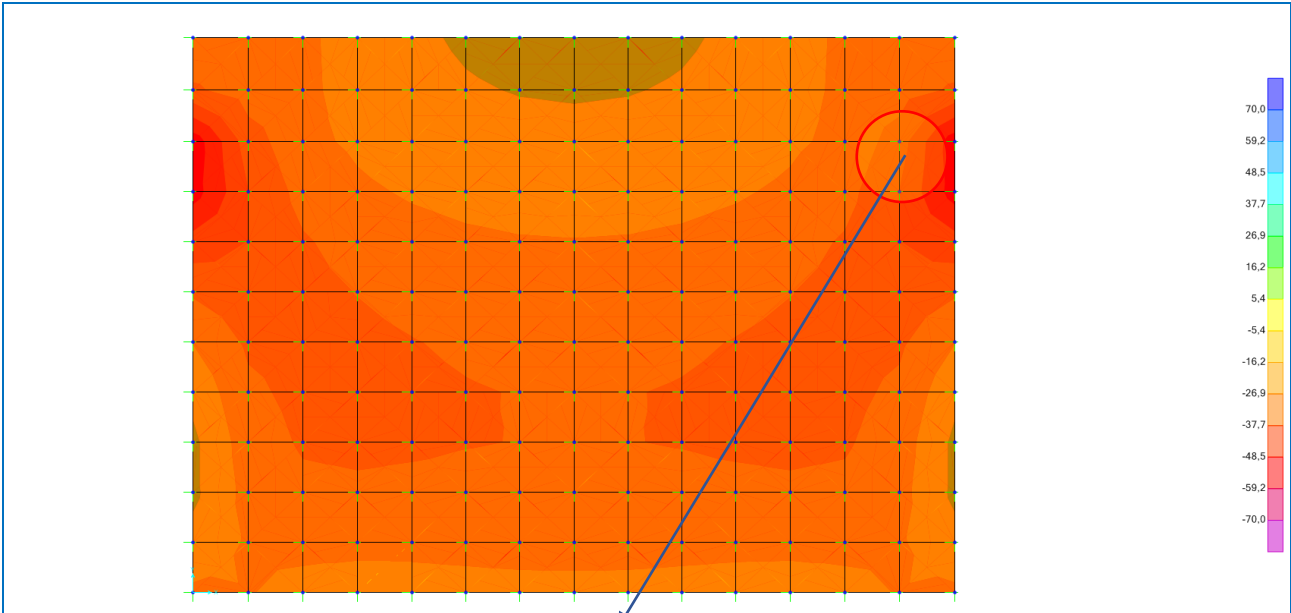
### 16.3.2 VERIFICA ALLO STATO LIMITE DI FESSURAZIONE – DIREZIONE LONGITUDINALE

### 16.3.3 COMBINAZIONE QUASI PERMANENTE

VERIFICA ALLO STATO LIMITE DI APERTURA DELLE FESSURE										
H	40	cm	Armatura tesa nell'area di cls efficace:				Armatura compressa:			
b	100	cm	$A_s$	5,65	cm <sup>2</sup>	$A_s'$	5,65	cm <sup>2</sup>		
			$y_{G A_s} (*)$	5,60	cm	(*) da lembo teso	$y_{G A_s'} (*)$	34,40	cm	
$c_{f\text{effettivo}}$	4	cm	x (cm) (*)	$n_{ferri}$	$\Phi$ (mm)	x (cm) (*)	$n_{ferri}$	$\Phi$ (mm)		
$c_{f\text{norma}}$	4	cm	5,6	5	12	34,4	5	12		
d	34,40	cm								
$R_{ck}$	30	MPa								
$f_{ctm}$	2,61	MPa								
$f_{ctk}$	1,82	MPa								
$E_s$	210000	MPa								
n	15		$\Phi_{\text{medio}}$	12	mm	$\Phi_{\text{staffe}}$	10	mm		
<b>Sezione interam. reagente</b>										
$y_G$	20,00	cm								
$A_{ideale}$	4170	cm <sup>2</sup>								
$I_{ideale}$	568511	cm <sup>4</sup>								
<b>Fessurazione indotta da:</b>										
carichi										
<b>Caratteristiche ambiente:</b>										
molto o moderatamente aggressivo										
$\beta_1$	1									
$\beta_2$	0,5									
$k_1$	0,8									
$k_2$	0,5									
k	-									
$h_{A\text{ cls eff}}$	14,00	cm								
$A_{\text{cls eff}}$	1400,00	cm <sup>2</sup>								
$\rho_r$	0,0040									
$\sigma_s$	170,01	MPa								
$\sigma_{sr}$	409,15	MPa								
$\epsilon_{sm}$	0									
$s_{rm}$	347,1	mm								
$w_m$	0,000	mm								
$\beta$	1,7									
$\chi$	1									
$w_k$	0,000	mm								
$w_k\text{ limite}$	0,1	mm								
$w_k$	<	$w_k\text{ limite}$								
<b>Calcolo delle tensioni nella sezione fessurata</b>										
N	0	kN	carico assiale agente							
M	30,79	kN m	momento agente							
e	$\infty$	cm	eccentricità <b>GRANDE ECCENTRICITÀ</b>							
$e_n$	6,82	cm	estremità nocciolo d'inerzia							
$d_G$	20,00	cm	baricentro armature							
u	$\infty$	cm	distanza centro di pressione - lembo compresso							
p	$\infty$	cm <sup>2</sup>								
q	$\infty$	cm <sup>3</sup>								
$y_p$	0,00	cm	distanza asse neutro - centro di pressione							
$y_c$	6,71	cm	asse neutro							
$A^*$	841	cm <sup>2</sup>	area ideale							
$S_n^*$	0	cm <sup>3</sup>	momento statico relativo all'asse neutro							
$I_n^*$	75211,745	cm <sup>4</sup>	momento d'inerzia relativo all'asse neutro							
$\sigma_c$	2,75	MPa	massima tensione di compressione nel cls							
$\sigma_s$	170,01	MPa	tensione di trazione nell'acciaio							
<b>Calcolo delle tensioni nella condizione di carico di prima fessurazione</b>										
N	0	kN	carico assiale agente							
$M_F$	74	kN m	momento di prima fessurazione							
e	$\infty$		eccentricità <b>GRANDE ECCENTRICITÀ</b>							
u	$\infty$		distanza centro di pressione - lembo compresso							
p	$\infty$	cm <sup>2</sup>								
q	$\infty$	cm <sup>3</sup>								
$y_p$	0,00	cm	distanza asse neutro - centro di pressione							
$y_c$	6,71	cm	asse neutro							
$A^*$	841	cm <sup>2</sup>	area ideale							
$S_n^*$	0	cm <sup>3</sup>	momento statico relativo all'asse neutro							
$I_n^*$	75211,745	cm <sup>4</sup>	momento d'inerzia relativo all'asse neutro							
$\sigma_{cr}$	6,61	MPa	massima tensione di compressione nel cls							
$\sigma_{sr}$	409,15	MPa	tensione di trazione nell'acciaio							

### 16.4 VERIFICA ALLO STATO LIMITE ULTIMO PER PRESSOFLESSIONE – DIREZIONE TRASVERSALE

Nell'immagine successiva è riportato l'andamento del momento flettente trasversale e l'individuazione dell'elemento maggiormente sollecitato per la combinazione allo Stato Limite Ultimo - STR:





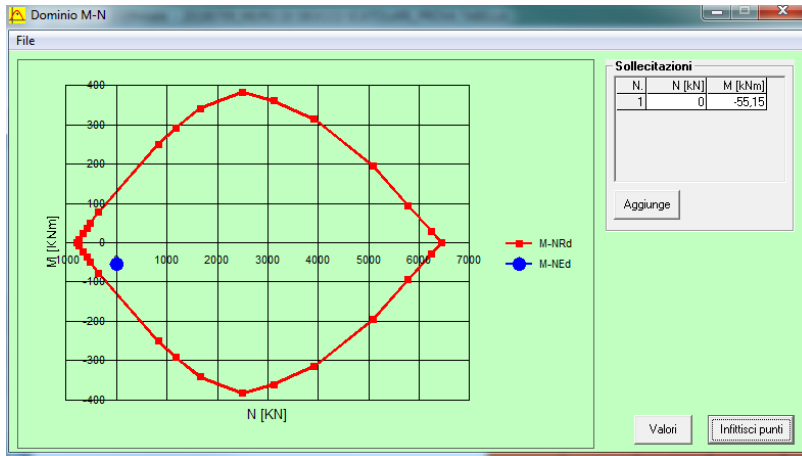
Il momento flettente di calcolo è assunto pari a  $M_{Sd} = -55,15 \text{ kNm}$ .

The screenshot shows the 'Verifica C.A. S.L.U.' software interface. Key parameters include:

- Section Properties:** N° strati barre = 2. Table with columns N°, b [cm], h [cm], N°, As [cm²], d [cm].
- Materials:** B450C and C25/30. Properties like  $\epsilon_{su}$ ,  $f_{yd}$ ,  $E_s$ ,  $\epsilon_{sc}$ ,  $f_{cd}$ ,  $\sigma_{c,adm}$ ,  $\tau_{co}$ ,  $\tau_{c1}$  are listed.
- Design Parameters:**  $M_{xRd} = -132,3 \text{ kNm}$ ,  $\sigma_c = -14,17 \text{ N/mm}^2$ ,  $\sigma_{sc} = 3,5 \text{ N/mm}^2$ ,  $\epsilon_{sc} = 20,98 \text{ ‰}$ ,  $d = 34 \text{ cm}$ ,  $x = 4,86$ ,  $x/d = 0,143$ ,  $\delta = 0,7$ .
- Calculation Method:** S.L.U. - Metodo n.
- Section Type:** Rettangoli.
- Applied Load:**  $M_{Ed} = -55,15 \text{ kNm}$ ,  $N_{Ed} = 0$ .

Il momento resistente risulta pari a:  
 $M_{Rd} = -132,30 \text{ kNm} > M_{Sd} = -55,154 \text{ kNm}$

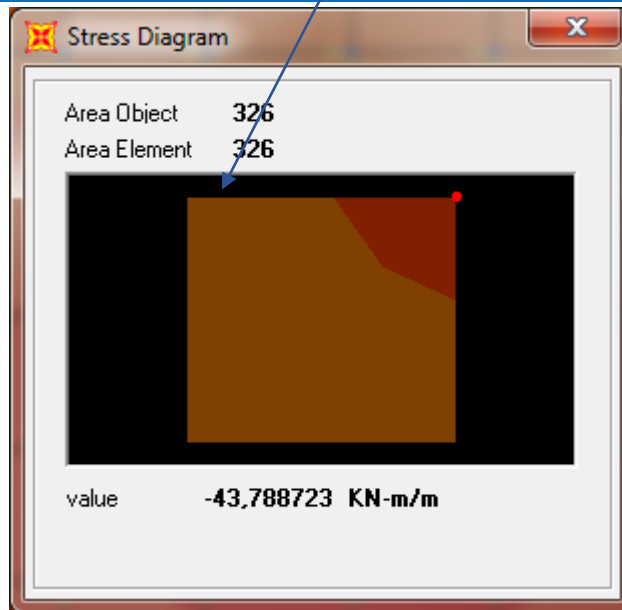
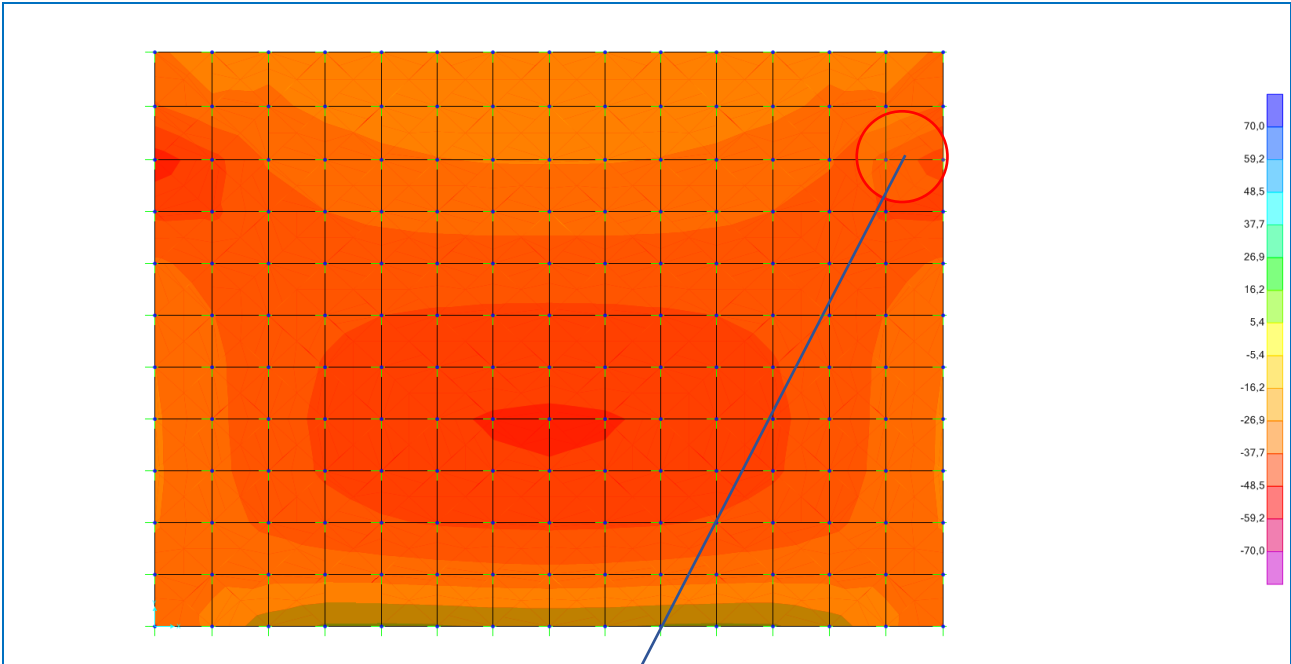
Nell'immagine successiva è riportato il dominio di resistenza della sezione:



La verifica risulta pertanto soddisfatta.

### 16.5 VERIFICA ALLO STATO LIMITE ULTIMO PER FLESSIONE – DIREZIONE ORIZZONTALE

Nell'immagine successiva è riportato l'andamento del momento flettente longitudinale e l'individuazione dell'elemento maggiormente sollecitato per la combinazione allo Stato Limite Ultimo - STR:



Il momento flettente di calcolo è assunto pari a  $M_{Sd} = -43,78$  kNm.

**Verifica C.A. S.L.U. - File:**

File Materiali Opzioni Visualizza Progetto Sez. Rett. Sismica Normativa: NTC 2008 ?

Titolo: \_\_\_\_\_

N° strati barre: 2 Zoom

N°	b [cm]	h [cm]	N°	As [cm²]	d [cm]
1	100	40	1	5,65	5,6
			2	10,05	34,4

**Sollecitazioni:**  
S.L.U. Metodo n

N<sub>Ed</sub> 0 kN  
M<sub>Ed</sub> -43,78 kNm  
M<sub>yEd</sub> 0 kNm

**P.to applicazione N:**  
Centro Baricentro cls  
Coord.[cm] xN 0 yN 0

Tipo rottura: Lato calcestruzzo - Acciaio snervato

**Materiali:**  
B450C C25/30

ε<sub>su</sub> 67,5 ‰ ε<sub>c2</sub> 2 ‰  
f<sub>yd</sub> 391,3 N/mm² ε<sub>cu</sub> 3,5 ‰  
E<sub>s</sub> 200.000 N/mm² f<sub>cd</sub> 14,17 ‰  
E<sub>s</sub>/E<sub>c</sub> 15 f<sub>cc</sub>/f<sub>cd</sub> 0,8  
ε<sub>syd</sub> 1,957 ‰ σ<sub>c,adm</sub> 9,75 ‰  
σ<sub>s,adm</sub> 255 N/mm² τ<sub>co</sub> 0,6  
τ<sub>c1</sub> 1,829

M<sub>xRd</sub> -82,04 kNm  
σ<sub>c</sub> -14,17 N/mm²  
σ<sub>s</sub> 391,3 N/mm²  
ε<sub>c</sub> 3,5 ‰  
ε<sub>s</sub> 25,71 ‰  
d 34,4 cm  
x 4,121 x/d 0,1198  
δ 0,7

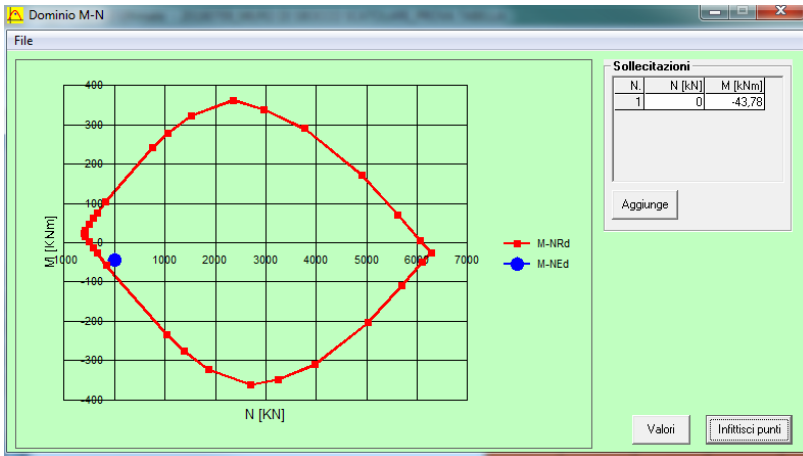
**Metodo di calcolo:**  
S.L.U. + S.L.U. - Metodo n

**Tipo flessione:**  
Retta Deviata

N° rett. 100  
Calcola MRd Dominio M-N  
L<sub>0</sub> 0 cm Col. modello  
 Precompresso

Il momento resistente risulta pari a:  
 $M_{Rd} = -82,04$  kNm >  $M_{Sd} = -43,78$  kNm

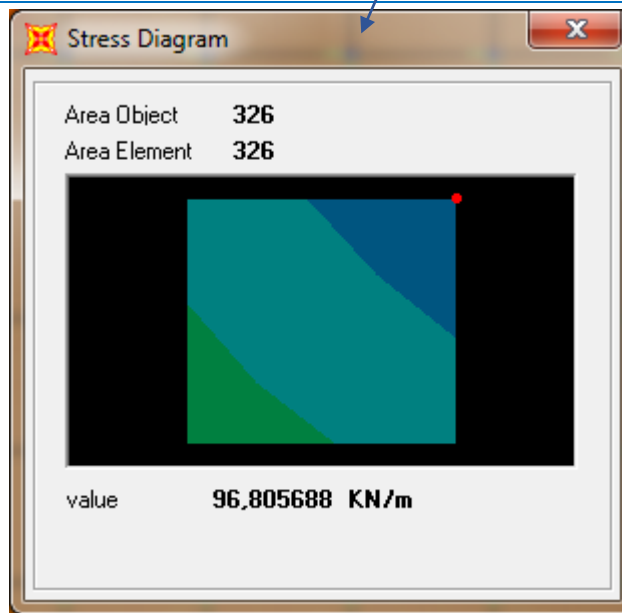
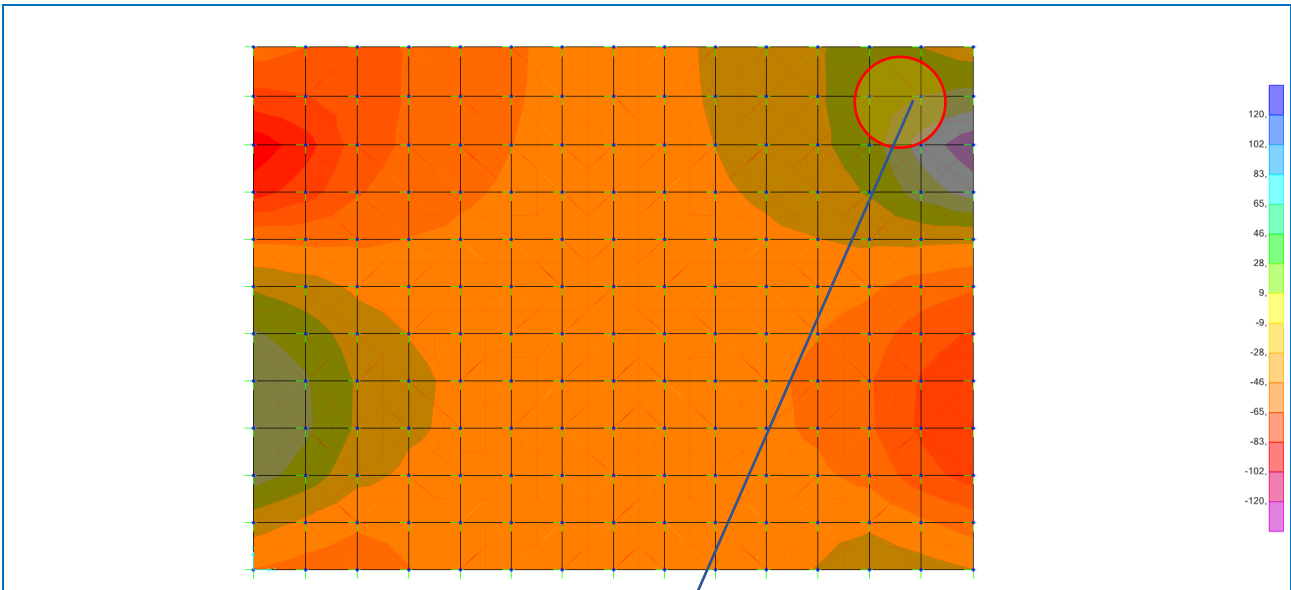
Nell'immagine successiva è riportato il dominio di resistenza della sezione:



La verifica risulta pertanto soddisfatta.

### 16.6 VERIFICA ALLO STATO LIMITE ULTIMO PER TAGLIO – DIREZIONE TRASVERSALE

Nell'immagine successiva è riportato l'andamento del taglio trasversale e l'individuazione dell'elemento maggiormente sollecitato per la combinazione allo Stato Limite Ultimo - STR:

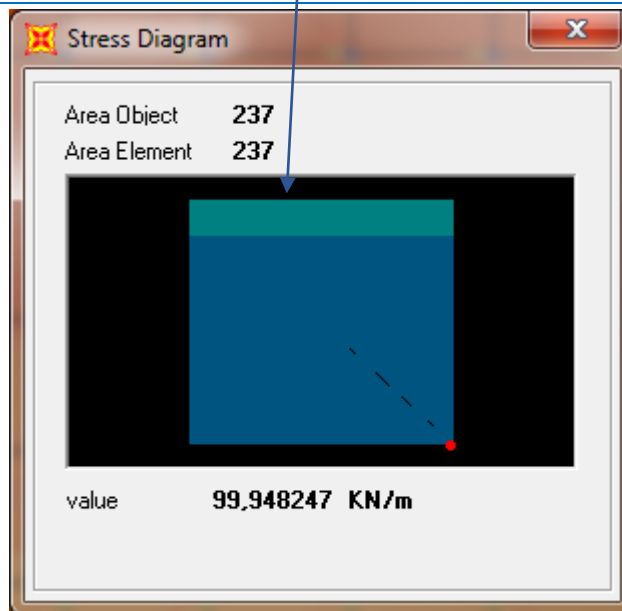
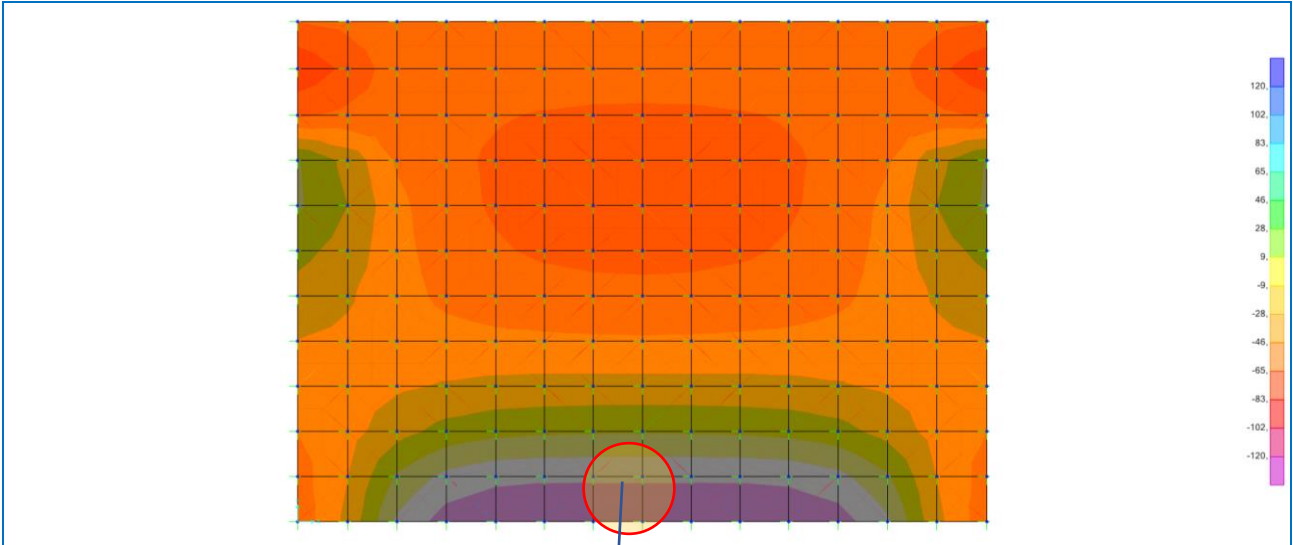


L'azione tagliante di calcolo è assunta pari a  $V_{S,d} = 96,80$  kN.

CARATTERISTICHE GEOMETRICHE DELLA SEZIONE			
Base della sezione trasversale:	b	100,00	[cm]
Altezza della sezione trasversale:	h	40,00	[cm]
Copriferro netto:	c	4,00	[cm]
Altezza utile della sezione:	d	36,00	[cm]
CARATTERISTICHE DEI MATERIALI			
Classe di resistenza del calcestruzzo:	C25/30		
Resistenza caratteristica cubica a compressione:	$R_{ck}$	30,00	[N/mm <sup>2</sup> ]
Resistenza caratteristica cilindrica a compressione:	$f_{ck}$	24,90	[N/mm <sup>2</sup> ]
Resistenza di calcolo a compressione:	$f_{cd}$	14,11	[N/mm <sup>2</sup> ]
Tipologia dell'acciaio da armatura:	B450C		
Tensione caratteristica di rottura:	$f_{tk}$	540,00	[N/mm <sup>2</sup> ]
Tensione caratteristica di snervamento:	$f_{yk}$	450,00	[N/mm <sup>2</sup> ]
Resistenza di calcolo:	$f_{yd}$	391,30	[N/mm <sup>2</sup> ]
AZIONI SOLLECITANTI DI CALCOLO			
Azione tagliante di calcolo:	$V_{S,d}$	96,80	[kN]
Azione normale di calcolo:	$N_{S,d}$	0,00	[kN]
ARMATURA LONGITUDINALE			
	$n_{barre}$	$\varnothing_{barre}$ [mm]	$A_{barra}$ [cm <sup>2</sup> ]
Primo strato di armatura tesa:	5	16	2,01
Infittimento primo strato di armatura tesa:			0,00
Secondo strato di armatura tesa:			0,00
Infittimento secondo strato di armatura tesa:			0,00
AREA TOTALE DELLE BARRE DI ARMATURA TESA			10,05
VERIFICA ALLO S.L.U. PER TAGLIO			
La verifica allo S.L.U. per taglio viene condotta secondo quanto previsto dal D.M. 14.01.2008, par.4.1.2.1.3.1			
$V_{Rd} = \left\{ \frac{0,18 \cdot k \cdot (100 \cdot \rho_1 \cdot f_{ck})^{1/3}}{\gamma_c} + 0,15 \cdot \sigma_{cp} \right\} \cdot b_w \cdot d \geq (v_{min} + 0,15 \cdot \sigma_{cp}) \cdot b_w \cdot d$			
Coefficiente k:	k	1,75	
Coefficiente $v_{min}$ :	$v_{min}$	0,403	
Rapporto geometrico di armatura longitudinale:	$\rho_1$	0,0028	
Tensione media di compressione nella sezione:	$\sigma_{cp}$	0,000	[N/mm <sup>2</sup> ]
Larghezza minima della sezione:	$b_w$	100,00	[cm]
AZIONE TAGLIANTE RESISTENTE DELLA SEZIONE:	$V_{R,d}$	144,98	[kN]
COEFFICIENTE DI SICUREZZA:	$F_S = V_{R,d} / N_{S,d}$	1,50	
<b>LA VERIFICA RISULTA POSITIVA</b>			

### 16.7 VERIFICA ALLO STATO LIMITE ULTIMO PER TAGLIO – DIREZIONE LONGITUDINALE

Nell'immagine successiva è riportato l'andamento del taglio longitudinale e l'individuazione dell'elemento maggiormente sollecitato per la combinazione allo Stato Limite Ultimo - STR:



A favore di sicurezza si procede con la verifica in corrispondenza del picco di tensione.

L'azione tagliante di calcolo è assunta pari a  $M_{sd} = 99,95$  kNm.

CARATTERISTICHE GEOMETRICHE DELLA SEZIONE			
Base della sezione trasversale:	b	100,00	[cm]
Altezza della sezione trasversale:	h	40,00	[cm]
Copriferro netto:	c	4,00	[cm]
Altezza utile della sezione:	d	36,00	[cm]
CARATTERISTICHE DEI MATERIALI			
Classe di resistenza del calcestruzzo:	C25/30		
Resistenza caratteristica cubica a compressione:	$R_{ck}$	30,00	[N/mm <sup>2</sup> ]
Resistenza caratteristica cilindrica a compressione:	$f_{ck}$	24,90	[N/mm <sup>2</sup> ]
Resistenza di calcolo a compressione:	$f_{cd}$	14,11	[N/mm <sup>2</sup> ]
Tipologia dell'acciaio da armatura:	B450C		
Tensione caratteristica di rottura:	$f_{tk}$	540,00	[N/mm <sup>2</sup> ]
Tensione caratteristica di snervamento:	$f_{yk}$	450,00	[N/mm <sup>2</sup> ]
Resistenza di calcolo:	$f_{yd}$	391,30	[N/mm <sup>2</sup> ]
AZIONI SOLLECITANTI DI CALCOLO			
Azione tagliante di calcolo:	$V_{S,d}$	99,95	[kN]
Azione normale di calcolo:	$N_{S,d}$	0,00	[kN]
ARMATURA LONGITUDINALE			
	$n_{barre}$	$\varnothing_{barre}$ [mm]	$A_{barra}$ [cm <sup>2</sup> ]
Primo strato di armatura tesa:	5	12	1,13
Infittimento primo strato di armatura tesa:			0,00
Secondo strato di armatura tesa:			0,00
Infittimento secondo strato di armatura tesa:			0,00
AREA TOTALE DELLE BARRE DI ARMATURA TESA			5,65
VERIFICA ALLO S.L.U. PER TAGLIO			
La verifica allo S.L.U. per taglio viene condotta secondo quanto previsto dal D.M. 14.01.2008, par.4.1.2.1.3.1			
$V_{Rd} = \left\{ \frac{0,18 \cdot k \cdot (100 \cdot \rho_1 \cdot f_{ck})^{1/3}}{\gamma_c} + 0,15 \cdot \sigma_{cp} \right\} \cdot b_w \cdot d \geq (v_{min} + 0,15 \cdot \sigma_{cp}) \cdot b_w \cdot d$			
Coefficiente k:	k	1,75	
Coefficiente $v_{min}$ :	$v_{min}$	0,403	
Rapporto geometrico di armatura longitudinale:	$\rho_1$	0,0016	
Tensione media di compressione nella sezione:	$\sigma_{cp}$	0,000	[N/mm <sup>2</sup> ]
Larghezza minima della sezione:	$b_w$	100,00	[cm]
AZIONE TAGLIANTE RESISTENTE DELLA SEZIONE:	$V_{R,d}$	144,98	[kN]
COEFFICIENTE DI SICUREZZA:	$F_S = V_{R,d} / V_{S,d}$	1,45	
<b>LA VERIFICA RISULTA POSITIVA</b>			

## 17 VERIFICHE GEOTECNICHE

Le verifiche geotecniche del carico limite ultimo verranno eseguite secondo l'approccio 2 (A1+M1+R3) previsto dal D.M. 17.01.2018 "Nuove Norme Tecniche per le Costruzioni".

### 17.1 VALUTAZIONE DELLE AZIONI SOLLECITANTI CARATTERISTICHE ALLA BASE DELLA ZATTERA DI FONDAZIONE

Nella tabella successiva sono riportati i valori caratteristici delle azioni sollecitanti valutati alla base della zattera di fondazione per i diversi carichi elementari:

CARICHI ELEMENTARI		$N_k$ [kN]	$V_{kx}$ [kN]	$M_{kx}$ [kN]	$V_{ky}$ [kN]	$M_{ky}$ [kN]
Pesi propri strutturali	$g_1$	112,00	0,00	0,00	0,00	0,00
Carichi permanenti portati sulla soletta	$g_2$	299,60	0,00	0,00	0,00	0,00
Spinta orizzontale dei terreni	$g_3$	0,00	0,00	0,00	48,78	58,54
Sovraccarichi accidentali sulla soletta	$q_1$	88,00	0,00	0,00	0,00	0,00
Spinta orizzontale dei sovraccarichi accidentali sulla parete sinistra	$q_2$	0,00	25,47	40,76	25,47	40,76
Spinta orizzontale dei sovraccarichi accidentali sulla parete destra	$q_3$	0,00	-25,47	-40,76	0,00	0,00
Inerzia sismica degli elementi strutturali	$s_1$	0,00	8,40	10,32	8,40	10,32
Inerzia sismica dei carichi permanenti portati	$s_2$	0,00	22,47	4,60	22,47	4,60
Sovrappinta dinamica dei terreni	$s_3$	0,00	1,22	1,96	1,22	1,96

### 17.2 VALUTAZIONE DELLE AZIONI SOLLECITANTI DI CALCOLO ALLA BASE DELLA ZATTERA DI FONDAZIONE

#### 17.2.1 COMBINAZIONI ALLO STATO LIMITE ULTIMO – STR

CARICHI ELEMENTARI	COMBINAZIONE SLU - STR 01						
	$\gamma$	$\psi$	$N_k$ [kN]	$V_{kx}$ [kN]	$M_{kx}$ [kN]	$V_{ky}$ [kN]	$M_{ky}$ [kN]
$g_1$	1,35	1,00	151,20	0,00	0,00	0,00	0,00
$g_2$	1,50	1,00	449,40	0,00	0,00	0,00	0,00
$g_3$	1,35	1,00	0,00	0,00	0,00	65,85	79,02
$q_1$	1,35	1,00	118,80	0,00	0,00	0,00	0,00
$q_2$	1,35	1,00	0,00	34,39	55,02	34,39	55,02
$q_3$	1,35	1,00	0,00	-34,39	-55,02	0,00	0,00
$s_1$	0,00	0,00	0,00	0,00	0,00	0,00	0,00
$s_2$	0,00	0,00	0,00	0,00	0,00	0,00	0,00
$s_3$	0,00	0,00	0,00	0,00	0,00	0,00	0,00
			<b>719,40</b>	<b>0,00</b>	<b>0,00</b>	<b>100,24</b>	<b>134,04</b>

CARICHI ELEMENTARI	COMBINAZIONE SLU - STR 02						
	$\gamma$	$\psi$	$N_k$ [kN]	$V_{kx}$ [kN]	$M_{kx}$ [kN]	$V_{ky}$ [kN]	$M_{ky}$ [kN]
$g_1$	1,35	1,00	151,20	0,00	0,00	0,00	0,00
$g_2$	1,50	1,00	449,40	0,00	0,00	0,00	0,00
$g_3$	1,35	1,00	0,00	0,00	0,00	65,85	79,02
$q_1$	1,35	1,00	118,80	0,00	0,00	0,00	0,00
$q_2$	1,35	1,00	0,00	34,39	55,02	34,39	55,02
$q_3$	1,35	0,00	0,00	0,00	0,00	0,00	0,00
$s_1$	0,00	0,00	0,00	0,00	0,00	0,00	0,00
$s_2$	0,00	0,00	0,00	0,00	0,00	0,00	0,00
$s_3$	0,00	0,00	0,00	0,00	0,00	0,00	0,00
			<b>719,40</b>	<b>34,39</b>	<b>55,02</b>	<b>100,24</b>	<b>134,04</b>



CARICHI ELEMENTARI	COMBINAZIONE SLU - STR 03						
	$\gamma$	$\psi$	$N_k$ [kN]	$V_{kx}$ [kN]	$M_{kx}$ [kN]	$V_{ky}$ [kN]	$M_{ky}$ [kN]
g <sub>1</sub>	1,35	1,00	151,20	0,00	0,00	0,00	0,00
g <sub>2</sub>	1,50	1,00	449,40	0,00	0,00	0,00	0,00
g <sub>3</sub>	1,35	1,00	0,00	0,00	0,00	65,85	79,02
q <sub>1</sub>	1,35	1,00	118,80	0,00	0,00	0,00	0,00
q <sub>2</sub>	1,35	0,00	0,00	0,00	0,00	0,00	0,00
q <sub>3</sub>	1,35	1,00	0,00	-34,39	-55,02	0,00	0,00
s <sub>1</sub>	0,00	0,00	0,00	0,00	0,00	0,00	0,00
s <sub>2</sub>	0,00	0,00	0,00	0,00	0,00	0,00	0,00
s <sub>3</sub>	0,00	0,00	0,00	0,00	0,00	0,00	0,00
			<b>719,40</b>	<b>-34,39</b>	<b>-55,02</b>	<b>65,85</b>	<b>79,02</b>

CARICHI ELEMENTARI	COMBINAZIONE SLU - STR 04						
	$\gamma$	$\psi$	$N_k$ [kN]	$V_{kx}$ [kN]	$M_{kx}$ [kN]	$V_{ky}$ [kN]	$M_{ky}$ [kN]
g <sub>1</sub>	1,35	1,00	151,20	0,00	0,00	0,00	0,00
g <sub>2</sub>	1,50	1,00	449,40	0,00	0,00	0,00	0,00
g <sub>3</sub>	1,35	1,00	0,00	0,00	0,00	65,85	79,02
q <sub>1</sub>	1,35	1,00	118,80	0,00	0,00	0,00	0,00
q <sub>2</sub>	1,35	0,00	0,00	0,00	0,00	0,00	0,00
q <sub>3</sub>	1,35	0,00	0,00	0,00	0,00	0,00	0,00
s <sub>1</sub>	0,00	0,00	0,00	0,00	0,00	0,00	0,00
s <sub>2</sub>	0,00	0,00	0,00	0,00	0,00	0,00	0,00
s <sub>3</sub>	0,00	0,00	0,00	0,00	0,00	0,00	0,00
			<b>719,40</b>	<b>0,00</b>	<b>0,00</b>	<b>65,85</b>	<b>79,02</b>

CARICHI ELEMENTARI	COMBINAZIONE SLU - STR 05						
	$\gamma$	$\psi$	$N_k$ [kN]	$V_{kx}$ [kN]	$M_{kx}$ [kN]	$V_{ky}$ [kN]	$M_{ky}$ [kN]
g <sub>1</sub>	1,35	1,00	151,20	0,00	0,00	0,00	0,00
g <sub>2</sub>	1,50	1,00	449,40	0,00	0,00	0,00	0,00
g <sub>3</sub>	1,35	1,00	0,00	0,00	0,00	65,85	79,02
q <sub>1</sub>	1,35	0,00	0,00	0,00	0,00	0,00	0,00
q <sub>2</sub>	1,35	1,00	0,00	34,39	55,02	34,39	55,02
q <sub>3</sub>	1,35	1,00	0,00	-34,39	-55,02	0,00	0,00
s <sub>1</sub>	0,00	0,00	0,00	0,00	0,00	0,00	0,00
s <sub>2</sub>	0,00	0,00	0,00	0,00	0,00	0,00	0,00
s <sub>3</sub>	0,00	0,00	0,00	0,00	0,00	0,00	0,00
			<b>600,60</b>	<b>0,00</b>	<b>0,00</b>	<b>100,24</b>	<b>134,04</b>

CARICHI ELEMENTARI	COMBINAZIONE SLU - STR 06						
	$\gamma$	$\psi$	$N_k$ [kN]	$V_{kx}$ [kN]	$M_{kx}$ [kN]	$V_{ky}$ [kN]	$M_{ky}$ [kN]
g <sub>1</sub>	1,35	1,00	151,20	0,00	0,00	0,00	0,00
g <sub>2</sub>	1,50	1,00	449,40	0,00	0,00	0,00	0,00
g <sub>3</sub>	1,35	1,00	0,00	0,00	0,00	65,85	79,02
q <sub>1</sub>	1,35	0,00	0,00	0,00	0,00	0,00	0,00
q <sub>2</sub>	1,35	1,00	0,00	34,39	55,02	34,39	55,02
q <sub>3</sub>	1,35	0,00	0,00	0,00	0,00	0,00	0,00
s <sub>1</sub>	0,00	0,00	0,00	0,00	0,00	0,00	0,00
s <sub>2</sub>	0,00	0,00	0,00	0,00	0,00	0,00	0,00
s <sub>3</sub>	0,00	0,00	0,00	0,00	0,00	0,00	0,00
			<b>600,60</b>	<b>34,39</b>	<b>55,02</b>	<b>100,24</b>	<b>134,04</b>

CARICHI ELEMENTARI	COMBINAZIONE SLU - STR 07						
	$\gamma$	$\psi$	$N_k$ [kN]	$V_{kx}$ [kN]	$M_{kx}$ [kN]	$V_{ky}$ [kN]	$M_{ky}$ [kN]
g <sub>1</sub>	1,35	1,00	151,20	0,00	0,00	0,00	0,00
g <sub>2</sub>	1,50	1,00	449,40	0,00	0,00	0,00	0,00
g <sub>3</sub>	1,35	1,00	0,00	0,00	0,00	65,85	79,02
q <sub>1</sub>	1,35	0,00	0,00	0,00	0,00	0,00	0,00
q <sub>2</sub>	1,35	0,00	0,00	0,00	0,00	0,00	0,00
q <sub>3</sub>	1,35	1,00	0,00	-34,39	-55,02	0,00	0,00
s <sub>1</sub>	0,00	0,00	0,00	0,00	0,00	0,00	0,00
s <sub>2</sub>	0,00	0,00	0,00	0,00	0,00	0,00	0,00
s <sub>3</sub>	0,00	0,00	0,00	0,00	0,00	0,00	0,00
			<b>600,60</b>	<b>-34,39</b>	<b>-55,02</b>	<b>65,85</b>	<b>79,02</b>

### 17.2.2 COMBINAZIONI ALLO STATO LIMITE DI SALVAGUARDIA DELLA VITA – SLV

CARICHI ELEMENTARI	COMBINAZIONE SLV 01						
	$\gamma$	$\psi$	$N_k$ [kN]	$V_{kx}$ [kN]	$M_{kx}$ [kN]	$V_{ky}$ [kN]	$M_{ky}$ [kN]
g <sub>1</sub>	1,00	1,00	112,00	0,00	0,00	0,00	0,00
g <sub>2</sub>	1,00	1,00	299,60	0,00	0,00	0,00	0,00
g <sub>3</sub>	1,00	1,00	0,00	0,00	0,00	48,78	58,54
q <sub>1</sub>	1,00	0,00	0,00	0,00	0,00	0,00	0,00
q <sub>2</sub>	1,00	0,00	0,00	0,00	0,00	0,00	0,00
q <sub>3</sub>	1,00	0,00	0,00	0,00	0,00	0,00	0,00
s <sub>1</sub>	1,00	1,00	0,00	-25,47	-40,76	0,00	0,00
s <sub>2</sub>	1,00	1,00	0,00	8,40	10,32	8,40	10,32
s <sub>3</sub>	1,00	1,00	0,00	22,47	4,60	22,47	4,60
			<b>411,60</b>	<b>5,40</b>	<b>-25,84</b>	<b>79,65</b>	<b>73,45</b>

### 17.2.3 RIEPILOGO DELLE AZIONI SOLLECITANTI DI CALCOLO

COMBINAZIONE	$N_k$ [kN]	$V_{kx}$ [kN]	$M_{kx}$ [kN]	$V_{ky}$ [kN]	$M_{ky}$ [kN]
SLU - STR 01	719,40	0,00	0,00	100,24	134,04
SLU - STR 02	719,40	34,39	55,02	100,24	134,04
SLU - STR 03	719,40	-34,39	-55,02	65,85	79,02
SLU - STR 04	719,40	0,00	0,00	65,85	79,02
SLU - STR 05	600,60	0,00	0,00	100,24	134,04
SLU - STR 06	600,60	34,39	55,02	100,24	134,04
SLU - STR 07	600,60	-34,39	-55,02	65,85	79,02
SLV 01	411,60	5,40	-25,84	79,65	73,45

### 17.3 VERIFICA DEL CARICO LIMITE ULTIMO E DELLO SCORRIMENTO

La verifica del carico limite ultimo e dello scorrimento verrà eseguita secondo l'approccio 2 definito dal D.M. 17.01.2018 "Nuove Norme Tecniche per le Costruzioni".

Verrà utilizzato il metodo di Meyerhof per le fondazioni nastriformi, considerando la condizione drenata.

Le verifiche sono state eseguite mediante il software Aztec Carl.

#### 17.3.1 VERIFICA AL CARICO LIMITE

Il rapporto fra il carico limite in fondazione e la componente normale della risultante dei carichi trasmessi sul terreno di fondazione deve essere superiore a  $\eta_q$ . Cioè, detto  $Q_u$ , il carico limite ed  $R$  la risultante verticale dei carichi in fondazione, deve essere:

$$Q_u / R \geq \eta_q$$

Si adotta per il calcolo del carico limite in fondazione il metodo di MEYERHOF.

L'espressione del carico ultimo è data dalla relazione:

$$Q_u = c N_c d_c i_c + q N_q d_q i_q + 0.5 \gamma B N_\gamma d_\gamma i_\gamma$$

In questa espressione:

- c coesione del terreno in fondazione;
- $\phi$  angolo di attrito del terreno in fondazione;
- $\gamma$  peso di volume del terreno in fondazione;
- B larghezza della fondazione;
- D profondità del piano di posa;
- q pressione geostatica alla quota del piano di posa.

I vari fattori che compaiono nella formula sono dati da:

$$A = e^{\pi \tan \phi}$$

$$N_q = A \tan^2(45^\circ + \phi/2)$$

$$N_c = (N_q - 1) \cot \phi$$

$$N_\gamma = (N_q - 1) \tan (1.4\phi)$$

Indichiamo con  $K_p$  il coefficiente di spinta passiva espresso da:

$$K_p = \tan^2(45^\circ + \phi/2)$$

I fattori  $d$  e  $i$  che compaiono nella formula sono rispettivamente i fattori di profondità ed i fattori di inclinazione del carico espressi dalle seguenti relazioni:

### Fattori di profondità

$$d_q = 1 + 0.2 ( D / B ) K_p^{0.5}$$

$$d_q = d_\gamma = 1 \quad \text{per } \phi = 0$$

$$d_q = d_\gamma = 1 + 0.1 ( D / B ) s K_p^{0.5} \quad \text{per } \phi > 0$$

### Fattori di inclinazione

Indicando con  $\theta$  l'angolo che la risultante dei carichi forma con la verticale ( espresso in gradi ) e con  $\phi$  l'angolo d'attrito del terreno di posa abbiamo:

$$i_c = i_q = ( 1 - \theta^\circ / 90^\circ )^2$$

$$i_\gamma = [ 1 - ( \theta^\circ / \phi^\circ ) ]^2 \quad \text{per } \phi > 0$$

$$i_\gamma = 0 \quad \text{per } \phi = 0$$

## 17.3.2 VERIFICA ALLO SCORRIMENTO

Per la verifica a scorrimento lungo il piano di fondazione deve risultare che la somma di tutte le forze parallele al piano di posa che tendono a fare scorrere la fondazione deve essere minore di tutte le forze, parallele al piano di scorrimento, che si oppongono allo scivolamento, secondo un certo coefficiente di sicurezza. La verifica a scorrimento risulta soddisfatta se il rapporto fra la risultante delle forze resistenti allo scivolamento  $F_r$  e la risultante delle forze che tendono a fare scorrere la fondazione  $F_s$  risulta maggiore di un determinato coefficiente di sicurezza  $\eta_s$

$$\frac{F_r}{F_s} \geq \eta_s$$

Le forze che intervengono nella  $F_s$  sono: la componente della spinta parallela al piano di fondazione e la componente delle forze d'inerzia parallela al piano di fondazione.

La forza resistente è data dalla resistenza d'attrito e dalla resistenza per adesione lungo la base della fondazione. Detta  $N$  la componente normale al piano di fondazione del carico totale gravante in fondazione e indicando con  $\delta_f$  l'angolo d'attrito terreno-fondazione, con  $c_a$  l'adesione terreno-fondazione e con  $B_r$  la larghezza della fondazione reagente, la forza resistente può esprimersi come

$$F_r = N \operatorname{tg} \delta_f + c_a B_r$$

La Normativa consente di computare, nelle forze resistenti, una aliquota dell'eventuale spinta dovuta al terreno posto a valle della fondazione. In tal caso, però, il coefficiente di sicurezza deve essere aumentato opportunamente. L'aliquota di spinta passiva che si può considerare ai fini della verifica a scorrimento non può comunque superare il 30 per cento.

Per quanto riguarda l'angolo d'attrito terra-fondazione,  $\delta_f$ , diversi autori suggeriscono di assumere un valore di  $\delta_f$  pari all'angolo d'attrito del terreno di fondazione.

## 17.4 RISULTATI

### 17.4.1 GEOMETRIA DELLA FONDAZIONE

#### Simbologia adottata

Descrizione	Descrizione della fondazione
Forma	Forma della fondazione (N=Nastriforme, R= Rettangolare, C=Circolare)
X	Ascissa del baricentro della fondazione espressa in [m]
Y	Ordinata del baricentro della fondazione espressa in [m]
B	Base/Diametro della fondazione espressa in [m]
L	Lunghezza della fondazione espressa in [m]
D	Profondità del piano di posa in [m]
$\alpha$	Inclinazione del piano di posa espressa in [°]
$\omega$	Inclinazione del piano campagna espressa in [°]

Descrizione	Forma	X	Y	B	L	D	$\alpha$	$\omega$
		[m]	[m]	[m]	[m]	[m]	[°]	[°]
Fondazione	(R)	0,00	0,00	3,40	4,80	2,00	0,00	0,00

Descrizione terreni e falda

Caratteristiche fisico-meccaniche

#### Simbologia adottata

Descrizione	Descrizione terreno
$\gamma$	Peso di volume del terreno espresso in [kN/mc]
$\gamma_{sat}$	Peso di volume saturo del terreno espresso in [kN/mc]
$\phi$	Angolo di attrito interno del terreno espresso in gradi
$\delta$	Angolo di attrito palo-terreno espresso in gradi
c	Coesione del terreno espressa in [N/mm <sup>2</sup> ]
ca	Adesione del terreno espressa in [N/mm <sup>2</sup> ]

Descr	$\gamma$	$\gamma_{sat}$	$\phi$	$\delta$	c	ca
	[kN/mc]	[kN/mc]	[°]	[°]	[N/mm <sup>2</sup> ]	[N/mm <sup>2</sup> ]
L5	18,000	18,000	26.00	26.00	0,0000	0,0000
G3	18,500	18,500	28.00	28.00	0,0000	0,0000

#### Falda

Profondità dal piano campagna 1,00 [m]

Descrizione stratigrafia

#### Simbologia adottata

n°	Identificativo strato
Z1	Quota dello strato in corrispondenza del punto di sondaggio n°1 espressa in [m]
Z2	Quota dello strato in corrispondenza del punto di sondaggio n°2 espressa in [m]
Z3	Quota dello strato in corrispondenza del punto di sondaggio n°3 espressa in [m]
Terreno	Terreno dello strato

Punto di sondaggio n° 1: X = 0,0 [m] Y = 0,0 [m]

Punto di sondaggio n° 2: X = 3,0 [m] Y = 0,0 [m]

Punto di sondaggio n° 3: X = 0,0 [m] Y = 3,0 [m]

n°	Z1	Z2	Z3	Terreno
	[m]	[m]	[m]	
1	-3,0	-3,0	-3,0	L5
2	-15,0	-15,0	-15,0	G3

## Descrizione combinazioni di carico

### *Simbologia adottata*

$\gamma$  Coefficiente di partecipazione della condizione  
 $\Psi$  Coefficiente di combinazione della condizione

#### Combinazione n° 1 STR - A1-M1-R3

Nome	$\gamma$	$\Psi$
Condizione n° 1	1.00	1.00

#### Combinazione n° 2 STR - A1-M1-R3

Nome	$\gamma$	$\Psi$
Condizione n° 2	1.00	1.00

#### Combinazione n° 3 STR - A1-M1-R3

Nome	$\gamma$	$\Psi$
Condizione n° 3	1.00	1.00

#### Combinazione n° 4 STR - A1-M1-R3

Nome	$\gamma$	$\Psi$
Condizione n° 4	1.00	1.00

#### Combinazione n° 5 STR - A1-M1-R3

Nome	$\gamma$	$\Psi$
Condizione n° 5	1.00	1.00

#### Combinazione n° 6 STR - A1-M1-R3

Nome	$\gamma$	$\Psi$
Condizione n° 6	1.00	1.00

#### Combinazione n° 7 STR - A1-M1-R3

Nome	$\gamma$	$\Psi$
Condizione n° 7	1.00	1.00

#### Combinazione n° 8 STR - A1-M1-R3

Nome	$\gamma$	$\Psi$
Condizione n° 8	1.00	1.00

### **Opzioni di calcolo**

Analisi in condizioni drenate

Verifica al carico limite

Metodo di calcolo della portanza: Meyerhof

Altezza del cuneo di rottura: AUTOMATICA

Criterio per il calcolo del macrostrato equivalente: MEDIA ARITMETICA

Nel calcolo della portanza sono state richieste le seguenti opzioni:

Coefficiente correttivo su  $N_\gamma$  per effetti cinematici (combinazioni sismiche SLU): 1,00

Coefficiente correttivo su  $N_\gamma$  per effetti cinematici (combinazioni sismiche SLE): 1,00

Riduzione per carico eccentrico: MEYERHOF

Meccanismo di punzonamento in presenza di falda.

## Risultati

### Verifica della portanza per carichi verticali

#### Simbologia adottata

Cmb	Indice della combinazione
Fnd	Indice della fondazione
PF	Rottura per punzonamento in presenza di falda
q <sub>u</sub>	Portanza ultima, espressa in [N/mm <sup>2</sup> ]
q <sub>d</sub>	Portanza di progetto, espressa in [N/mm <sup>2</sup> ]
P <sub>u</sub>	Portanza ultima, espressa in [kN]
P <sub>d</sub>	Portanza di progetto, espressa in [kN]
V	Carico ortogonale al piano di posa, espresso in [kN]
η	Fattore di sicurezza a carico limite ( $\eta = P_d/V$ )

Cmb	Fnd	PF	q <sub>u</sub> [N/mm <sup>2</sup> ]	q <sub>d</sub> [N/mm <sup>2</sup> ]	P <sub>u</sub> [kN]	P <sub>d</sub> [kN]	V [kN]	η
1	1	NO	0,388	0,169	5746,12	2498,31	719,40	3.47
2	1	NO	0,378	0,164	5365,55	2332,85	719,40	3.24
3	1	NO	0,419	0,182	6271,49	2726,73	719,40	3.79
4	1	NO	0,433	0,188	6742,08	2931,34	719,40	4.07
5	1	NO	0,366	0,159	5418,28	2355,78	600,60	3.92
6	1	NO	0,355	0,154	4973,46	2162,37	600,60	3.60
7	1	NO	0,400	0,174	5884,37	2558,42	600,60	4.26
8	1	NO	0,343	0,149	4984,59	2167,21	411,60	5.27

### Caratteristiche terreno e fondazione di progetto

#### Simbologia adottata

Cmb	Indice della combinazione
Fnd	Indice della fondazione
H	Altezza del cuneo di rottura, espressa in [m]
γ	Peso di volume, espressa in [kN/mc]
φ	Angolo di attrito, espressa in [°]
c	Coesione, espressa in [N/mm <sup>2</sup> ]
G	Modulo di taglio, espresso in [N/mm <sup>2</sup> ]
B'	Base ridotta per effetto dell'eccentricità del carico (B'=B-2e <sub>x</sub> ), espressa in [m]
L'	Lunghezza ridotta per effetto dell'eccentricità del carico (L'=L-2e <sub>y</sub> ), espressa in [m]
R <sub>ex</sub>	Fattore di riduzione per carico eccentrico lungo X
R <sub>ey</sub>	Fattore di riduzione per carico eccentrico lungo Y
I <sub>R</sub>	Indice di rigidezza
I <sub>RC</sub>	Indice di rigidezza critico

Cmb	Fnd	H [m]	γ [kN/mc]	φ [°]	c [N/mm <sup>2</sup> ]	G [N/mm <sup>2</sup> ]	B' [m]	L' [m]	R <sub>ex</sub>	R <sub>ey</sub>	I <sub>c</sub>	I <sub>RC</sub>
1	1	2,77	8,4432	27.00	0,000	0,000	3,34	4,43	--	--	0.83	64.83
2	1	2,77	8,4432	27.00	0,000	0,000	3,19	4,45	--	--	0.82	64.83
3	1	2,77	8,4432	27.00	0,000	0,000	3,28	4,56	--	--	0.87	64.83
4	1	2,77	8,4432	27.00	0,000	0,000	3,40	4,58	--	--	0.89	64.83
5	1	2,77	8,4432	27.00	0,000	0,000	3,40	4,35	--	--	0.80	64.83
6	1	2,77	8,4432	27.00	0,000	0,000	3,22	4,35	--	--	0.79	64.83
7	1	2,77	8,4432	27.00	0,000	0,000	3,26	4,51	--	--	0.85	64.83
8	1	2,77	8,4432	27.00	0,000	0,000	3,27	4,44	--	--	0.77	64.83

### Fattori correttivi verifica capacità portante

#### Combinazione n° 1

##### Fondazione n° 1

Fattori di capacità portante	N <sub>c</sub> = 23.94	N <sub>q</sub> = 13.20	N <sub>γ</sub> = 9.46
Fattori di forma	S <sub>c</sub> = 1.00	S <sub>q</sub> = 1.00	S <sub>γ</sub> = 1.00
Fattori per effetto del punzonamento	ψ <sub>c</sub> = 1.00	ψ <sub>q</sub> = 1.00	ψ <sub>γ</sub> = 1.00
Fattori di inclinazione del carico	I <sub>c</sub> = 0.83	I <sub>q</sub> = 0.83	I <sub>γ</sub> = 0.50
Fattori di profondità	D <sub>c</sub> = 1.19	D <sub>q</sub> = 1.10	Q <sub>γ</sub> = 1.10

#### Combinazione n° 2

##### Fondazione n° 1

Fattori di capacità portante	N <sub>c</sub> = 23.94	N <sub>q</sub> = 13.20	N <sub>γ</sub> = 9.46
Fattori di forma	S <sub>c</sub> = 1.00	S <sub>q</sub> = 1.00	S <sub>γ</sub> = 1.00
Fattori per effetto del punzonamento	ψ <sub>c</sub> = 1.00	ψ <sub>q</sub> = 1.00	ψ <sub>γ</sub> = 1.00
Fattori di inclinazione del carico	I <sub>c</sub> = 0.82	I <sub>q</sub> = 0.82	I <sub>γ</sub> = 0.48
Fattori di profondità	D <sub>c</sub> = 1.19	D <sub>q</sub> = 1.10	Q <sub>γ</sub> = 1.10



### Combinazione n° 3

#### Fondazione n° 1

Fattori di capacità portante	Nc = 23.94	Nq = 13.20	N <sub>γ</sub> = 9.46
Fattori di forma	Sc = 1.00	Sq = 1.00	S <sub>γ</sub> = 1.00
Fattori per effetto del punzonamento	Ψ <sub>c</sub> = 1.00	Ψ <sub>q</sub> = 1.00	Ψ <sub>γ</sub> = 1.00
Fattori di inclinazione del carico	Ic = 0.87	Iq = 0.87	I <sub>γ</sub> = 0.61
Fattori di profondità	Dc = 1.19	Dq = 1.10	Q <sub>γ</sub> = 1.10

### Combinazione n° 4

#### Fondazione n° 1

Fattori di capacità portante	Nc = 23.94	Nq = 13.20	N <sub>γ</sub> = 9.46
Fattori di forma	Sc = 1.00	Sq = 1.00	S <sub>γ</sub> = 1.00
Fattori per effetto del punzonamento	Ψ <sub>c</sub> = 1.00	Ψ <sub>q</sub> = 1.00	Ψ <sub>γ</sub> = 1.00
Fattori di inclinazione del carico	Ic = 0.89	Iq = 0.89	I <sub>γ</sub> = 0.65
Fattori di profondità	Dc = 1.19	Dq = 1.10	Q <sub>γ</sub> = 1.10

### Combinazione n° 5

#### Fondazione n° 1

Fattori di capacità portante	Nc = 23.94	Nq = 13.20	N <sub>γ</sub> = 9.46
Fattori di forma	Sc = 1.00	Sq = 1.00	S <sub>γ</sub> = 1.00
Fattori per effetto del punzonamento	Ψ <sub>c</sub> = 1.00	Ψ <sub>q</sub> = 1.00	Ψ <sub>γ</sub> = 1.00
Fattori di inclinazione del carico	Ic = 0.80	Iq = 0.80	I <sub>γ</sub> = 0.42
Fattori di profondità	Dc = 1.19	Dq = 1.10	Q <sub>γ</sub> = 1.10

### Combinazione n° 6

#### Fondazione n° 1

Fattori di capacità portante	Nc = 23.94	Nq = 13.20	N <sub>γ</sub> = 9.46
Fattori di forma	Sc = 1.00	Sq = 1.00	S <sub>γ</sub> = 1.00
Fattori per effetto del punzonamento	Ψ <sub>c</sub> = 1.00	Ψ <sub>q</sub> = 1.00	Ψ <sub>γ</sub> = 1.00
Fattori di inclinazione del carico	Ic = 0.79	Iq = 0.79	I <sub>γ</sub> = 0.40
Fattori di profondità	Dc = 1.19	Dq = 1.10	Q <sub>γ</sub> = 1.10

### Combinazione n° 7

#### Fondazione n° 1

Fattori di capacità portante	Nc = 23.94	Nq = 13.20	N <sub>γ</sub> = 9.46
Fattori di forma	Sc = 1.00	Sq = 1.00	S <sub>γ</sub> = 1.00
Fattori per effetto del punzonamento	Ψ <sub>c</sub> = 1.00	Ψ <sub>q</sub> = 1.00	Ψ <sub>γ</sub> = 1.00
Fattori di inclinazione del carico	Ic = 0.85	Iq = 0.85	I <sub>γ</sub> = 0.55
Fattori di profondità	Dc = 1.19	Dq = 1.10	Q <sub>γ</sub> = 1.10

### Combinazione n° 8

#### Fondazione n° 1

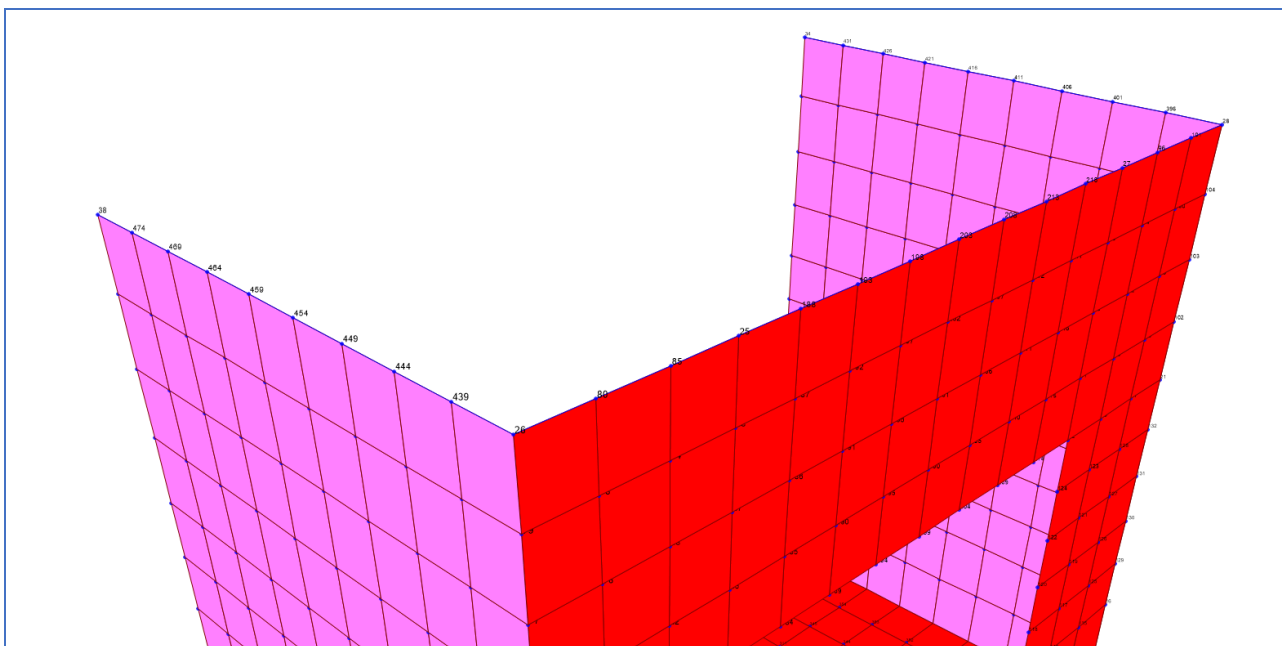
Fattori di capacità portante	Nc = 23.94	Nq = 13.20	N <sub>γ</sub> = 9.46
Fattori di forma	Sc = 1.00	Sq = 1.00	S <sub>γ</sub> = 1.00
Fattori per effetto del punzonamento	Ψ <sub>c</sub> = 1.00	Ψ <sub>q</sub> = 1.00	Ψ <sub>γ</sub> = 1.00
Fattori di inclinazione del carico	Ic = 0.77	Iq = 0.77	I <sub>γ</sub> = 0.35
Fattori di profondità	Dc = 1.19	Dq = 1.10	Q <sub>γ</sub> = 1.10

## 18 VERIFICA DEGLI SPOSTAMENTI

Di seguito si riportano gli spostamenti in sommità della struttura:

TABLE: Joint Displacements			
Joint	U1	U2	U3
	m	m	m
25	-0,001	-0,012	-0,011
25	-0,002	-0,016	-0,014
26	-0,001	-0,012	-0,011
26	-0,002	-0,017	-0,014
27	-0,001	-0,012	-0,011
27	-0,002	-0,016	-0,014
28	-0,001	-0,012	-0,011
28	-0,002	-0,017	-0,014
34	-0,001	-0,012	-0,004
34	-0,001	-0,017	-0,004
38	-0,002	-0,012	-0,004
38	-0,002	-0,017	-0,004
80	-0,001	-0,012	-0,011
80	-0,002	-0,017	-0,014
85	-0,001	-0,012	-0,011
85	-0,002	-0,016	-0,014
96	-0,001	-0,012	-0,011
96	-0,002	-0,016	-0,014
101	-0,001	-0,012	-0,011
101	-0,002	-0,017	-0,014
188	-0,001	-0,012	-0,011
188	-0,002	-0,016	-0,014
193	-0,001	-0,012	-0,012
193	-0,002	-0,017	-0,014
198	-0,001	-0,012	-0,012
198	-0,002	-0,017	-0,014
203	-0,001	-0,012	-0,012
203	-0,002	-0,017	-0,014
208	-0,001	-0,012	-0,012
208	-0,002	-0,017	-0,014
213	-0,001	-0,012	-0,012
213	-0,002	-0,017	-0,014
218	-0,001	-0,012	-0,011
218	-0,002	-0,016	-0,014

TABLE: Joint Displacements			
Joint	U1	U2	U3
	m	m	m
396	-0,001	-0,012	-0,011
396	-0,002	-0,017	-0,013
401	-0,001	-0,012	-0,010
401	-0,002	-0,017	-0,012
406	-0,001	-0,012	-0,009
406	-0,002	-0,017	-0,011
411	-0,001	-0,012	-0,008
411	-0,002	-0,017	-0,010
416	-0,001	-0,012	-0,007
416	-0,002	-0,017	-0,009
421	-0,001	-0,012	-0,007
421	-0,002	-0,017	-0,008
426	-0,001	-0,012	-0,006
426	-0,001	-0,017	-0,007
431	-0,001	-0,012	-0,005
431	-0,001	-0,017	-0,006
439	-0,001	-0,012	-0,011
439	-0,002	-0,017	-0,013
444	-0,001	-0,012	-0,010
444	-0,002	-0,017	-0,012
449	-0,002	-0,012	-0,009
449	-0,002	-0,017	-0,011
454	-0,002	-0,012	-0,008
454	-0,002	-0,017	-0,010
459	-0,002	-0,012	-0,007
459	-0,002	-0,017	-0,009
464	-0,002	-0,012	-0,007
464	-0,002	-0,017	-0,008
469	-0,002	-0,012	-0,006
469	-0,002	-0,017	-0,007
474	-0,002	-0,012	-0,005
474	-0,002	-0,017	-0,006



Gli spostamenti in sommità della struttura risultano ammissibili per l'opera.